



โครงการ  
การเรียนการสอนเพื่อเสริมประสบการณ์

**ชื่อโครงการ** การเหนี่ยวนำให้เกิดการกลายแบบสุ่มของยีสต์ *Yarrowia lipolytica*  
เพื่อเพิ่มประสิทธิภาพการผลิตไขมัน โดยรังสีอัลตราไวโอเล็ต  
Randomization mutagenesis of *Yarrowia lipolytica* to increase  
lipid production by ultraviolet radiation

**ชื่อนิสิต** นางสาวปิยะพร มีศรีแก้ว **เลขประจำตัว** 5932130423

**ภาควิชา** พฤษศาสตร์

**ปีการศึกษา** 2562

คณะวิทยาศาสตร์ จุฬาลงกรณ์มหาวิทยาลัย

การเหนี่ยวนำให้เกิดการกลายแบบสุ่มของยีสต์ *Yarrowia lipolytica*  
เพื่อเพิ่มประสิทธิภาพการผลิตไขมัน โดยรังสีอัลตราไวโอเล็ต

นางสาวปิยะพร มีศรีแก้ว

โครงการวิทยาศาสตร์ฉบับนี้เป็นส่วนหนึ่งของการศึกษาตามหลักสูตร  
ปริญญาวิทยาศาสตรบัณฑิต สาขาวิชาพันธุศาสตร์ ภาควิชาพฤกษศาสตร์  
คณะวิทยาศาสตร์ จุฬาลงกรณ์มหาวิทยาลัย

ปีการศึกษา 2562

Randomization mutagenesis of *Yarrowia lipolytica* to increase  
lipid production by ultraviolet radiation

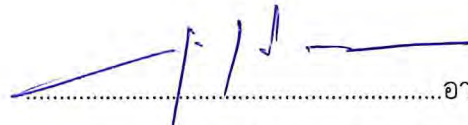
Miss Piyaporn Meesrikaew


A Senior Project in Partial Fulfillment of the Requirements  
For the Degree of Bachelor of Science in Genetics  
Department of Botany  
Faculty of Science, Chulalongkorn University  
Academic Year 2019

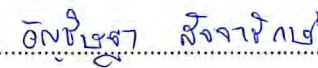
ชื่อเรื่อง	การเหนี่ยวนำให้เกิดการกลายแบบสุ่มของยีสต์ <i>Yarrowia lipolytica</i> เพื่อเพิ่มประสิทธิภาพการผลิตไขมัน โดยรังสีอัลตราไวโอเล็ต
ชื่อนิสิต	นางสาวปิยะพร มีศรีแก้ว
ภาควิชา	พฤกษศาสตร์
สาขาวิชา	พันธุศาสตร์
อาจารย์ที่ปรึกษา	รองศาสตราจารย์ ดร.วรวุฒิ จุฬาลักษณ์านุกุล
ปีการศึกษา	2562

ภาควิชาพฤกษศาสตร์ อนุมัติให้โครงการวิทยาศาสตร์นี้เป็นส่วนหนึ่งของการศึกษาตาม  
หลักสูตรปริญญาวิทยาศาสตรบัณฑิต สาขาพันธุศาสตร์

คณะกรรมการสอบโครงการวิทยาศาสตร์

  
.....อาจารย์ที่ปรึกษา  
(รองศาสตราจารย์ ดร.วรวุฒิ จุฬาลักษณ์านุกุล)

  
.....กรรมการ  
(ผู้ช่วยศาสตราจารย์ ดร.อีรดา หวังสมบุญดี)

  
.....กรรมการ  
(อาจารย์ ดร.อัญชัชฐา สัจจาร์กษ์)

ลิขสิทธิ์ของภาควิชาพฤกษศาสตร์ คณะวิทยาศาสตร์

จุฬาลงกรณ์มหาวิทยาลัย

ชื่อโครงการวิทยาศาสตร์	การเหนี่ยวนำให้เกิดการกลายแบบสุมของยีสต์ <i>Yarrowia lipolytica</i> เพื่อเพิ่มประสิทธิภาพการผลิตไขมัน โดยรังสีอัลตราไวโอเล็ต
นิสิตผู้ดำเนินงาน	นางสาวปิยะพร มีศรีแก้ว
ภาควิชา	พฤกษศาสตร์
สาขาวิชา	พันธุศาสตร์
อาจารย์ที่ปรึกษาโครงการ	รองศาสตราจารย์ ดร.วรวุฒิ จุฬาลักษณ์านุกุล
ปีการศึกษา	2562

### บทคัดย่อ

*Yarrowia lipolytica* เป็นยีสต์ที่มีคุณสมบัติสามารถสะสมไขมันได้ในเซลล์ อย่างไรก็ตาม *Y. lipolytica* สายพันธุ์ YLNatXynA มีความสามารถในการผลิตเอโนไซม์ไขมันเนส แต่พบว่ายังมีการสะสมไขมันที่ต่ำ ดังนั้นงานวิจัยนี้จึงมีจุดประสงค์เพื่อเพิ่มปริมาณการสะสมไขมันของยีสต์ *Y. lipolytica* สายพันธุ์ YLNatXynA โดยการเหนี่ยวนำให้เกิดการกลายด้วยรังสีอัลตราไวโอเล็ต เมื่อฉายรังสีเป็นเวลา 15 นาที พบว่ามียีสต์จำนวน 60 ไอโซเลท ที่มีอัตราการอยู่รอดในช่วงร้อยละ 5-10 จากนั้นทำการคัดเลือกยีสต์สายพันธุ์กลายบนอาหาร YPD ที่ผสม cerulenin เข้มข้น 2 ไมโครกรัมต่อมิลลิลิตร และย้อมเซลล์ยีสต์ด้วยสี Sudan black B พบว่าไอโซเลท YLCe15\_03 YLCe15\_05 YLCe15\_07 YLCe15\_09 และ YLCe15\_14 มีการสะสม oil droplet มากที่สุด ผลการวิเคราะห์ปริมาณร้อยละไขมันที่สะสมพบว่า ยีสต์สายพันธุ์กลายไอโซเลท YLCe15\_07 มีปริมาณร้อยละไขมันที่สะสมสูงกว่าสายพันธุ์เดิม (ร้อยละ  $25.53 \pm 2.72$  และ  $20.14 \pm 1.95$  ตามลำดับ) แต่ไอโซเลท YLCe15\_14 มีปริมาณไขมันที่สะสมร้อยละ  $16.27 \pm 0.79$  ซึ่งน้อยกว่าเมื่อเปรียบเทียบกับสายพันธุ์เดิม และพบว่า ไอโซเลท YLCe15\_03 YLCe15\_05 และ YLCe15\_09 มีปริมาณร้อยละไขมันสะสมไม่แตกต่างจากสายพันธุ์เดิม เมื่อวิเคราะห์ชนิดของกรดไขมันที่ผลิตจากยีสต์สายพันธุ์กลายไอโซเลท YLCe15\_07 และ YLCe15\_14 พบว่าชนิดกรดไขมันไม่มีความแตกต่างเมื่อเปรียบเทียบกับยีสต์สายพันธุ์เดิม โดยประกอบด้วยกรดไขมันชนิดกรดปาล์มติก กรดปาล์มโตเลอิก กรดสเตียริก กรดโอเลอิก และกรดไลโนเลอิก เมื่อวิเคราะห์ลำดับเบสของยีน Acetyl Co-A Carboxylase1 ในไอโซเลท YLCe15\_07 พบว่าไพรเมอร์ที่ใช้ในการทดลองไม่มีความจำเพาะต่อยีน ACC1 ทำให้ไม่สามารถวิเคราะห์ลำดับเบสที่เปลี่ยนไปได้ อย่างไรก็ตาม ยีสต์มีแนวโน้มถูกนำไปใช้ในการผลิตพลังงานชีวภาพทั้งในระยะสั้นและระยะยาว

**คำสำคัญ:** *Yarrowia lipolytica*, เหนี่ยวนำให้เกิดการกลาย, Cerulenin, ยีน ACC1

Senior project	Randomization mutagenesis of <i>Yarrowia lipolytica</i> to increase lipid production by ultraviolet radiation
Student name	Miss Piyaporn Meesrikaew
Department	Botany
Program	Genetics
Senior project advisor	Assoc. Prof. Dr. Warawut Chulalaksananukul
Academic year	2019

---

### Abstract

*Yarrowia lipolytica* is well known for intracellular lipid accumulation. *Y. lipolytica* strain *YLNatXynA*, the engineered yeast, can produce xylanase but the ability of lipid accumulation is low. This research aims to enhance lipid accumulation by induced mutagenesis in *Y. lipolytica* strain *YLNatXynA* using ultraviolet irradiation. After 15 minutes of irradiation, 60 mutant isolates were found with 5-10 percentage of survival rate. Then, growing mutants were randomly selected by using yeast-peptone-dextrose (YPD) medium supplemented with 2 µg/ml cerulenin for this study. The Sudan black B staining revealed that strain YLCe15\_03, YLCe15\_05, YLCe15\_07, YLCe15\_09, and YLCe15\_14 showed the highest oil droplets accumulation. The lipid content of YLCe15\_07 ( $25.53 \pm 2.72\%$ ) was higher than the wildtype strain ( $20.14 \pm 1.95\%$ ) whereas the YLCe15\_14 showed the lipid content of  $16.27 \pm 0.79\%$ , which lower than the wildtype strain. While the lipid contents of YLCe15\_03, YLCe15\_05, and YLCe15\_09 were significantly similar to the wildtype strain. The major fatty acid profiles of YLCe15\_07 and YLCe15\_14 composed of palmitic acid, palmitoleic acid, stearic acid, oleic acid, and linoleic acid which were similar to the wildtype strain. The YLCe15\_07 was selected as a suitable candidate to study on DNA sequencing analysis of Acetyl Co-A Carboxylase1 gene. The result indicated that the designed primer was not specific to the *ACC1* gene, so any changed base was not detected. However, yeast is most promising in the near and long term for bioenergy production.

**Keywords:** *Yarrowia lipolytica*, Induced mutagenesis, Cerulenin, *ACC1* gene

## กิตติกรรมประกาศ

โครงการวิทยาศาสตร์ฉบับนี้สำเร็จลุล่วงไปได้ด้วยดี เนื่องด้วยความกรุณาของผู้ที่เกี่ยวข้องทุกฝ่าย ขอกราบขอบพระคุณ รองศาสตราจารย์ ดร.วรวิทย์ จุฬาลักษณ์านุกูล อาจารย์ที่ปรึกษาโครงการวิทยาศาสตร์ที่กรุณาให้คำแนะนำสั่งสอน ให้คำปรึกษาเกี่ยวกับการทำโครงการวิทยาศาสตร์ และกรุณาช่วยเหลือเป็นอย่างดี

ขอกราบขอบพระคุณ ผู้ช่วยศาสตราจารย์ ดร.ธีรดา หวังสมบุญดี และอาจารย์ ดร.อัญชิษฐา สัจจารักษ์ ที่กรุณาเสียสละเวลาเป็นกรรมการสอบโครงการวิทยาศาสตร์ พร้อมทั้งให้คำแนะนำ ช่วยตรวจสอบแก้ไขให้โครงการวิทยาศาสตร์ฉบับนี้มีความถูกต้องและสมบูรณ์

กราบขอบพระคุณนางสาวภาวดี บัวทอง ดร.วรรณพร วัฒนสุนทร และนางสาวณัฐภา จิ่งเจริญพานิชย์ ที่ช่วยให้คำแนะนำตลอดการทำโครงการวิทยาศาสตร์ และกรุณาช่วยเหลือในทุกด้านเป็นอย่างดี

ขอขอบพระคุณโครงการการเรียนการสอนเพื่อประสบการณ์ของคณะวิทยาศาสตร์ จุฬาลงกรณ์มหาวิทยาลัย และภาควิชาพฤกษศาสตร์ คณะวิทยาศาสตร์ จุฬาลงกรณ์มหาวิทยาลัย ที่กรุณาสนับสนุนงานวิจัย

ขอขอบพระคุณหน่วยปฏิบัติการวิจัยเชื้อเพลิงชีวภาพด้วยตัวเร่งปฏิกิริยาชีวภาพ ภาควิชาพฤกษศาสตร์ คณะวิทยาศาสตร์ จุฬาลงกรณ์มหาวิทยาลัย ที่กรุณาให้ใช้อุปกรณ์และสถานที่สำหรับการศึกษาวิจัยในโครงการวิทยาศาสตร์นี้

ขอขอบพระคุณคณะอาจารย์ทุกท่านและเพื่อนพ้องทุกคนที่กรุณาให้ความช่วยเหลือและเป็นกำลังใจมาโดยตลอด

ขอกราบขอบพระคุณบิดา มารดา และญาติผู้ใหญ่ รวมทั้งพี่น้องที่กรุณาให้ความช่วยเหลือในทุกด้านอย่างเต็มที่

สุดท้ายนี้ขอขอบคุณตัวเอง ที่พยายามฝ่าฟันอุปสรรคต่าง ๆ ที่ผ่านเข้ามาในช่วงที่ทำโครงการวิทยาศาสตร์ หุ่่มเทเวลาเพื่อทำการทดลอง นำเสนอ รวมทั้งเขียนเล่มโครงการวิทยาศาสตร์ฉบับนี้ และทำให้ได้ความรู้รวมทั้งประสบการณ์ต่าง ๆ เพิ่มขึ้น

## สารบัญ

เรื่อง	หน้า
บทคัดย่อภาษาไทย	จ
บทคัดย่อภาษาอังกฤษ	ฉ
กิตติกรรมประกาศ	ช
สารบัญ	ซ
สารบัญภาพ	ฅ
สารบัญตาราง	ฉ
บทที่	
1 บทนำ	1
2 เอกสารและงานวิจัยที่เกี่ยวข้อง	3
3 วัตถุประสงค์ สารเคมี และวิธีดำเนินการศึกษา	11
4 ผลการศึกษา	19
5 อภิปรายผลการศึกษา	34
6 สรุปผลการศึกษา	37
เอกสารอ้างอิง	38
ภาคผนวก	42
ภาคผนวก ก	43
ภาคผนวก ข	45
ภาคผนวก ค	54



## สารบัญภาพ

ภาพที่		หน้า
2.1	กระบวนการสังเคราะห์กรดไขมัน (Fatty Acid Synthesis)	6
2.2	กระบวนการสังเคราะห์ไตรเอซิลกลีเซอรอล (Triacylglycerol Synthesis)	7
2.3	กระบวนการสังเคราะห์ไตรเอซิลกลีเซอรอลใน <i>Y. lipolytica</i>	7
2.4	malonyl-CoA เป็นสารตั้งต้นที่สำคัญในกระบวนการผลิตอนุพันธ์ของไขมันชนิดต่าง ๆ	8
4.1	ลักษณะทางสัณฐานวิทยาของยีสต์ <i>Y. lipolytica</i> สายพันธุ์ YLNatXynA ที่เจริญบนอาหารเหลว YPD	19
4.2	กราฟการเติบโต (Growth Curve) ของยีสต์ <i>Y. lipolytica</i> สายพันธุ์ YLNatXynA	20
4.3	กราฟอัตราการยู่รอดของยีสต์ <i>Y. lipolytica</i> สายพันธุ์ YLNatXynA หลังได้รับการฉายรังสีอัลตราไวโอเล็ตที่ระยะเวลา 0 30 60 90 120 150 และ 180 นาที	21
4.4	กราฟอัตราการยู่รอดของยีสต์ <i>Y. lipolytica</i> สายพันธุ์ YLNatXynA หลังได้รับการฉายรังสีอัลตราไวโอเล็ตที่ระยะเวลา 0 5 10 15 20 25 และ 30 นาที	21
4.5	ยีสต์ <i>Y. lipolytica</i> ไอโซเลท YLCe15_03 YLCe15_05 YLCe15_07 YLCe15_09 และ YLCe15_14 หลังจากย้อมสีเซลล์ยีสต์ด้วยวิธี Sudan black B staining เปรียบเทียบกับเซลล์ยีสต์สายพันธุ์ดั้งเดิม (WT)	23
4.6	กราฟค่าเฉลี่ยน้ำหนักชีวมวล (Biomass Production) และค่าเฉลี่ยการเจริญเติบโต (Cell Growth) ของยีสต์ <i>Y. lipolytica</i> ไอโซเลท YLCe15_03 YLCe15_05 YLCe15_07 YLCe15_09 และ YLCe15_14 เปรียบเทียบกับสายพันธุ์ดั้งเดิม (WT)	24
4.7	กราฟค่าเฉลี่ยผลผลิตไขมัน (Lipid Yield) ของยีสต์ <i>Y. lipolytica</i> ไอโซเลท YLCe15_03 YLCe15_05 YLCe15_07 YLCe15_09 และ YLCe15_14 เปรียบเทียบกับสายพันธุ์ดั้งเดิม (WT)	25
4.8	กราฟค่าเฉลี่ยปริมาณไขมัน (Lipid Content) ของยีสต์ <i>Y. lipolytica</i> ไอโซเลท YLCe15_03 YLCe15_05 YLCe15_07 YLCe15_09 และ YLCe15_14 เปรียบเทียบกับสายพันธุ์ดั้งเดิม (WT)	26
4.9	กราฟชนิดและสัดส่วนของกรดไขมัน (Fatty Acid Profile) ของยีสต์ <i>Y. lipolytica</i> ไอโซเลท YLCe15_07 และ YLCe15_14 เปรียบเทียบกับสายพันธุ์ดั้งเดิม (WT)	27
4.10	กราฟค่า OD <sub>600</sub> เฉลี่ยของยีสต์ <i>Y. lipolytica</i> สายพันธุ์ดั้งเดิม (WT) ไอโซเลท YLCe15_03 YLCe15_05 YLCe15_07 YLCe15_09 และ YLCe15_14 เปรียบเทียบระหว่างเชื้อรุ่นที่ 1 และรุ่นที่ 3	28

## สารบัญภาพ

ภาพที่		หน้า
4.11	กราฟค่าเฉลี่ยน้ำหนักชีวมวล (Biomass Production) ของยีสต์ <i>Y. lipolytica</i> สายพันธุ์ดั้งเดิม (WT) ไอโซเลท YLCe15_03 YLCe15_05 YLCe15_07 YLCe15_09 และ YLCe15_14 เปรียบเทียบระหว่างเชื้อรุ่นที่ 1 และรุ่นที่ 3	29
4.12	กราฟค่าเฉลี่ยผลผลิตไขมัน (Lipid Yield) ของยีสต์ <i>Y. lipolytica</i> สายพันธุ์ดั้งเดิม (WT) ไอโซเลท YLCe15_03 YLCe15_05 YLCe15_07 YLCe15_09 และ YLCe15_14 เปรียบเทียบระหว่างเชื้อรุ่นที่ 1 และรุ่นที่ 3	30
4.13	กราฟค่าเฉลี่ยปริมาณไขมัน (Lipid Content) ของยีสต์ <i>Y. lipolytica</i> สายพันธุ์ดั้งเดิม (WT) ไอโซเลท YLCe15_03 YLCe15_05 YLCe15_07 YLCe15_09 และ YLCe15_14 เปรียบเทียบระหว่างเชื้อรุ่นที่ 1 และรุ่นที่ 3	31
4.14	ลักษณะสัณฐานวิทยาของไอโซเลท YLCe15_07 และ YLCe15_14 รุ่นที่ 3 เปรียบเทียบกับสายพันธุ์ดั้งเดิม (WT)	32
4.15	ผลการตรวจสอบการเพิ่มจำนวนดีเอ็นเอด้วยเทคนิค Gel electrophoresis ของยีสต์ <i>Y. lipolytica</i> สายพันธุ์ดั้งเดิม (WT) และไอโซเลท YLCe15_07 จากการใช้ไพรเมอร์ทั้งสองคู่	33
ค.1	ผล Gas Chromatography จากไขมันที่สกัดได้จากยีสต์ <i>Y. lipolytica</i> สายพันธุ์ดั้งเดิม (WT) รุ่นที่ 1	55
ค.2	ผล Gas Chromatography จากไขมันที่สกัดได้จากยีสต์ <i>Y. lipolytica</i> สายพันธุ์ดั้งเดิม (WT) รุ่นที่ 3	56
ค.3	ผล Gas Chromatography จากไขมันที่สกัดได้จากยีสต์ <i>Y. lipolytica</i> สายพันธุ์กลายไอโซเลท YLCe15_07 รุ่นที่ 1	57
ค.4	ผล Gas Chromatography จากไขมันที่สกัดได้จากยีสต์ <i>Y. lipolytica</i> สายพันธุ์กลายไอโซเลท YLCe15_07 รุ่นที่ 3	58
ค.5	ผล Gas Chromatography จากไขมันที่สกัดได้จากยีสต์ <i>Y. lipolytica</i> สายพันธุ์กลายไอโซเลท YLCe15_14 รุ่นที่ 1	59
ค.6	ผล Gas Chromatography จากไขมันที่สกัดได้จากยีสต์ <i>Y. lipolytica</i> สายพันธุ์กลายไอโซเลท YLCe15_14 รุ่นที่ 3	60

## สารบัญตาราง

ตารางที่		หน้า
2.1	ปริมาณการสะสมไขมันของเชื้อจุลินทรีย์สะสมไขมันแต่ละชนิด เมื่อคิดเป็นเปอร์เซ็นต์ ต่อน้ำหนักเซลล์แห้ง	4
3.1	ส่วนประกอบในปฏิกิริยา PCR	17
ข.1	การคัดเลือกสายพันธุ์กลายโดย Oil Droplet Screening	46

## บทที่ 1

### บทนำ

#### ความเป็นมาและมูลเหตุจูงใจ

ไขมัน เป็นสารประกอบชีวโมเลกุลที่มีความสำคัญต่อสิ่งมีชีวิต เนื่องจากไขมันมีหน้าที่หลายประการด้วยกัน เช่น เป็นส่วนประกอบหลักภายในเยื่อหุ้มเซลล์ของสิ่งมีชีวิต เป็นฮอร์โมนที่มีความสำคัญต่อกระบวนการเมแทบอลิซึมภายในร่างกาย และเป็นแหล่งพลังงานสำรองที่สำคัญของสิ่งมีชีวิต (Rakicka et al., 2015) ในปัจจุบันไขมันมีความสำคัญต่อภาคอุตสาหกรรมอย่างมาก เนื่องจากไขมันสามารถนำมาใช้เป็นแหล่งผลิตเชื้อเพลิงชีวภาพแทนการใช้เชื้อเพลิงจากฟอสซิล (Zhu et al., 2016)

เชื้อจุลินทรีย์สะสมไขมัน (Oleaginous Microorganisms) ถูกใช้เป็นทางเลือกในการผลิตไขมันที่มีมูลค่าสูงในระดับอุตสาหกรรม เนื่องจากมีข้อดีหลายประการ ได้แก่ ใช้พื้นที่ในการเลี้ยงเชื้อน้อย มีอัตราการเจริญเติบโตสูง มีความสามารถในการใช้แหล่งคาร์บอนที่หลากหลาย (Meng et al., 2009) อีกทั้ง เชื้อจุลินทรีย์กลุ่มนี้มีน้ำมันเป็นองค์ประกอบในสัดส่วนที่สูงเมื่อเทียบกับน้ำหนักเซลล์แห้ง และน้ำมันยังมีความคล้ายคลึงกับน้ำมันที่ได้จากพืช (Zhao et al., 2010)

เชื้อจุลินทรีย์สะสมไขมัน จะมีการสะสมไขมันไว้ภายในเซลล์หลายระดับขึ้นกับชนิดของจุลินทรีย์ ซึ่งจะสะสมไขมันอย่างน้อย 20 เปอร์เซ็นต์ของน้ำหนักเซลล์แห้ง จุลินทรีย์สะสมน้ำมันในกลุ่มยีสต์ (Oleaginous Yeast) ได้แก่ *Rhodospiridium* sp. *Rhodotorula* sp. *Lipomyces* sp. และ *Yarrowia lipolytica* ซึ่งมีการสะสมน้ำมันภายในเซลล์ประมาณ 20 ถึง 70 เปอร์เซ็นต์ของน้ำหนักเซลล์แห้ง (Thevenieau and Nicaud, 2013) โดยน้ำมันภายในเซลล์อยู่ในกลุ่มไตรกลีเซอไรด์ประกอบด้วย long-chain fatty acids ที่มีจำนวนคาร์บอนอยู่ระหว่าง 16 ถึง 18 อะตอม (Beopoulos et al., 2009) อย่างไรก็ตาม เชื้อ *Y. lipolytica* สายพันธุ์ *YLNatXynA* มีการสะสมน้ำมันภายในเซลล์ในปริมาณที่น้อยเมื่อเทียบกับปริมาณการสะสมน้ำมันในยีสต์สะสมน้ำมันชนิดอื่น ๆ (Lamers et al., 2016) แต่ในขณะเดียวกัน เชื้อ *Y. lipolytica* สายพันธุ์ *YLNatXynA* ก็มีความสามารถในการผลิตสารชีวภาพที่หลากหลาย นอกเหนือจากการสะสมไขมันภายในเซลล์ เช่น สารลดแรงตึงผิวชีวภาพ สารที่ให้กลิ่นหอม กรดซิตริก เอนไซม์ไลเปส และเอนไซม์ไซลานเนส อีกทั้งยังเป็นเชื้อที่จัดอยู่ในกลุ่มที่ไม่ก่อให้เกิดโรค สามารถพบได้ทั่วไป และคัดแยกได้ง่ายจากสิ่งแวดล้อม ทำให้เชื้อ *Y. lipolytica* เป็นที่นิยมในอุตสาหกรรมเทคโนโลยีชีวภาพ (Gonçalves et al., 2014) ดังนั้นจึงควรหาวิธีในการปรับปรุงให้เชื้อ *Y. lipolytica* สายพันธุ์ *YLNatXynA* มีการผลิตไขมันมากขึ้น

เทคนิคการทำให้เกิดการกลายอย่างสุ่ม (Random Mutagenesis) เป็นกระบวนการที่อาจกระตุ้นให้มีการเปลี่ยนแปลงไปของลำดับนิวคลีโอไทด์ ที่ทำให้มีการสร้างโปรตีนที่มีลักษณะต่างไป

จากเดิมและส่งผลให้โปรตีนมีประสิทธิภาพในการทำงานที่เปลี่ยนไป โดยบริเวณที่เกิดการเปลี่ยนแปลงนิวคลีโอไทด์นั้นเกิดขึ้นอย่างสุ่ม เช่น การใช้รังสีอัลตราไวโอเล็ต ที่เหนี่ยวนำให้เกิดไพริมิดีนไดเมอร์ เกิดการกลายจากการแทนที่เบส (Base Substitution) ที่มีผลให้เกิดการกลายพันธุ์ได้ดี และไม่ก่อให้เกิดการตายที่สูงจนเกินไป (Tipia et al., 2012)

ยีน acetyl-CoA carboxylase1 (ACC1) เป็นยีนที่เกี่ยวข้องกับกระบวนการสังเคราะห์กรดไขมัน มีหน้าที่ในการสร้างเอนไซม์ acetyl-CoA carboxylase ซึ่งเป็นเอนไซม์ที่มีหน้าที่ในการเปลี่ยน acetyl-CoA เป็น malonyl-CoA โดย malonyl-CoA นั้น จัดเป็นเป็นสารตั้งต้นในกระบวนการผลิตกรดไขมัน (Wang et al., 2016)

Cerulenin เป็นสารประกอบที่สกัดได้จาก *Cephalosporium caerulens* จัดเป็นยาปฏิชีวนะต้านเชื้อรา มีผลยับยั้งการทำงานของเอนไซม์ที่ใช้ในการสังเคราะห์กรดไขมันที่จำเป็นต่อการมีชีวิตของเซลล์ ดังนั้นเซลล์ที่สามารถมีชีวิตบนอาหารที่มีส่วนผสมของ cerulenin จึงมีแนวโน้มที่จะเป็นสายพันธุ์กลาย (Heath, White and Rock, 2001) ทำให้ cerulenin ถูกนำมาใช้ในการคัดเลือกสายพันธุ์กลายในยีสต์ *Rhodotorula glutinis* (Satoshi, 1976) อีกทั้ง เคยมีการศึกษาพบว่า celulenin เป็นสารที่ถูกนำมาใช้เพื่อเพิ่มการสร้างกรดไขมันชนิดไม่อิ่มตัว (Polyunsaturated Fatty Acids) (Morita et al., 2005)

เพื่อคัดเลือกยีสต์ *Y. lipolytica* สายพันธุ์กลายที่สามารถผลิตไขมันได้มากขึ้น เมื่อเปรียบเทียบกับยีสต์ *Y. lipolytica* สายพันธุ์ดั้งเดิม งานวิจัยนี้จึงต้องการคัดเลือกยีสต์ *Y. lipolytica* สายพันธุ์ YLNatXynA ที่เกิดการกลายภายหลังจากการฉายด้วยรังสีรังสีอัลตราไวโอเล็ต โดยใช้วิธี cerulenin screening (Tipia et al., 2012)

### วัตถุประสงค์

เพื่อเหนี่ยวนำให้ *Y. lipolytica* เกิดสายพันธุ์กลายที่สามารถผลิตไขมันได้มากขึ้นเมื่อเปรียบเทียบกับสายพันธุ์ดั้งเดิม ด้วยวิธีฉายรังสีอัลตราไวโอเล็ต

### ประโยชน์ที่คาดว่าจะได้รับ

สามารถนำเชื้อ *Y. lipolytica* สายพันธุ์กลายไปประยุกต์ใช้ในกระบวนการผลิตไขมัน เพื่อเพิ่มประสิทธิภาพการผลิตไขมันในอุตสาหกรรม

## บทที่ 2

### เอกสารและงานวิจัยที่เกี่ยวข้อง

#### 2.1 เชื้อจุลินทรีย์สะสมไขมัน (Oleaginous Microorganisms)

เชื้อจุลินทรีย์สะสมไขมัน คือจุลินทรีย์ที่มีความสามารถในการผลิตและสะสมไขมันไว้ภายในเซลล์ ซึ่งจะสะสมไขมันอย่างน้อย 20 เปอร์เซ็นต์ของน้ำหนักเซลล์แห้ง ขึ้นอยู่กับเชื้อจุลินทรีย์แต่ละชนิด (Thevenieau and Nicaud, 2013) ในปัจจุบันมีการนำเชื้อจุลินทรีย์มาใช้เป็นทางเลือกในการผลิตเชื้อเพลิงชีวภาพ เนื่องจากมีการพัฒนาหาแนวทางในการลดต้นทุนการเลี้ยงเชื้อจุลินทรีย์เหล่านี้อย่างต่อเนื่อง (Ratledge, 2004)

#### 2.2 ประเภทของเชื้อจุลินทรีย์สะสมไขมัน

เชื้อจุลินทรีย์ที่มีความสามารถในการผลิตและสะสมไขมันมีหลายชนิด ดังตารางที่ 2.1 ซึ่งประกอบด้วย

2.2.1 แบคทีเรีย (Bacteria) เป็นเชื้อจุลินทรีย์สะสมไขมันที่สามารถเจริญเติบโตได้เร็ว และใช้ต้นทุนในการเลี้ยงเชื้อต่ำ แต่ไขมันที่แบคทีเรียสร้างจะถูกส่งออกมาภายนอกเซลล์ร่วมกับสารชนิดอื่นทำให้ไขมันที่ได้ไม่มีความบริสุทธิ์ จึงจัดว่าแบคทีเรียเป็นพวก lipoid โดยไขมันจะไม่เหมือนกับที่พบในพืช (Alvarez and Steinbuchel, 2002) อีกทั้งในแบคทีเรียแกรมลบ มักจะพบไขมันในกลุ่ม lipopolysaccharides (LPS) ซึ่งจัดเป็นสารที่มีพิษต่อสัตว์ จึงทำให้ไขมันจากแบคทีเรียไม่เป็นที่นิยมในระดับอุตสาหกรรม

2.2.2 สาหร่ายขนาดเล็ก (Microalgae) เป็นจุลินทรีย์สะสมไขมันที่มีความสามารถในการผลิตและสะสมไขมันมากถึง 70 เปอร์เซ็นต์ของน้ำหนักเซลล์แห้ง แต่การเลี้ยงสาหร่ายขนาดเล็กชนิดนี้จำเป็นต้องใช้เวลามากในการเจริญ อีกทั้งต้องใช้พื้นที่มาก เพื่อเพิ่มพื้นที่ผิวสัมผัสให้สาหร่ายได้รับแสงรวมทั้งแก๊สคาร์บอนไดออกไซด์ เพื่อใช้ในการสร้างอาหารภายในเซลล์ (Anderson, 1992)

2.2.3 ยีสต์ (Yeast) เป็นเชื้อจุลินทรีย์สะสมไขมันที่นิยมนำมาใช้ในระดับอุตสาหกรรม แม้ว่าจะมีปริมาณการสร้างและสะสมไขมันที่น้อยกว่าสาหร่ายขนาดเล็ก แต่สามารถชดเชยได้ด้วยเหตุที่ยีสต์ไม่ใช้พื้นที่มากในการเลี้ยง ใช้ทรัพยากรในการเลี้ยงต่ำกว่าสาหร่ายขนาดเล็ก อีกทั้งไขมันที่ยีสต์สร้างจะถูกสะสมอยู่ภายในเซลล์ ทำให้ง่ายต่อการสกัดไขมันเพื่อนำมาใช้ประโยชน์ และมีการปนเปื้อนต่ำเมื่อเปรียบเทียบกับไขมันที่ได้จากแบคทีเรีย (Ratledge, 1982)

ตารางที่ 2.1 ปริมาณการสะสมไขมันของเชื้อจุลินทรีย์สะสมไขมันแต่ละชนิด เมื่อคิดเป็นเปอร์เซ็นต์ต่อน้ำหนักเซลล์แห้ง (Subramaniam et al., 2010)

Microorganisms	Oil content (% dry weight)
<b>Microalgae</b>	
<i>Botryococcus braunii</i>	25–75
<i>Cylindrotheca</i> sp.	16–37
<i>Chlorella</i> sp.	28–32
<i>Cryptocodinium cohnii</i>	20
<i>Dunaliella primolecta</i>	23
<i>Isochrysis</i> sp.	25–33
<i>Monallanthus salina</i>	>20
<i>Nannochloris</i> sp.	20–35
<i>Nannochloropsis</i> sp.	31–68
<i>Neochloris oleoabundans</i>	35–54
<i>Nitzschia</i> sp.	45–47
<i>Phaeodactylum tricornutum</i>	20–30
<i>Schizochytrium</i> sp.	50–77
<i>Tetraselmis sueica</i>	15–23
<b>Bacteria</b>	
<i>Arthrobacter</i> sp.	>40
<i>Acinetobacter calcoaceticus</i>	27–38
<i>Rhodococcus opacus</i>	24–25
<i>Bacillus alcalophilus</i>	18–24
<b>Yeast</b>	
<i>Candida curvata</i>	58
<i>Cryptococcus albidus</i>	65

### 2.3 ยีสต์สะสมน้ำมัน (Oleaginous Yeast)

ยีสต์สะสมไขมัน คือ ยีสต์ที่มีความสามารถในการสร้างและเก็บสะสมไขมันได้ 20 ถึง 70 เปอร์เซ็นต์ของน้ำหนักเซลล์แห้ง ซึ่งไขมันที่ยีสต์สะสมส่วนใหญ่ 80 ถึง 90 เปอร์เซ็นต์ จะอยู่ในรูปของไตรเอซิลกลีเซอรอล (TAGs) โดยไตรเอซิลกลีเซอรอลที่ยีสต์ผลิตมีสมบัติคล้ายกับน้ำมันพืชที่ใช้ในการผลิตไบโอดีเซล อย่างไรก็ตามคุณสมบัติของไขมันนั้นมีความหลากหลายไปตามชนิดของยีสต์ ซึ่งยีสต์สะสมไขมันที่เป็นที่รู้จักคือยีสต์ในสกุล *Candida* *Cryptococcus* *Lipomyces* *Rhodospiridium* *Rhodotorula* *Trichosporon* และ *Yarrowia* ซึ่งการที่ยีสต์มีการเจริญเติบโตเร็ว ผลิตไขมันได้ปริมาณมาก และสามารถควบคุมปัจจัยการเจริญเติบโตได้ง่าย ทำให้ยีสต์เป็นทางเลือกที่ดีในการใช้ผลิตไบโอดีเซลในปัจจุบัน (Evans and Ratledge, 1984)

## 2.4 ยีสต์ *Yarrowia lipolytica*

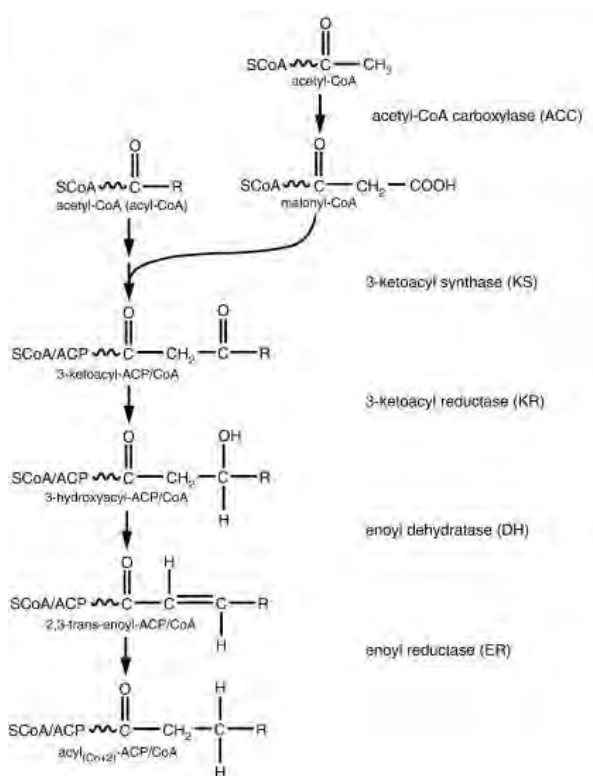
*Y. lipolytica* เป็นยีสต์สะสมไขมันที่มีลักษณะเป็น dimorphic aerobic yeast คือยีสต์ที่สามารถเจริญเติบโตในรูปแบบที่เป็นเซลล์เดี่ยวหรือเป็นเส้นใย ภายใต้สภาวะที่มีออกซิเจน และยังคงถูกจัดเป็นเชื้อจุลินทรีย์ใน biosafety level 1 (BSL1) คือ เป็นเชื้อที่ไม่ก่อโรค อีกทั้งยีสต์ *Y. lipolytica* เป็นยีสต์ที่มีความสามารถในการผลิตสารชีวภาพที่หลากหลาย เช่น สารลดแรงตึงผิวชีวภาพ สารที่ให้กลิ่นหอม (เช่น  $\gamma$ -decalactone) กรดซิตริก เอนไซม์ไลเปส และไขมัน (Intracellular Lipids) เป็นต้น ทำให้ยีสต์ *Y. lipolytica* ถูกนำมาใช้ทางด้านเทคโนโลยีชีวภาพอย่างแพร่หลาย (Goncalves et al., 2014)

## 2.5 กระบวนการสังเคราะห์กรดไขมัน (Fatty Acid Synthesis)

กระบวนการสังเคราะห์กรดไขมันเป็นกระบวนการที่เกิดขึ้นในไซโตซอล ประกอบด้วย 2 ขั้นตอนหลักคือ ขั้นตอนแรกเปลี่ยน acetyl-CoA เป็น malonyl-CoA โดยใช้การทำงานของเอนไซม์ acetyl-CoA carboxylase (ACC) ขั้นตอนที่สองคือ การเปลี่ยน malonyl-CoA ให้ได้ ester-CoA ซึ่งหากเกิดปฏิกิริยาขั้นที่สองซ้ำไปเรื่อย ๆ จะได้ acyl chains อิมตัวที่มีคาร์บอน 16 อะตอม (palmitoyl-CoA) และ 18 อะตอม (stearoyl-CoA) หรืออาจจะมีพันธะคู่เพิ่มขึ้น คือ palmitoyl-CoA (C16:1) และ oleoyl-CoA (C18:1) ซึ่งการจะเปลี่ยนเป็นกรดไขมันชนิดใด ขึ้นอยู่กับเอนไซม์ที่มีในแต่ละสิ่งมีชีวิต ส่งผลให้สิ่งมีชีวิตแต่ละชนิดมีการสะสมกรดไขมันที่ต่างกันออกไป (Tehlivets, Scheuringer and Kohlwein, 2007)

กระบวนการสังเคราะห์กรดไขมันมีสารตั้งต้นคือ acetyl-CoA แล้วเปลี่ยนเป็น malonyl-CoA ด้วยเอนไซม์ ACC จากนั้นจะเกิดปฏิกิริยาการควบแน่นของ malonyl-CoA และ acetyl-CoA ได้เป็น 3-keto-acyl-CoA จากนั้นถูกรีดิวซ์ได้ 3-hydroxyacyl-CoA แล้ว 3-hydroxyacyl-CoA จะเกิดปฏิกิริยาดีไฮเดรชันได้ 2,3-trans-enoyl-CoA แล้วจากนั้นเกิดปฏิกิริยารีดักชันได้เป็น acyl-CoA ซึ่งท้ายที่สุดแล้วจะถูกเปลี่ยนให้อยู่ในรูปของ triacylglycerol (Heath, White and Rock, 2001) ดังภาพที่ 2.1

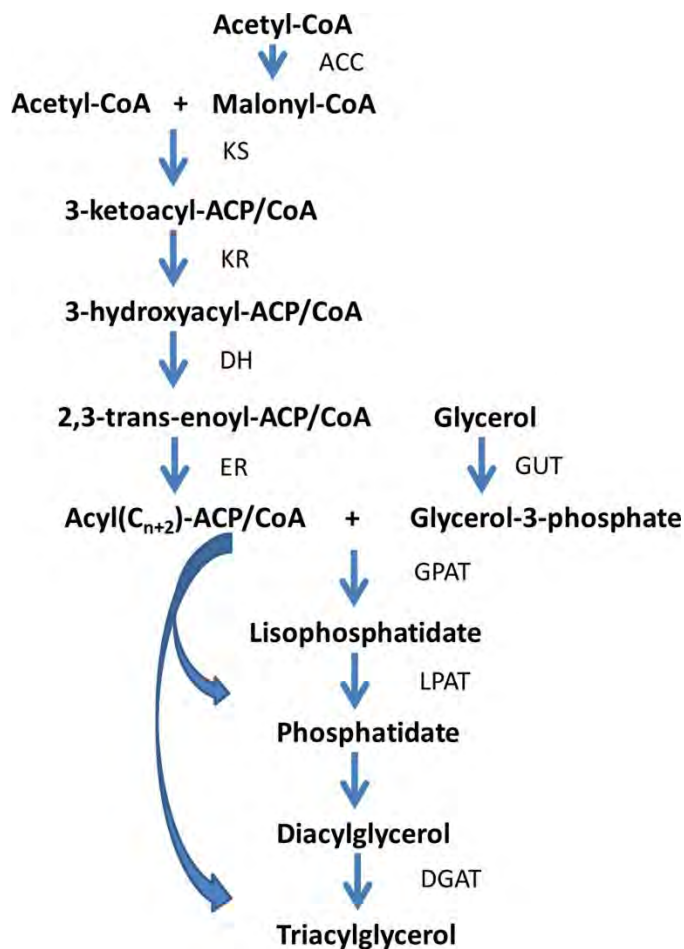




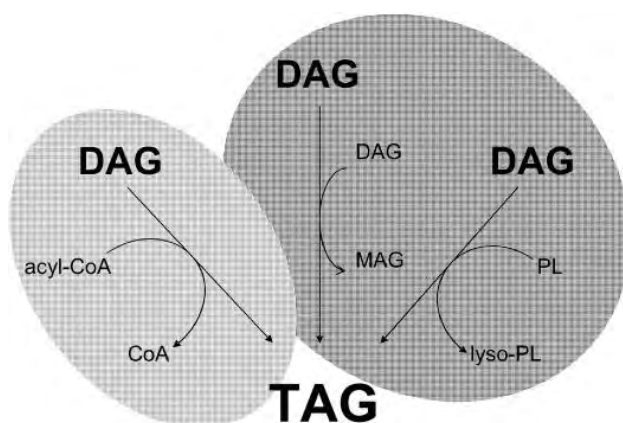
ภาพที่ 2.1 กระบวนการสังเคราะห์กรดไขมัน (Fatty Acid Synthesis) (Tehlivets, Scheuringer and Kohlwein 2007)

## 2.6 กระบวนการสังเคราะห์ไตรเอซิลกลีเซอรอล (Triacylglycerol Synthesis)

กระบวนการสังเคราะห์ไตรเอซิลกลีเซอรอลเป็นกระบวนการในการเปลี่ยน diacylglycerol (DAG) เป็น triacylglycerol (TAG) ซึ่งเป็นรูปแบบของไขมันที่ยีสต์เก็บสะสม กระบวนการนี้เกิดจากการทำงานของเอนไซม์ acyl-CoA diacylglycerol O-acyltransferase (DGAT) (Tang, Lee and Chen, 2015) ดังภาพที่ 2.2 ซึ่งในยีสต์แต่ละชนิดจะมีเอนไซม์ DGAT แตกต่างกันไป เช่น ใน *Y. lipolytica* มียีนที่เกี่ยวข้องกับการสังเคราะห์เอนไซม์ DGAT 2 ยีน ได้แก่ *DGA1* และ *DGA2* เป็นต้น (Athenstaedt, 2011) ดังภาพที่ 2.3



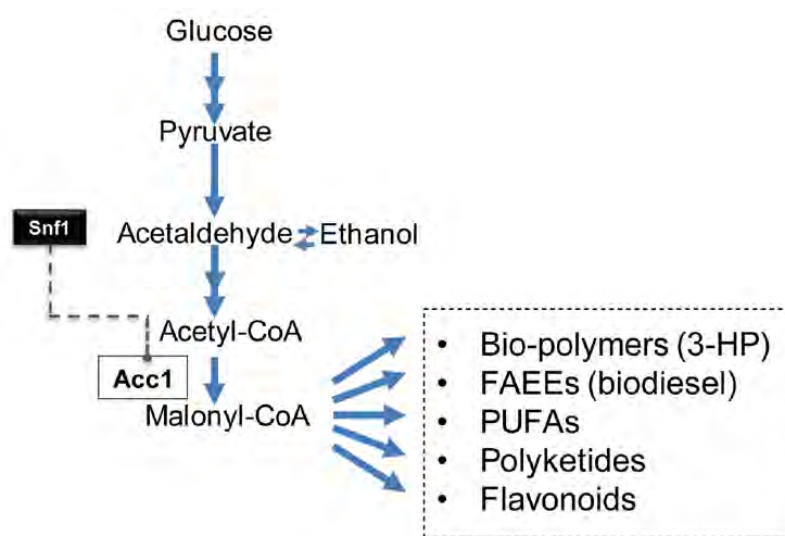
ภาพที่ 2.2 กระบวนการสังเคราะห์ไตรเอซิลกลีเซอรอล (Triacylglycerol Synthesis) (Tang, Lee and Chen, 2015)



ภาพที่ 2.3 กระบวนการสังเคราะห์ไตรเอซิลกลีเซอรอลใน *Y. lipolytica* ซึ่งเกิดได้ 2 แบบคือ acyl-CoA dependent จาก *DGA1* (สีอ่อน) และ acyl-CoA independent จาก *DGA2* (สีเข้ม) โดย MAG คือ monoacylglycerol และ PL คือ phospholipid (Athenstaedt, 2011)

## 2.7 ยีน ACC1

ยีน ACC1 เป็นยีนที่เกี่ยวข้องกับการสร้างเอนไซม์ acetyl-CoA carboxylase (E.C. 6.4.1.2) มีหน้าที่เร่งกระบวนการเปลี่ยน acetyl-CoA เป็น malonyl-CoA โดยกระบวนการนี้เป็นขั้นกำหนดปฏิกิริยาของการสังเคราะห์กรดไขมันในยีสต์ อีกทั้ง malonyl-CoA ยังเป็นสารตั้งต้นที่สำคัญในกระบวนการผลิตอนุพันธ์ของกรดไขมันชนิดต่าง ๆ ดังภาพที่ 2.4 จึงมีการนำยีน ACC1 มาใช้ในกระบวนการพันธุวิศวกรรมเพื่อเพิ่มปริมาณการสร้างและสะสมไขมันในยีสต์ชนิดต่าง ๆ (Haslacher et al., 1993)



ภาพที่ 2.4 malonyl-CoA เป็นสารตั้งต้นที่สำคัญในกระบวนการผลิตอนุพันธ์ของไขมันชนิดต่าง ๆ (Haslacher et al., 1993)

## 2.8 การกลายพันธุ์ (Mutation)

การกลายพันธุ์ คือการเปลี่ยนแปลงสารพันธุกรรม ส่งผลให้สารพันธุกรรมมีโครงสร้างที่เปลี่ยนแปลงไป และมีความสามารถในการถ่ายทอดสารพันธุกรรมที่เปลี่ยนแปลงไปให้กับรุ่นต่อไป โดยการกลายพันธุ์สามารถแบ่งได้เป็น 2 ประเภท (วรารณ มลิลาศ, 2549) ได้แก่

2.8.1 การกลายพันธุ์ที่เกิดขึ้นเองตามธรรมชาติ (Spontaneous Mutation) เป็นการกลายพันธุ์ที่เกิดจากการจับคู่ผิดของเบสในสายดีเอ็นเอ ระหว่างที่เกิดกระบวนการจำลองสายดีเอ็นเอ (DNA Replication) ภายในเซลล์ แล้วไม่มีกระบวนการซ่อมแซมสายดีเอ็นเอ ซึ่งสายดีเอ็นเอที่มีลำดับเบสผิด จะทำหน้าที่เป็นสายต้นแบบในการจำลองสายดีเอ็นเอของรุ่นถัดไป ส่งผลทำให้เซลล์รุ่นถัดไปมีสารพันธุกรรมแตกต่างไปจากรุ่นเดิม โดยการกลายที่เกิดขึ้นอาจเป็นผลมาจากรังสี หรือสารเคมี ที่มีอยู่ตามธรรมชาติ ซึ่งการกลายพันธุ์ชนิดนี้ มีอัตราการเกิดที่ต่ำมาก

2.8.2 การเหนี่ยวนำให้เกิดการกลายพันธุ์ (Induced Mutation) เป็นการกลายพันธุ์ที่มนุษย์

มีการเหนี่ยวนำให้เกิดการกลายด้วยปัจจัยภายนอกอื่น ๆ ที่ไม่ใช่ความผิดพลาดจากการจำลองสายดีเอ็นเอของเซลล์เอง เพื่อเพิ่มอัตราการกลายพันธุ์ให้มากกว่าที่เกิดขึ้นตามธรรมชาติ โดยใช้สารก่อการกลาย (Mutagen) เช่น การใช้สารเคมีที่มีโครงสร้างคล้ายกับเบสแต่ละชนิดในสายดีเอ็นเอ การใช้สารเคมีที่มีการเติมหมู่อัลคิลให้กับเบสในสายดีเอ็นเอ และการใช้รังสีเหนี่ยวนำให้เกิดการเปลี่ยนแปลงโครงสร้างของสายดีเอ็นเอ เป็นต้น

## 2.9 การเหนี่ยวนำให้เกิดการกลายพันธุ์โดยใช้รังสี

การเหนี่ยวนำให้เกิดการกลายพันธุ์โดยใช้รังสีเป็นตัวก่อการกลาย สามารถแบ่งได้เป็น 2 ประเภทตามความรุนแรงของรังสีที่ใช้ ได้แก่

2.9.1 รังสีที่ไม่ก่อให้เกิดไอออน (Non-ionizing Radiation) ได้แก่ รังสีอัลตราไวโอเล็ต เป็นรังสีที่สามารถเหนี่ยวนำให้เกิดการกลายที่มีประสิทธิภาพ โดยที่ความยาวคลื่นประมาณ 260 นาโนเมตร เบสในสายดีเอ็นเอจะมีความสามารถในการดูดกลืนรังสีได้ดี ส่งผลให้เกิดเป็นไพริมิดีนไดเมอร์ ซึ่งพบมากในรูปไทมีนไดเมอร์ และเมื่อเกิดกระบวนการจำลองดีเอ็นเอ จะมีการนำเบสเข้าไปจับแบบสุ่มบริเวณที่เป็นไทมีนไดเมอร์ ทำให้เกิดการกลายพันธุ์ของสารพันธุกรรมในรุ่นถัดไป จึงนิยมใช้เพื่อเหนี่ยวนำให้เกิดการกลายพันธุ์ในเชื้อจุลินทรีย์ (Fantini, 1975) เช่น ใน *Bacillus subtilis* สามารถสร้างสายพันธุ์กลายด้วยรังสีอัลตราไวโอเล็ต เพื่อเพิ่มประสิทธิภาพการผลิตเอนไซม์ protease ทำให้เป็นที่นิยมใช้ในอุตสาหกรรมการผลิตเอนไซม์ protease ในปัจจุบัน (Demirkan et al., 2018)

2.9.2 รังสีที่ก่อให้เกิดไอออน (Ionizing radiation) เช่น รังสีเอกซ์ รังสีแกมมา ซึ่งเป็นรังสีที่สามารถเหนี่ยวนำให้เกิดการกลายที่รุนแรงกว่ารังสีชนิดแรก โดยอาจมีผลทำให้โครงสร้างทางเคมีของเบสในสายดีเอ็นเอเปลี่ยนไป ไปจนถึงทำให้สายดีเอ็นเอแตกหักอย่างรุนแรง (Brock, 1974) เช่น ใน *Serratia marcescens* สามารถสร้างสายพันธุ์กลายด้วยรังสีแกมมา เพื่อเพิ่มประสิทธิภาพการสร้างรงควัตถุสีแดง (Prodigiosin) ซึ่งเป็นสารทุติยภูมิที่มีคุณสมบัติเป็นสารต้านมะเร็ง สารต้านอนุมูลอิสระ สารต้านจุลชีพ และเป็นรงควัตถุที่นิยมใช้ในอุตสาหกรรมสิ่งทอด้วย (Elkenawy et al., 2017)

## 2.10 กระบวนการซ่อมแซมสายดีเอ็นเอ (DNA Repair)

การซ่อมแซมสายดีเอ็นเอภายหลังจากโดนรังสีอัลตราไวโอเล็ต ส่งผลให้เกิดเป็นไทมีนไดเมอร์ เซลล์โดยทั่วไปจะมีกระบวนการซ่อมแซมสายดีเอ็นเอ โดยมีกลไกที่เกี่ยวข้อง ได้แก่

2.10.1 กระบวนการโฟโตรีแอกทีเวชัน (Photoreactivation) เป็นกระบวนการซ่อมแซมสายดีเอ็นเอแบบใช้แสงในช่วง visible light เป็นตัวกระตุ้น โดยมีการทำงานของแสงในช่วงความยาวคลื่นแสงสีน้ำเงินจะกระตุ้นการทำงานของเอนไซม์ photolyase ให้เข้าไปทำลายพันธะโควาเลนต์ของไทมีนไดเมอร์ ทำให้เบสไทมีนสามารถสร้างพันธะไฮโดรเจนกับเบสอะดีนีนในสายตรงข้ามได้ตามปกติ (Zhao and Mu, 1998) ดังนั้น หลังจากเหนี่ยวนำให้เชื้อจุลินทรีย์เกิดการกลายแล้ว จำเป็นต้องบ่มเชื้อในที่มืด เพื่อป้องกันไม่ให้เชื้อจุลินทรีย์เกิดกระบวนการโฟโตรีแอกทีเวชัน (Resnick and Setlow,

1972)

2.10.2 กระบวนการเอ็กซ์ซิชั่นรีแพร์ (Excision Repair) เป็นกระบวนการซ่อมแซมสายดีเอ็นเอแบบไม่ต้องมีแสงเป็นตัวกระตุ้น พบในเซลล์ชนิดยูคาริโอต โดยมีเอนไซม์ endonuclease มาจับที่ตำแหน่งที่เป็นไทมีนไคเมอร์แล้วตัดพันธะระหว่างน้ำตาลและหมู่ฟอสเฟต (Phosphodiester Bond) ในสายดีเอ็นเอบริเวณก่อนหน้าที่จะถึงไทมีนไคเมอร์ จากนั้นเอนไซม์ helicase จะเข้ามาแยกสายดีเอ็นเอทั้งสองสาย แล้วเอนไซม์ DNA polymerase จะเข้ามาสังเคราะห์สายดีเอ็นเอจากปลาย 3'-OH โดยมีดีเอ็นเอสายตรงข้ามเป็นสายต้นแบบ ต่อไปเอนไซม์ ligase จะเข้ามาเชื่อมพันธะระหว่างน้ำตาลและหมู่ฟอสเฟตของปลาย 3'-OH และ 5'-PO<sup>-4</sup> ซึ่งถ้ากระบวนการนี้มีการผิดพลาด คือมีการจับคู่เบสผิด สามารถส่งผลทำให้เกิดการกลายพันธุ์ได้เช่นกัน (Friedberg and Wood, 1996)

## 2.11 การเหนี่ยวนำให้เกิดการกลายเพื่อการปรับปรุงสายพันธุ์เชื้อจุลินทรีย์

การเหนี่ยวนำให้เกิดการกลายเพื่อปรับปรุงสายพันธุ์เชื้อจุลินทรีย์ มีวิธีการปรับปรุงสายพันธุ์โดยอาศัยความรู้ทางพันธุศาสตร์ 2 วิธี (Baltz, 1986) ได้แก่

2.11.1 การใช้ความรู้ทางด้านพันธุวิศวกรรม (Genetic Engineering) เป็นวิธีการที่มีการตัดต่อยีนที่มีความจำเพาะ เพื่อควบคุมกระบวนการสร้างเอนไซม์ ซึ่งวิธีการนี้จำเป็นต้องอาศัยความชำนาญทางด้านเทคนิคเป็นอย่างมาก

2.11.2 การเหนี่ยวนำให้เกิดการกลายแบบสุ่ม (Random Mutagenesis) เป็นวิธีการที่เหนี่ยวนำให้เกิดการกลายที่ไม่จำเพาะ แล้วมีการคัดเลือกเชื้อจุลินทรีย์ที่มีลักษณะเฉพาะที่ต้องการ ซึ่งเป็นวิธีที่ทำได้ง่าย ไม่ต้องมีอาศัยความชำนาญทางด้านเทคนิค เช่น ในยีสต์ *Lipomyces starkeyi* ที่เกิดการกลายแบบสุ่มโดยใช้รังสีอัลตราไวโอเล็ต มีความสามารถในการสะสมไขมันเพิ่มขึ้น 30.7 เปอร์เซ็นต์เมื่อเปรียบเทียบกับสายพันธุ์ดั้งเดิม (Tipia et al., 2012)

### บทที่ 3

## วัสดุอุปกรณ์ สารเคมี และวิธีดำเนินการศึกษา

### วัสดุอุปกรณ์

- กล้องจุลทรรศน์แบบสองตา (Olympus, Japan)
- เครื่องกวนแท่งแม่เหล็ก (Barnstead, USA)
- เครื่องกำเนิดรังสีอัลตราไวโอเล็ต (Vilber lourmat, Germany)
- เครื่องเขย่าควบคุมอุณหภูมิ (Vision Scientific Co.,Ltd)
- เครื่องเขย่าผสมสาร (Vision Sciencetific, Korea)
- เครื่องชั่งละเอียด 2 ตำแหน่ง GM-1100 (Universal weight enterprice, Taiwan)
- เครื่องชั่งละเอียด 4 ตำแหน่ง PA214 (Ohaus, USA)
- เครื่องนึ่งอบฆ่าเชื้อความดันสูง (Tomy, Indonesia)
- เครื่องวัดค่าการดูดกลืนแสง (AnthosZenyth 200, USA)
- เครื่อง PCR TC9610-AXY-230 (Axygen, USA)
- ตู้บ่มเชื้อ (Mettler, Germany)
- ตู้ปลอดเชื้อ (Clean model, Lab service Ltd)
- ตู้อบฆ่าเชื้อ (Mettler, Germany)
- หลอดรังสีอัลตราไวโอเล็ต (Sylvania, Japan)

### สารเคมี

1. สารเคมีที่ใช้ในอาหารเลี้ยงเชื้อ
  - เพปโทน (Schlerlau, Spain)
  - น้ำตาลกลูโคส (Fluka, Switzerland)
  - สารสกัดจากยีสต์ (Hi media, India)
2. สารเคมีที่ใช้ในการย้อมสีเพื่อดูลักษณะสัณฐานวิทยา
  - สีย้อมแลคโตฟีนอลคอตตอนบลู (Sigma, USA)
3. สารเคมีที่ใช้ในการคัดเลือกสายพันธุ์กลาย
  - เพปโทน (Schlerlau, Spain)
  - น้ำตาลกลูโคส (Fluka, Switzerland)
  - สารสกัดจากยีสต์ (Hi media, India)
  - cerulenin (Sigma, USA)

4. สารเคมีที่ใช้ในการย้อมสีดู oil droplet
  - สีย้อมซาฟรานินโอ (Sigma, USA)
  - สีย้อมซูดาน แบลคบี (Sigma, USA)
  - เอทานอล 70%
  
5. สารเคมีที่ใช้ในการสกัดดีเอ็นเอ
  - น้ำกลั่นที่ผ่านกระบวนการ autoclave
  - เม็ดกันเดือด (Invitrogen, USA)
  - สารละลายบัฟเฟอร์ล้างดีเอ็นเอ (Invitrogen, USA)
  - สารละลายบัฟเฟอร์ BL (Invitrogen, USA)
  - สารละลายบัฟเฟอร์ HB (Invitrogen, USA)
  - สารละลายบัฟเฟอร์ SE (Invitrogen, USA)
  - สารละลายบัฟเฟอร์ TL (Invitrogen, USA)
  - สารละลายโปรตีนเนสเค (Invitrogen, USA)
  - สารละลายไลติเคส (Invitrogen, USA)
  - เอนไซม์อาร์เอ็นเอส (Invitrogen, USA)
  
6. สารเคมีที่ใช้ในการทำ PCR
  - ชุด dNTPs (Omega, USA)
  - น้ำกลั่นที่ผ่านกระบวนการ autoclave
  - สารละลายบัฟเฟอร์ HF (Omega, USA)
  - เอนไซม์พีวซ์ดีเอ็นเอพอลิเมอเรส (Omega, USA)
  - ไพรเมอร์ (Pacific Science, Thailand)
  
7. สารเคมีที่ใช้สำหรับการทำเจลอิเล็กโทรโฟรีซิส
  - ดีเอ็นเอมาตรฐาน ขนาด 1 kb (Omega, USA)
  - วัุ้นผงอะกาโรส (Sigma, USA)
  - สารละลายบัฟเฟอร์ TBE 1X
  - สีย้อมดีเอ็นเอ (Omega, USA)
  
8. สารเคมีที่ใช้สำหรับการสกัดน้ำมันด้วยวิธี Bligh and Dyer
  - กรดไฮโดรคลอริก 4 M
  - คลอโรฟอร์ม
  - เมทานอล

## 9. สารเคมีที่ใช้สำหรับการทำ gas chromatography

### - กรดไขมันมาตรฐานดังนี้

- กรดไขมันลอริก (C12:0)
- กรดไขมันกรดไมริสติก (C14:0)
- กรดไขมันปาล์มมิติก (C16:0)
- กรดไขมันปาล์มมิโตเลอิก (C16:1)
- กรดไขมันสเตียริก (C18:0)
- กรดไขมันโอเลอิก (C18:1)
- กรดไขมันลิโนเลอิก (C18:2)
- กรดไขมันลิโนเลอิก (C18:3)
- กรดไขมันอะราคิดิก (C20:0)
- กรดไขมันอีโคซีโนอิก (C20:1)
- กรดไขมันเบฮินิก (C22:0)
- กรดไขมันลิกโนซีริก (C24:0)

- สารละลายเมทานอลผสมโซเดียมไฮดรอกไซด์ 0.01 M

- เฮกเซน

## วิธีดำเนินการศึกษา

### 3.1 ศึกษาลักษณะสัณฐานวิทยาของ *Y. lipolytica* สายพันธุ์ YLNatXynA

เลี้ยงยีสต์ที่ได้จากนางสาวชนิกา เอื้อพาณิชย์ (Ouephanit et al., 2019) ในอาหารเหลว YPD ที่อุณหภูมิ 30 องศาเซลเซียส เขย่าด้วยความเร็วรอบ 170 รอบต่อนาที เป็นเวลา 2 วัน ทำการศึกษาลักษณะสัณฐานวิทยา โดยย้อมเซลล์ด้วยสีย้อมแลคโตฟีนอลคอตตอนบลู จากนั้นนำเซลล์ไปส่องดูลักษณะสัณฐานวิทยาภายใต้กล้องจุลทรรศน์ ด้วยกำลังขยายเลนส์ใกล้วัตถุ 100 เท่า

### 3.2 ศึกษากราฟการเติบโต (Growth curve) ของยีสต์

เลี้ยงยีสต์ในอาหารเหลว YPD ที่อุณหภูมิ 30 องศาเซลเซียส เขย่าด้วยความเร็วรอบ 170 รอบต่อนาที และวัดค่าการดูดกลืนแสงที่ความยาวคลื่น 600 นาโนเมตร (OD<sub>600</sub>) ด้วยเครื่องวัดค่าการดูดกลืนแสง ทุก 2 ชั่วโมง โดยกำหนดให้หัวเข็มมีค่า OD<sub>600</sub> เริ่มต้น เท่ากับ 2.0 ทำการเก็บข้อมูลเป็นเวลา 52 ชั่วโมง หรือจนกว่ากราฟจะเข้าสู่ระยะ death phase เพื่อหาจำนวนชั่วโมงที่ทำให้เชื้อมี cell density อยู่กึ่งกลางระยะ exponential (Mid-exponential Phase)

### 3.3 เหนี่ยวนำให้ยีสต์เกิดการกลายด้วยการฉายรังสีอัลตราไวโอเล็ต

เลี้ยงยีสต์ในอาหารเหลว YPD ปริมาตร 25 มิลลิลิตร ในฟลาสก์ขนาด 250 มิลลิลิตร บ่มที่อุณหภูมิ 30 องศาเซลเซียส เขย่าด้วยความเร็วรอบ 170 รอบต่อนาที เป็นเวลา 2 วัน



เตรียมหัวเชื้อยีสต์ในอาหารเหลว YPD นำสารแขวนลอยเซลล์ยีสต์มาวัด OD<sub>600</sub> โดยกำหนดให้หัวเชื้อมีค่า OD<sub>600</sub> เริ่มต้น เท่ากับ 2.0 จากนั้นบ่มที่อุณหภูมิ 30 องศาเซลเซียส ความเร็วรอบ 170 รอบต่อนาที เป็นเวลา 16 ชั่วโมง หรือช่วงเวลาที่เชื้อมีการเติบโตอยู่ที่กึ่งกลางระยะ exponential จากนั้นนำหัวเชื้อยีสต์มาวัดค่า OD<sub>600</sub> เริ่มต้นก่อนฉายรังสี นำหัวเชื้อยีสต์ลงในจานเพาะเชื้อพลาสติกเส้นผ่านศูนย์กลาง 9 เซนติเมตร จากนั้นนำสารแขวนลอยเซลล์ยีสต์ไปฉายรังสีในตู้ฉายรังสี ที่มีหลอด UV-C ความเข้มแสง 10 วัตต์ จำนวน 5 หลอด เป็นเวลา 0 30 60 90 120 150 และ 180 นาที (ภณทิรา เครือใหญ่, 2555) โดยมีระยะห่างระหว่างจานเพาะเชื้อถึงหลอดฉายรังสี 22 เซนติเมตร และระหว่างการฉายรังสี ต้องกวนด้วยแท่งแม่เหล็กที่ผ่านการฆ่าเชื้อแล้วตลอดการฉายรังสี เพื่อให้เซลล์ได้รับรังสีอย่างทั่วถึง

นำสารแขวนลอยเซลล์ยีสต์ที่ได้รับการฉายรังสีทุกระยะเวลา ทำการลดระดับการเจือจางโดยวิธี 10-fold serial dilution เพื่อคัดแยกโคโลนีเดี่ยวจากนั้นเกลี่ยเชื้อลงบนอาหารแข็ง YPD บ่มในที่มืด อุณหภูมิ 30 องศาเซลเซียส เป็นเวลา 2 วัน จากนั้นนับจำนวนโคโลนีของเชื้อที่ได้รับการฉายรังสีที่เวลาต่าง ๆ เทียบกับที่เวลา 0 นาที นำข้อมูลที่ได้มาเขียนกราฟระหว่างเปอร์เซ็นต์การอยู่รอดและระยะเวลาที่ใช้ในการฉายรังสี เพื่อคัดเลือกเชื้อที่มีเปอร์เซ็นต์การอยู่รอดอยู่ในช่วง 5-10 เปอร์เซ็นต์ลงในอาหารแข็ง YPD เพื่อนำไปทดลองในขั้นต่อไป

### 3.4 คัดเลือกโดยใช้ cerulenin screening และ oil droplet screening จากนั้นเปรียบเทียบประสิทธิภาพการผลิตไขมันในยีสต์ที่ได้รับการฉายรังสีที่ระยะเวลาต่าง ๆ

นำเชื้อที่มีเปอร์เซ็นต์การอยู่รอดในช่วง 5-10 เปอร์เซ็นต์ มาคัดเลือกสายพันธุ์กลายด้วยวิธี cerulenin screening โดยเลี้ยงเชื้อบนอาหารแข็ง YPD ที่มีส่วนผสมของ cerulenin ความเข้มข้น 2 µg/ml ที่อุณหภูมิ 30 องศาเซลเซียส เป็นเวลา 2 วัน เพื่อหาเชื้อสายพันธุ์กลายที่สามารถเจริญได้บนอาหารที่มี cerulenin ผสมอยู่

คัดเลือกสายพันธุ์กลายด้วยวิธี oil droplet screening โดยเลี้ยงเชื้อในอาหาร Lipid production medium ที่อุณหภูมิ 30 องศาเซลเซียส เขย่าด้วยความเร็วรอบ 170 รอบต่อนาที เป็นเวลา 5 วัน จากนั้นนำสารแขวนลอยเซลล์ยีสต์ย้อมด้วยสีย้อม Sudan black B แล้วนำไปส่องภายใต้กล้องจุลทรรศน์ ด้วยกำลังขยายเลนส์ใกล้วัตถุ 100 เท่า เพื่อเปรียบเทียบคุณสมบัติของ oil droplet ภายในเซลล์ของเชื้อแต่ละไอโซเลท แล้วคัดเลือก 5 ไอโซเลทที่มีการสะสม oil droplet มากที่สุด

นำยีสต์สายพันธุ์กลายทั้ง 5 ไอโซเลท วางแผนการทดลองแบบสุ่มสมบูรณ์ (Completely Randomized Design, CRD) เตรียมหัวเชื้อโดยเลี้ยงเชื้อในอาหารเหลว YPD ที่อุณหภูมิ 30 องศาเซลเซียส เขย่าด้วยความเร็วรอบ 170 รอบต่อนาที เป็นเวลา 2 วัน จากนั้นคำนวณให้หัวเชื้อมีความเข้มข้นเริ่มต้นที่ ค่า OD<sub>600</sub> เท่ากับ 4.0 ในอาหารเหลว Lipid Production Medium ปริมาตร 100 มิลลิลิตร โดยแต่ละไอโซเลทจะมีชุดการทดลอง 3 ซ้ำ จากนั้นเลี้ยงเชื้อในอาหารเหลว Lipid Production Medium ที่อุณหภูมิ 30 องศาเซลเซียส เขย่าด้วยความเร็วรอบ 170 รอบต่อนาที เป็นเวลา 5 วัน จากนั้นนำสารแขวนลอยเซลล์ยีสต์ไปทำการทดลองในขั้นต่อไป ดังนี้

#### 3.4.1 วัดการเจริญเติบโต

นำสารแขวนลอยเซลล์ยีสต์ เจือจางความเข้มข้นในสัดส่วนของสารแขวนลอยเซลล์ยีสต์ต่ออาหารเหลว Lipid production Medium ในสัดส่วนเท่ากับ 1:9 จากนั้น นำไปวัดค่า OD<sub>600</sub> โดยใช้เครื่องวัดค่าการดูดกลืนแสง จากนั้นคำนวณค่า OD<sub>600</sub> ที่ได้ในความเข้มข้นเริ่มต้นก่อนเจือจาง

### 3.4.2 วัดชีวมวล

นำสารแขวนลอยเซลล์ยีสต์ ปริมาตร 1 มิลลิลิตรใส่ในหลอดไมโครเซ็นทริฟิวก์ (อบและซังน้ำหนักหลอดเปล่าแล้ว) ขนาด 2 มิลลิลิตร จากนั้นนำไปปั่นเหวี่ยงที่ความเร็วรอบ 8,300 รอบต่อนาที อุณหภูมิ 25 องศาเซลเซียส เป็นเวลา 5 นาที แล้วล้างด้วยน้ำกลั่น 2 ครั้ง เทน้ำกลั่นออก นำหลอดไมโครเซ็นทริฟิวก์ไปอบที่อุณหภูมิ 60 องศาเซลเซียส เป็นเวลาอย่างน้อย 2 วันหรือจนกว่าน้ำหนักหลอดจะคงที่ นำหลอดไมโครเซ็นทริฟิวก์มาพักในตู้ดูดความชื้นเป็นเวลา 2 ชั่วโมง จากนั้นนำหลอดไมโครเซ็นทริฟิวก์มาซังน้ำหนักด้วยเครื่องชั่ง 4 ตำแหน่ง จากนั้นนำมาคำนวณค่าผลผลิตชีวมวล (Biomass Production) ดังสมการที่ 1 ดังนี้

$$\text{Biomass Production} = \frac{\text{น้ำหนักหลอดที่มีเซลล์ยีสต์} - \text{น้ำหนักหลอดเปล่า (กรัม)}}{\text{ปริมาตรของสารแขวนลอยเซลล์ยีสต์ที่ใช้ (ลิตร)}} \quad (1)$$

### 3.4.3 สกัดและวัดปริมาณไขมัน

นำสารแขวนลอยเซลล์ยีสต์ ปริมาตร 25 มิลลิลิตรใส่ในหลอดเซ็นทริฟิวก์ (ที่ไม่ได้อบ) ขนาด 50 มิลลิลิตร จากนั้นนำไปปั่นเหวี่ยงที่ความเร็วรอบ 8,300 รอบต่อนาที อุณหภูมิ 25 องศาเซลเซียส เป็นเวลา 5 นาที แล้วล้างด้วยน้ำกลั่น 2 ครั้ง เทน้ำกลั่นออก จากนั้นเติมกรดไฮโดรคลอริก ความเข้มข้น 4M ปริมาตร 5 มิลลิลิตร แล้วนำไปปั่นในอ่างน้ำควบคุมอุณหภูมิ 60 องศาเซลเซียส เป็นเวลา 2 ชั่วโมง จากนั้นเติม chloroform : methanol ในอัตราส่วน 1:1 ปริมาตร 10 มิลลิลิตร แล้วนำไปปั่นในเครื่องเขย่าที่ความเร็วรอบ 170 รอบต่อนาที อุณหภูมิ 30 องศาเซลเซียส เป็นเวลา 3 ชั่วโมง จากนั้นนำไปปั่นเหวี่ยงที่ความเร็วรอบ 6,000 รอบต่อนาที อุณหภูมิ 25 องศาเซลเซียส เป็นเวลา 5 นาที แล้วดูดชั้น organic phase (ชั้นล่าง) ออกมาใส่หลอด Eppendorf ก้นตัด ขนาด 5 มิลลิลิตร (อบและซังน้ำหนักหลอดเปล่าแล้ว) โดยเปิดฝาหลอดปล่อยให้ตัวทำละลายระเหยภายในตู้ปลอดเชื้อเป็นเวลา 1 คืน จากนั้นนำไปอบที่อุณหภูมิ 60 องศาเซลเซียส เป็นเวลา 1 คืน แล้วนำไปพักในตู้ดูดความชื้นเป็นเวลา 2 ชั่วโมง จากนั้นนำหลอด Eppendorf ก้นตัดไปซังน้ำหนักไขมันแห้งด้วยเครื่องชั่ง 4 ตำแหน่ง (Bligh and Dyer, 1959) เพื่อคำนวณค่าผลผลิตไขมัน (Lipid Yield) ดังสมการที่ 2 และคำนวณค่าปริมาณไขมันที่สะสมภายในเซลล์ (Lipid Content) ดังสมการที่ 3

$$\text{Lipid Yield} = \frac{\text{น้ำหนักหลอดที่มีไขมันแห้ง} - \text{น้ำหนักหลอดเปล่า (กรัม)}}{\text{ปริมาตรของสารแขวนลอยเซลล์ยีสต์ที่ใช้ (ลิตร)}} \quad (2)$$

$$\text{Lipid Content} = \frac{\text{ผลผลิตไขมัน (Lipid Yield) (กรัมต่อลิตร)}}{\text{ผลผลิตชีวมวล (Biomass Production) (กรัมต่อลิตร)}} \quad (3)$$

### 3.4.4 วัดสัดส่วนของกรดไขมัน

นำสารแขวนลอยเซลล์ยีสต์ ปริมาตร 25 มิลลิลิตรใส่ในหลอดเซ็นตริฟิวก์ (ที่ไม่ได้อบ) ขนาด 50 มิลลิลิตร จากนั้นนำไปปั่นเหวี่ยงที่ความเร็วรอบ 8,300 รอบต่อนาที อุณหภูมิ 25 องศาเซลเซียส เป็นเวลา 5 นาที แล้วล้างด้วยน้ำกลั่น 2 ครั้ง เทน้ำกลั่นออก จากนั้นเติมกรดไฮโดรคลอริก ความเข้มข้น 4M ปริมาตร 5 มิลลิลิตร แล้วนำไปบ่มในอ่างน้ำควบคุมอุณหภูมิ 60 องศาเซลเซียส เป็นเวลา 2 ชั่วโมง จากนั้นเติม chloroform : methanol ในอัตราส่วน 1:1 ปริมาตร 10 มิลลิลิตร แล้วนำไปบ่มในเครื่องเขย่าที่ความเร็วรอบ 170 รอบต่อนาที อุณหภูมิ 30 องศาเซลเซียส เป็นเวลา 3 ชั่วโมง จากนั้นนำไปปั่นเหวี่ยงที่ความเร็วรอบ 6,000 รอบต่อนาที อุณหภูมิ 25 องศาเซลเซียส เป็นเวลา 5 นาที แล้วดูดชั้น organic phase (ชั้นล่าง) ออกมาใส่หลอด Eppendorf ก้นตัด ขนาด 5 มิลลิลิตร โดยเปิดฝาหลอดปล่อยให้ตัวทำละลายระเหยภายในตู้ปลอดเชื้อเป็นเวลา 1 คืน จากนั้นนำไขมันที่แห้งแล้วไปเปลี่ยนเป็น Fatty acid methyl ester (FAME) เพื่อวิเคราะห์ Fatty acid profile โดยนำไขมันแห้งมาเติม สารละลายเมทานอลผสมโซเดียมไฮดรอกไซด์ ความเข้มข้น 0.01 M ปริมาตร 2 มิลลิลิตร แล้วบ่มในอ่างน้ำควบคุมอุณหภูมิ 60 องศาเซลเซียส เป็นเวลา 1 ชั่วโมง จากนั้นนำหลอด Eppendorf ก้นตัดมาวางพักบนน้ำแข็งเพื่อ cool down เป็นเวลา 30 นาที แล้วเติมเฮกเซน ปริมาตร 2 มิลลิลิตร จากนั้นเขย่าหลอด Eppendorf โดยใช้เครื่องเขย่าผสมสาร แล้วบ่มในเครื่องเขย่าที่ความเร็วรอบ 170 รอบต่อนาที อุณหภูมิ 30 องศาเซลเซียส เป็นเวลา 30 นาที ดูดชั้นบนซึ่งมี FAME อยู่ในหลอดไมโครเซ็นตริฟิวก์ใหม่ ขนาด 2 มิลลิลิตร เปิดฝาทิ้งไว้ให้ตัวทำละลายระเหยภายในตู้ปลอดเชื้อ เป็นเวลา 1 คืน เมื่อแห้งจะได้ FAME จากนั้นนำ FAME ที่แห้งแล้วมาเติม เฮกเซน ปริมาตร 750 ไมโครลิตร เขย่าให้เป็นเนื้อเดียวกันโดยใช้เครื่องเขย่าผสมสาร ดูดสารละลายทั้งหมดใส่ในขวด vial พร้อมกับปิดฝาให้เรียบร้อย จากนั้นนำไปวิเคราะห์ fatty acid profile ด้วยเครื่อง Gas Chromatography

นำผลการทดลองที่ได้มาวิเคราะห์ผลทางสถิติด้วยวิธี one-way analysis of variance (ANOVA) และเปรียบเทียบชุดการทดลองที่ระดับความเชื่อมั่น 95% ด้วยโปรแกรม SPSS Statistics (IBM Corp., United States)

## 3.5 ทดสอบความเสถียรในการผลิตไขมันของไอโซเลทที่คัดเลือกเป็นเวลา 3 รุ่น และทดสอบลักษณะสัณฐานวิทยาเปรียบเทียบกับสายพันธุ์ดั้งเดิม

3.5.1 ทดสอบความเสถียรในการผลิตไขมันของไอโซเลทที่คัดเลือกเป็นเวลา 3 รุ่น เปรียบเทียบระหว่างการผลิตไขมันของไอโซเลทที่คัดเลือกในรุ่นที่ 1 และไอโซเลทที่คัดเลือกในรุ่นที่ 3 เลี้ยงเชื้อในอาหารเหลว YPD บ่มในเครื่องเขย่าที่อุณหภูมิ 30 องศาเซลเซียส ความเร็วรอบ 170 รอบต่อนาที เป็นเวลา 2 วัน จากนั้นถ่ายเชื้อรุ่นที่ 1 ใส่ในอาหารเหลว YPD ชุดใหม่เลี้ยงเชื้อตามสภาวะที่ใช้ในรุ่นที่ 1 จากนั้นถ่ายเชื้อลงในอาหารเหลว YPD ชุดใหม่จนกระทั่งได้สารแขวนลอยเซลล์ยีสต์รุ่นที่ 3 จากนั้นทำการทดลองเหมือนกับที่ทำในยีสต์รุ่นที่ 1 คือ วัดการเจริญเติบโต วัดชีวมวลสกัดและวัดปริมาณไขมัน รวมทั้งวัดสัดส่วนของกรดไขมัน แล้วเปรียบเทียบข้อมูลระหว่างเชื้อรุ่นที่ 1 และรุ่นที่ 3 เพื่อทดสอบความสามารถในการส่งต่อทางพันธุกรรม จากนั้น คัดเลือกยีสต์สายพันธุ์ที่มีความสามารถในการส่งต่อความสามารถในการผลิตไขมันที่ดีขึ้นไปยังรุ่นต่อไปได้ ไปทดสอบลำดับเบส

ของยีน *ACC1* ต่อไป

3.5.2 ทดสอบลักษณะสัณฐานวิทยาของไอโซเลตที่คัดเลือกเป็นเวลา 3 รุ่น เปรียบเทียบกับสายพันธุ์ดั้งเดิม

เลี้ยงเชื้อในอาหารเหลว YPD บ่มในเครื่องเขย่าที่อุณหภูมิ 30 องศาเซลเซียส ความเร็วรอบ 170 รอบต่อนาที เป็นเวลา 2 วัน จากนั้นถ่ายเชื้อรุ่นที่ 1 ใส่ในอาหารเหลว YPD ชุดใหม่เลี้ยงเชื้อตามสภาวะที่ใช้ในรุ่นที่ 1 จากนั้นถ่ายเชื้อลงในอาหารเหลว YPD ชุดใหม่จนกระทั่งได้สารแขวนลอยเซลล์ยีสต์รุ่นที่ 3 จากนั้นนำสารแขวนลอยเซลล์ยีสต์รุ่นที่ 3 มาศึกษาลักษณะสัณฐานวิทยา โดยย้อมเซลล์ด้วยสีย้อมแลคโตฟีนอลคอตตอนบลู จากนั้นนำเซลล์ไปส่องดูลักษณะสัณฐานวิทยาภายใต้กล้องจุลทรรศน์ ด้วยกำลังขยายเลนส์ใกล้วัตถุ 100X เปรียบเทียบกับสายพันธุ์ดั้งเดิม (WT)

**3.6 เปรียบเทียบลำดับเบสของยีน *ACC1* ระหว่าง *Y. lipolytica* สายพันธุ์ *YLNatXynA* สายพันธุ์ดั้งเดิมและสายพันธุ์ที่ได้รับการฉายรังสีแล้วถูกคัดเลือก**

3.6.1 สกัดดีเอ็นเอจากเซลล์ยีสต์ด้วย yeast DNA extraction kit (Invitrogen, USA) จากนั้นเพิ่มจำนวนดีเอ็นเอด้วยเทคนิค polymerase chain reaction (PCR) โดยออกแบบให้มีไพรเมอร์ที่จำเพาะกับยีน *ACC1* ด้วยโปรแกรม Primer3 (ver.0.4.0) โดยไพรเมอร์ที่ใช้มีทั้งหมด 2 คู่ ได้แก่

F#1 (forward)	5'-TCAGGATCTTCAACGCCAGA-3'	20 bp
R#1 (reverse)	5'-TGGTGGTAGTTGATGTCCAG-3'	20 bp
และ F#2 (forward)	5'-TCTCAAGGAGGTTGTCGACT-3'	20 bp
R#2 (reverse)	5'-AGAAAGAGAAGCGAGAGCCT-3'	20 bp

โดยมีส่วนประกอบของปฏิกิริยาทั้งหมดจำนวน 50 ไมโครลิตรดังแสดงในตารางที่ 3.1

ตารางที่ 3.1 ส่วนประกอบในปฏิกิริยา PCR

ส่วนประกอบของปฏิกิริยา	1 ปฏิกิริยา (WT)	1 ปฏิกิริยา (YLCe15_07)
น้ำกลั่น	32.5 $\mu$ l	33 $\mu$ l
HF buffer	10 $\mu$ l	10 $\mu$ l
10 $\mu$ M forward primer	2.5 $\mu$ l	2.5 $\mu$ l
10 $\mu$ M reverse primer	2.5 $\mu$ l	2.5 $\mu$ l
ดีเอ็นเอต้นแบบ	1 $\mu$ l	0.5 $\mu$ l
10 $\mu$ M dNTPs	1 $\mu$ l	1 $\mu$ l
Phusion DNA polymerase	0.5 $\mu$ l	0.5 $\mu$ l
รวมทั้งหมด	50 $\mu$ l	50 $\mu$ l

จากนั้นเพิ่มจำนวนดีเอ็นเอด้วยเครื่อง Thermocycler (Axygen, USA) โดยกำหนดสภาวะ ดังต่อไปนี้

## ไพรเมอร์คู่ที่ 1

Initial denaturation	98 องศาเซลเซียส	30 วินาที	} 30 รอบ
Denaturation	98 องศาเซลเซียส	10 วินาที	
Annealing	52 องศาเซลเซียส	30 วินาที	
Extension	72 องศาเซลเซียส	1 นาที	
Final extension	72 องศาเซลเซียส	10 นาที	
Hold	15 องศาเซลเซียส	15 นาที	

## ไพรเมอร์คู่ที่ 2

Initial denaturation	98 องศาเซลเซียส	30 วินาที	} 30 รอบ
Denaturation	98 องศาเซลเซียส	10 วินาที	
Annealing	53.5 องศาเซลเซียส	30 วินาที	
Extension	72 องศาเซลเซียส	1 นาที	
Final extension	72 องศาเซลเซียส	10 นาที	
Hold	15 องศาเซลเซียส	15 นาที	

และตรวจสอบผลการเพิ่มจำนวนดีเอ็นเอด้วยเทคนิค Gel electrophoresis โดยนำผลิตภัณฑ์พีซีอาร์ที่ได้ มาตรวจสอบขนาดดีเอ็นเอบนแผ่นวุ้นอะกาโรส 0.8 เปอร์เซ็นต์ในสารละลายบัฟเฟอร์ 1X TBE โดยให้กระแสไฟฟ้าความต่างศักย์ 50 โวลต์ เป็นเวลา 45 นาทีและใช้ชิ้นส่วนดีเอ็นเอมาตรฐาน (DNA ladder) 1 kb เป็นตัวเปรียบเทียบ ตรวจสอบขนาดชิ้นส่วนดีเอ็นเอของผลิตภัณฑ์พีซีอาร์ที่ได้ภายใต้แสงจากหลอด LED โดยชิ้นส่วนดีเอ็นเอบริเวณยีน *ACC1* มีขนาด 6,801 bp ซึ่งชิ้นส่วนที่ได้จากการเพิ่มจำนวนดีเอ็นเอโดยไพรเมอร์คู่แรกมีขนาดเท่ากับ 3,356 bp และชิ้นส่วนที่ได้จากการเพิ่มจำนวนดีเอ็นเอโดยไพรเมอร์คู่ที่สองมีขนาดเท่ากับ 3,514 bp จากนั้นส่งไปวิเคราะห์ลำดับเบส (Pacific Science, Thailand)

3.6.2 เปรียบเทียบลำดับเบสของยีน *ACC1* สายพันธุ์ดั้งเดิมและสายพันธุ์กลายที่ได้รับจากการฉายรังสีแล้วถูกคัดเลือกด้วยการทำ sequence alignment โดยใช้ ClustalW algorithm

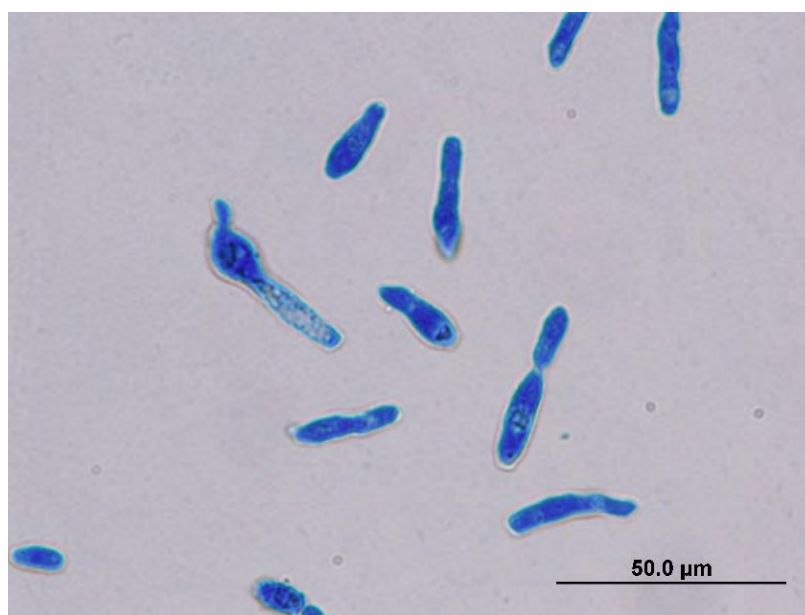
## บทที่ 4

### ผลการศึกษา

จากการศึกษาการเหนี่ยวนำให้เกิดการกลายแบบสุ่มของยีสต์ *Y. lipolytica* สายพันธุ์ YLNatXynA เพื่อเพิ่มประสิทธิภาพการผลิตไขมันโดยรังสีอัลตราไวโอเล็ต ได้ผลการทดลองดังนี้

#### 4.1 การศึกษาลักษณะสัณฐานวิทยาของ *Y. lipolytica* สายพันธุ์ YLNatXynA

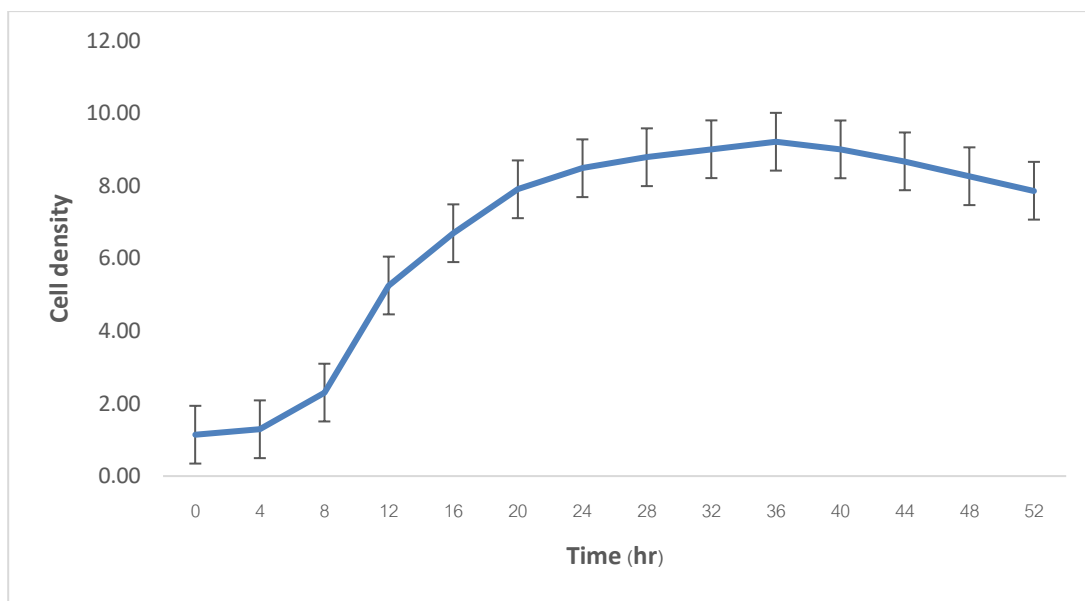
การศึกษาลักษณะสัณฐานวิทยา โดยการเลี้ยงเชื้อในอาหารเหลว YPD บ่มที่อุณหภูมิ 30 องศาเซลเซียส ความเร็วรอบ 200 รอบต่อนาที เป็นเวลา 2 วัน แล้วย้อมเซลล์ด้วยสีย้อมแลคโตฟีนอล คอตตอนบลู จากนั้นนำไปส่องภายใต้กล้องจุลทรรศน์กำลังขยายเลนส์ใกล้วัตถุ 100 เท่า พบว่า ยีสต์มีลักษณะเซลล์เดี่ยว (Single Cell) มีรูปร่างเซลล์ลักษณะเซลล์รูปร่างรี ปลายด้านหนึ่งมนและอีกด้านจะเรียวแหลมกว่าเล็กน้อย ดังภาพ 4.1



ภาพที่ 4.1 ลักษณะทางสัณฐานวิทยาของยีสต์ *Y. lipolytica* สายพันธุ์ YLNatXynA ที่เจริญบนอาหารเหลว YPD

#### 4.2 การศึกษากราฟการเติบโต (Growth Curve) ของยีสต์ *Y. lipolytica*

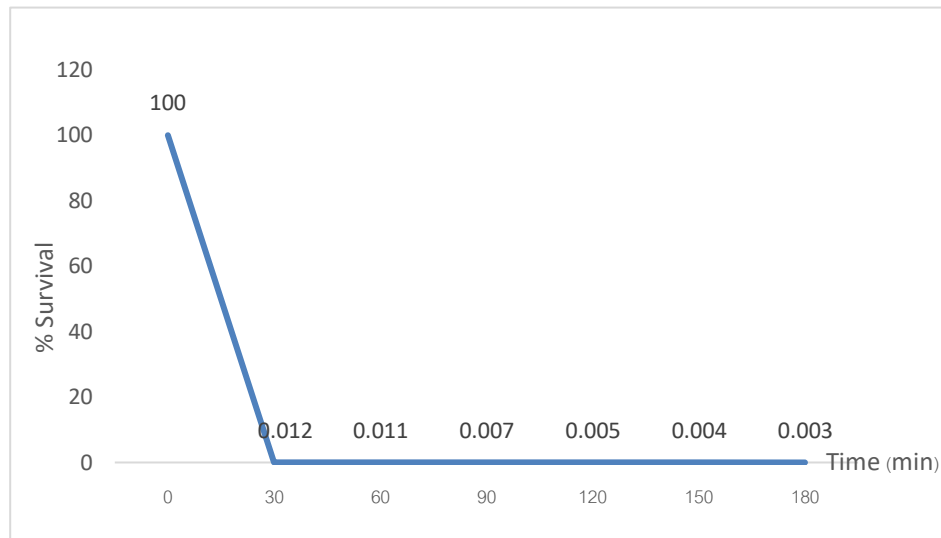
จากการศึกษากราฟการเติบโตของยีสต์ *Y. lipolytica* โดยเลี้ยงยีสต์ในอาหารเหลว YPD เป็นเวลา 52 ชั่วโมง และวัดค่า OD<sub>600</sub> ทุก 2 ชั่วโมง โดยกำหนดให้หัวเชื่อมมีค่า OD<sub>600</sub> เริ่มต้น เท่ากับ 0.2 พบว่า ระหว่างช่วงชั่วโมงที่ 8 ถึง 20 เชื้อมีการเติบโตอย่างรวดเร็ว เซลล์ยีสต์มีการเพิ่มจำนวนแบบ exponential ดังภาพที่ 4.2 และพบว่า mid exponential phase อยู่ในชั่วโมงที่ 16 ดังภาพที่ 4.2



ภาพที่ 4.2 กราฟการเติบโต (Growth Curve) ของยีสต์ *Y. lipolytica* สายพันธุ์ YLNatXynA

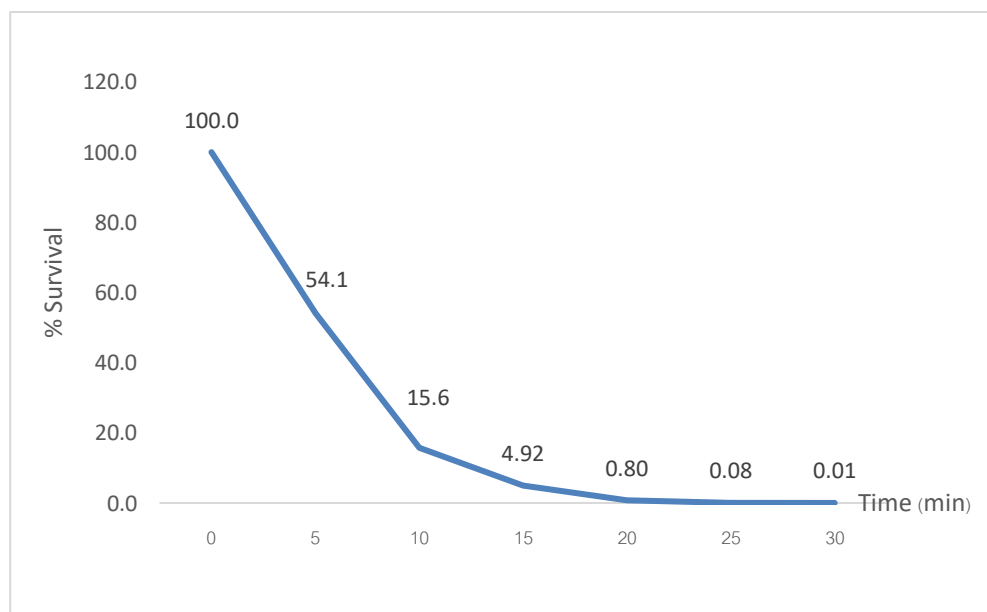
#### 4.3 การเหนี่ยวนำให้ยีสต์เกิดการกลายด้วยการฉายรังสีอัลตราไวโอเล็ต

นำสารแขวนลอยเซลล์ยีสต์ไปฉายรังสีในตู้ฉายรังสี ที่มีหลอด UV-C ความเข้มแสง 10 วัตต์ จำนวน 5 หลอด เป็นเวลา 0 30 60 90 120 150 และ 180 นาที โดยมีระยะห่างระหว่างจานเพาะเชื้อถึงหลอดฉายรังสี 22 เซนติเมตร ได้อัตราการอยู่รอดของเชื้อที่ได้รับการฉายรังสีอัลตราไวโอเล็ต คิดเป็นเปอร์เซ็นต์การอยู่รอด ได้แก่ 100 0.012 0.011 0.007 0.005 0.004 และ 0.003 ตามลำดับ ซึ่ง จะเห็นว่า การฉายรังสีเป็นเวลาแตกต่างกัน 0 30 60 90 120 150 และ 180 นาที ทำให้เชื้อมีอัตราการอยู่รอดต่ำกว่า 5 ถึง 10 เปอร์เซ็นต์ จึงต้องมีการปรับเปลี่ยนช่วงเวลาที่ใช้ในการฉายรังสี ซึ่งจาก ผลการทดลองจะเห็นว่า การฉายรังสีนาน 30 นาที เชื้อมีอัตราการอยู่รอด เท่ากับ 0.012 เปอร์เซ็นต์ ดังนั้น อัตราการอยู่รอดช่วง 5 ถึง 10 เปอร์เซ็นต์ จึงอยู่ในช่วง 0 ถึง 30 นาที ดังภาพที่ 4.3



ภาพที่ 4.3 กราฟอัตราการอยู่รอดของยีสต์ *Y. lipolytica* สายพันธุ์ *YLNatXynA* หลังได้รับการฉายรังสีอัลตราไวโอเล็ตที่ระยะเวลา 0 30 60 90 120 150 และ 180 นาที

นำสารแขวนลอยเซลล์ยีสต์ไปฉายรังสีในตู้ฉายรังสี ที่มีหลอด UV-C ความเข้มแสง 10 วัตต์ จำนวน 5 หลอด เป็นเวลา 0 5 10 15 20 25 และ 30 นาที โดยมีระยะห่างระหว่างจานเพาะเชื้อถึงหลอดฉายรังสี 22 เซนติเมตร ได้อัตราการอยู่รอดของเชื้อที่ได้รับการฉายรังสีอัลตราไวโอเล็ต คิดเป็นเปอร์เซ็นต์การอยู่รอด ได้แก่ 100 54.1 15.6 4.92 0.80 0.08 และ 0.01 ตามลำดับ ดังภาพที่ 4.4

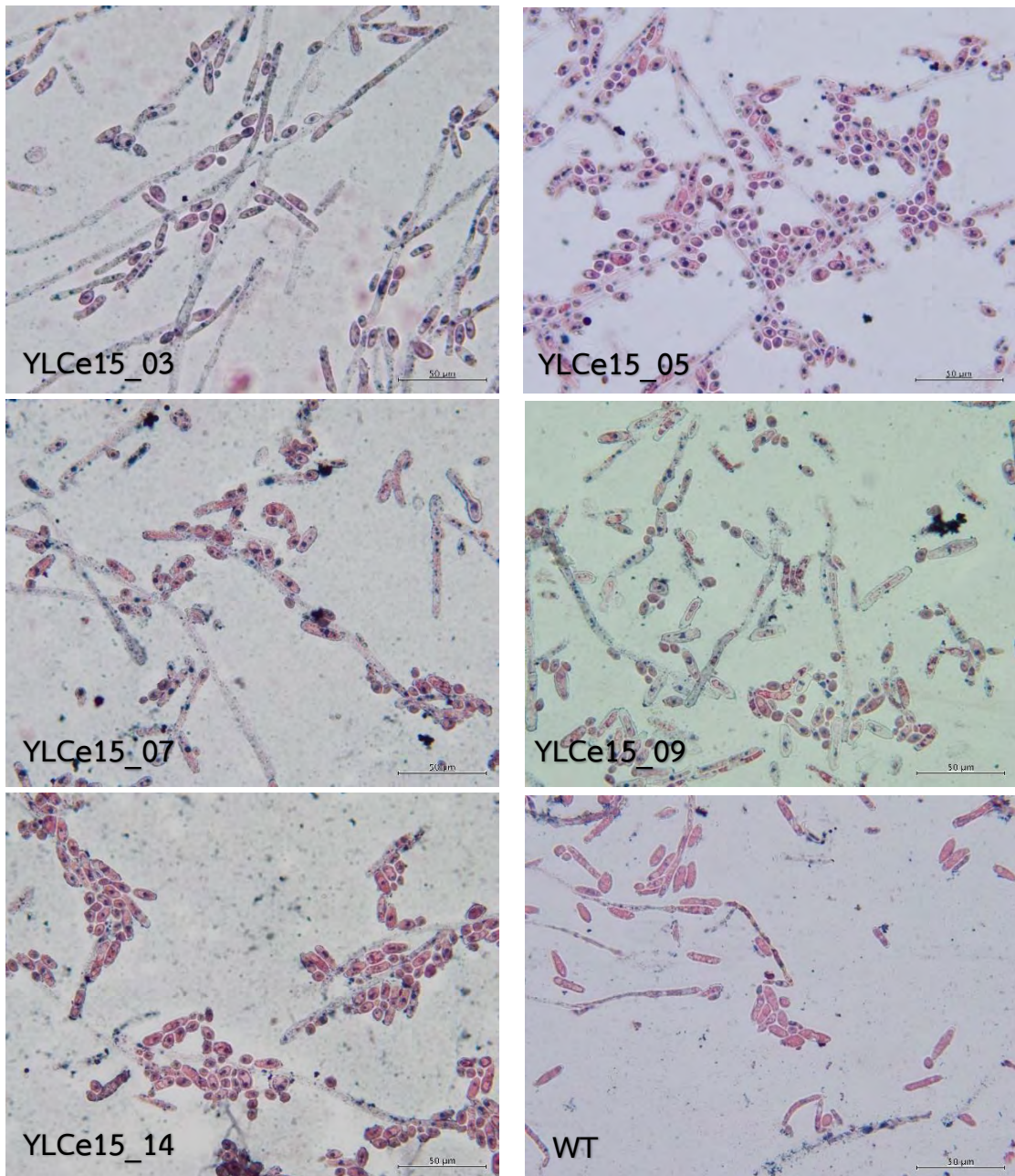


ภาพที่ 4.4 กราฟอัตราการอยู่รอดของยีสต์ *Y. lipolytica* สายพันธุ์ *YLNatXynA* หลังได้รับการฉายรังสีอัลตราไวโอเล็ตที่ระยะเวลา 0 5 10 15 20 25 และ 30 นาที



#### 4.4 การคัดเลือกโดยใช้ cerulenin screening และเปรียบเทียบประสิทธิภาพการผลิตไขมันในยีสต์ที่ได้รับการฉายรังสีที่ระยะเวลาต่าง ๆ

นำเชื้อที่ได้รับการฉายรังสีอัตราไวโอเล็ตเป็นเวลา 15 นาที (มีอัตราการอยู่รอดอยู่ในช่วง 5-10 เปอร์เซ็นต์) มาเลี้ยงบนอาหารแข็ง YPD ที่มี cerulenin ความเข้มข้น 2 µg/ml (Tipia et al., 2012) เพื่อคัดเลือกลำเชื้อที่สามารถเจริญได้บนอาหารที่มี cerulenin ผสมอยู่ จากการทดลองพบว่า มียีสต์สายพันธุ์กลายเจริญบนอาหารแข็ง YPD ที่มี cerulenin ผสมอยู่ทั้งหมด 60 ไอโซเลท แต่จากการทดลองนี้ไม่สามารถคัดเลือกเชื้อสายพันธุ์กลายจากการวิเคราะห์ความสามารถในการเจริญบนอาหารดังกล่าวได้ เนื่องจากพบว่ามีเชื้อสายพันธุ์ดั้งเดิม ซึ่งเป็นชุดการทดลองควบคุมผลลบ ทั้งหมด 20 ไอโซเลท เจริญได้บนอาหารแข็ง YPD ที่มี cerulenin ผสมอยู่เช่นกัน เนื่องจากการคัดเลือกด้วยวิธี cerulenin screening ไม่สามารถคัดเลือกเชื้อสายพันธุ์กลายได้ จึงต้องคัดเลือกสายพันธุ์กลายด้วยวิธี oil droplet screening โดยใช้สีย้อม Sudan black B เพื่อคัดเลือกลำสายพันธุ์ที่มีการผลิตไขมันมากขึ้น เมื่อเปรียบเทียบกับสายพันธุ์ดั้งเดิม โดยคัดเลือกตัวอย่างแบบสุ่มมาทั้งหมด 20 ไอโซเลท จากทั้งหมด 60 ไอโซเลท จากนั้นนำเชื้อทั้ง 20 ไอโซเลทมาเลี้ยงในอาหาร Lipid production medium เพื่อเปรียบเทียบคุณสมบัติของ oil droplet ภายในเซลล์ของเชื้อแต่ละไอโซเลท พบว่ามีเชื้อสายพันธุ์กลายทั้งหมด 5 ไอโซเลท ที่มีสัดส่วนของ oil droplet สูงที่สุด เมื่อเปรียบเทียบกับทั้งหมด 20 ไอโซเลท ได้แก่ YLCe15\_03 YLCe15\_05 YLCe15\_07 YLCe15\_09 และ YLCe15\_14 คือ มีการติดสีน้ำเงินเข้มของสีย้อม Sudan black B ซึ่งมีความจำเพาะต่อการย้อมเซลล์เพื่อดูการสะสมไขมัน ดังภาพ 4.5



ภาพที่ 4.5 ยีสต์ *Y. lipolytica* ไอโซเลท YLCe15\_03 YLCe15\_05 YLCe15\_07 YLCe15\_09 และ YLCe15\_14 หลังจากย้อมสีเซลล์ยีสต์ด้วยวิธี Sudan black B staining เปรียบเทียบกับเซลล์ยีสต์สายพันธุ์ดั้งเดิม (WT)

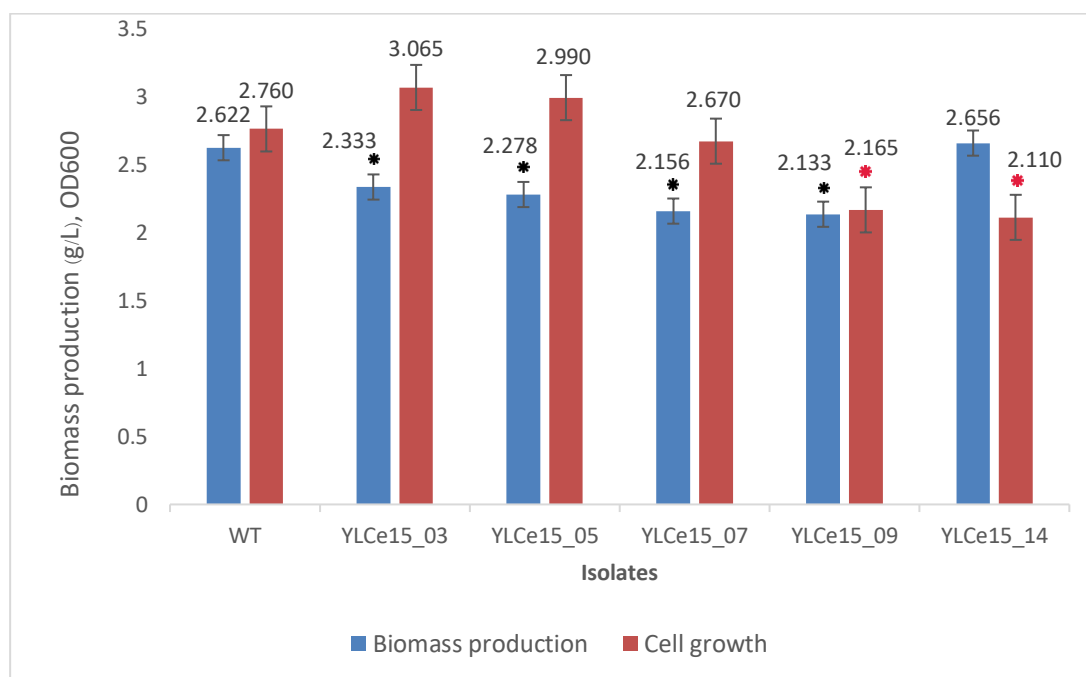
#### 4.4.1 วัดการเจริญเติบโต

จากการวัดการเจริญเติบโตเซลล์ยีสต์ทั้ง 5 ไอโซเลท พบว่า ไอโซเลท YLCe\_03 YLCe15\_05 YLCe\_07 YLCe15\_09 และ YLCe15\_14 มีค่า OD<sub>600</sub> เฉลี่ยเท่ากับ 3.065 2.990 2.670 2.165 และ 2.110 ตามลำดับ ในขณะที่สายพันธุ์ดั้งเดิม (WT) มีค่าเท่ากับ 2.760 ซึ่งจะเห็นว่า เซลล์ยีสต์สายพันธุ์กลาย 2 สายพันธุ์ ได้แก่ YLCe15\_09 และ YLCe15\_14 มีการเจริญเติบโต (Cell

Growth) ลดลงจากสายพันธุ์ดั้งเดิมอย่างมีนัยสำคัญ ส่วน 3 ไอโซเลทที่เหลือ ได้แก่ YLCe15\_03 YLCe15\_05 และ YLCe15\_07 ไม่แตกต่างจากสายพันธุ์ดั้งเดิมอย่างมีนัยสำคัญทางสถิติ ดังภาพ 4.6

#### 4.4.2 วัดชีวมวล

จากการวัดชีวมวลเซลล์ยีสต์ทั้ง 5 ไอโซเลท พบว่า ไอโซเลท YLCe15\_03 YLCe15\_05 YLCe15\_07 YLCe15\_09 และ YLCe15\_14 มีน้ำหนักชีวมวล (Biomass Production) เฉลี่ยเท่ากับ 2.333 2.278 2.156 2.133 และ 2.656 กรัมต่อลิตร ตามลำดับ ในขณะที่สายพันธุ์ดั้งเดิม (WT) มีค่าเท่ากับ 2.622 กรัมต่อลิตร ซึ่งจะเห็นว่า เซลล์ยีสต์สายพันธุ์กลายจำนวน 4 ไอโซเลท ได้แก่ YLCe15\_03 YLCe15\_05 YLCe15\_07 และ YLCe15\_09 มีน้ำหนักชีวมวลลดลงจากสายพันธุ์ดั้งเดิม และเมื่อวิเคราะห์ผลทางสถิติ พบว่า ทั้ง 4 ไอโซเลทมีน้ำหนักชีวมวลลดลงอย่างมีนัยสำคัญทางสถิติ เมื่อเปรียบเทียบกับสายพันธุ์ดั้งเดิม ส่วนไอโซเลท YLCe15\_14 มีน้ำหนักชีวมวลเฉลี่ยเพิ่มขึ้นจากสายพันธุ์ดั้งเดิม แต่ไม่มีนัยสำคัญทางสถิติ ดังภาพ 4.6

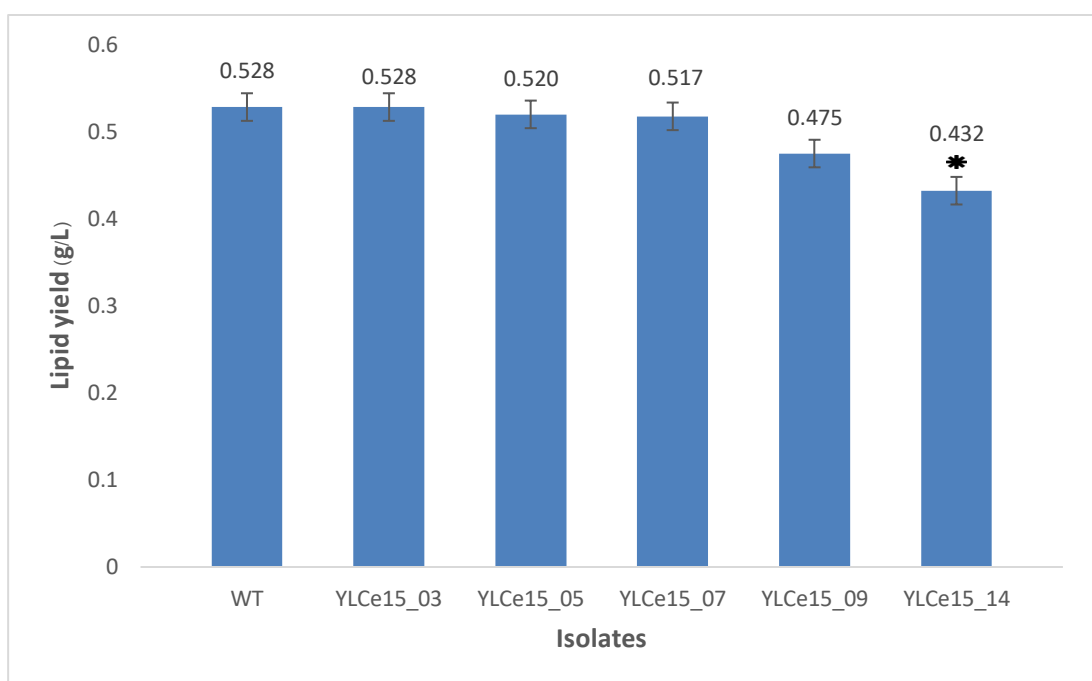


ภาพที่ 4.6 กราฟค่าเฉลี่ยน้ำหนักชีวมวล (Biomass Production) และค่าเฉลี่ยการเจริญเติบโต (Cell Growth) ของยีสต์ *Y. lipolytica* ไอโซเลท YLCe15\_03 YLCe15\_05 YLCe15\_07 YLCe15\_09 และ YLCe15\_14 เปรียบเทียบกับสายพันธุ์ดั้งเดิม (WT)

\* \* แสดงผลการทดลองที่มีความแตกต่างกันอย่างมีนัยสำคัญทางสถิติเมื่อเทียบกับสายพันธุ์ดั้งเดิม (WT) ที่ระดับความเชื่อมั่น 95% ( $P < 0.05$ )

#### 4.4.3 สกัดและวัดปริมาณไขมัน

ทำการสกัดและวัดปริมาณไขมัน (Bligh and Dyer, 1959) จากเซลล์ยีสต์ทั้ง 5 ไอโซเลท ได้แก่ YLCe15\_03 YLCe15\_05 YLCe15\_07 YLCe15\_09 และ YLCe15\_14 จากการทดลองพบว่า ยีสต์ ไอโซเลท YLCe15\_03 มีค่าเฉลี่ยผลผลิตไขมัน (Lipid Yield) เท่ากับ 0.528 กรัมต่อลิตร ซึ่งมีปริมาณค่าเฉลี่ยผลผลิตไขมัน (Lipid Yield) เท่ากับยีสต์สายพันธุ์ดั้งเดิม แต่พบว่ายีสต์ไอโซเลท YLCe15\_05 YLCe15\_07 YLCe15\_09 และ YLCe15\_14 มีค่าเฉลี่ยผลผลิตไขมัน (Lipid Yield) ลดลงเมื่อเปรียบเทียบกับสายพันธุ์ดั้งเดิม (0.520 0.517 0.475 และ 0.432 กรัมต่อลิตร ตามลำดับ) เมื่อวิเคราะห์ผลทางสถิติ พบว่า มีเพียงไอโซเลท YLCe15\_14 ที่มีค่าเฉลี่ยผลผลิตไขมันลดลงอย่างมีนัยสำคัญทางสถิติ เมื่อเปรียบเทียบกับสายพันธุ์ดั้งเดิม

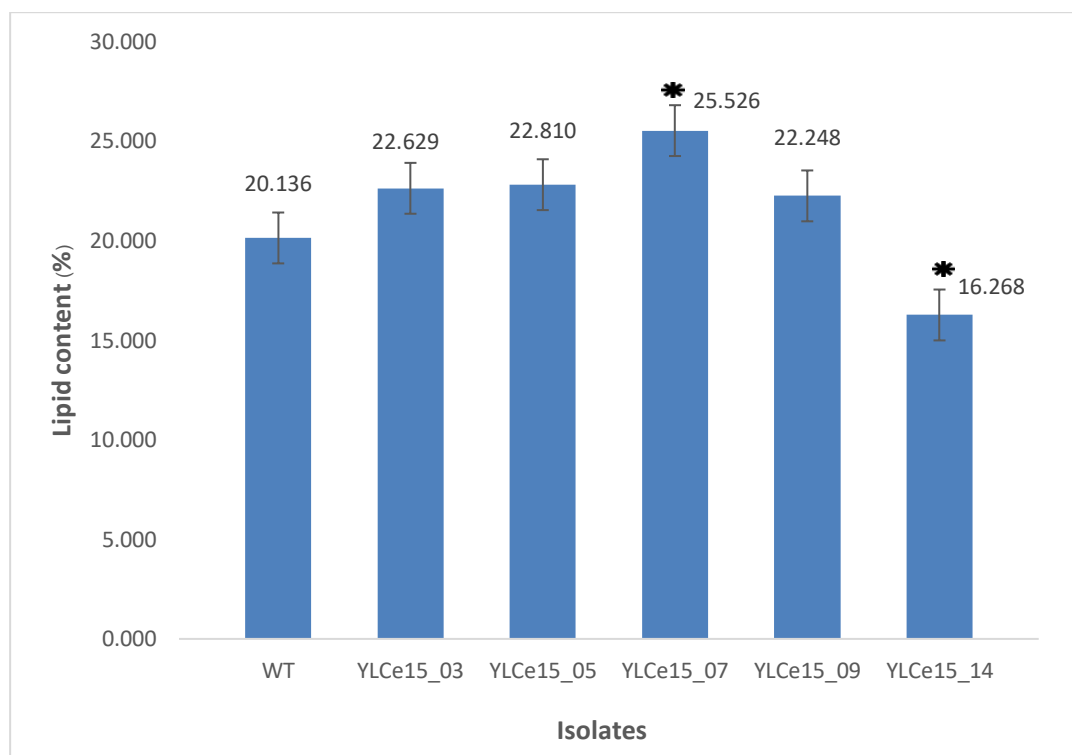


ภาพที่ 4.7 กราฟค่าเฉลี่ยผลผลิตไขมัน (Lipid Yield) ของยีสต์ *Y. lipolytica* ไอโซเลท YLCe15\_03 YLCe15\_05 YLCe15\_07 YLCe15\_09 และ YLCe15\_14 เปรียบเทียบกับสายพันธุ์ดั้งเดิม (WT)

\* แสดงผลการทดลองที่มีความแตกต่างกันอย่างมีนัยสำคัญทางสถิติเมื่อเทียบกับสายพันธุ์ดั้งเดิม (WT) ที่ระดับความเชื่อมั่น 95% ( $P \leq 0.05$ )

ผลจากการวิเคราะห์น้ำหนักชีวมวลและผลผลิตไขมันของยีสต์ *Y. lipolytica* ทั้ง 5 ไอโซเลท ได้แก่ YLCe15\_03 YLCe15\_05 YLCe15\_07 YLCe15\_09 และ YLCe15\_14 สามารถนำมาวิเคราะห์ดูปริมาณไขมัน (Lipid Content) ได้ค่าเฉลี่ยเท่ากับ 22.629 22.810 25.526 22.248 และ 16.268 เปอร์เซ็นต์ ตามลำดับ ส่วนสายพันธุ์ดั้งเดิมมีปริมาณไขมันเฉลี่ยเท่ากับ 20.136 เปอร์เซ็นต์ เมื่อวิเคราะห์ผลทางสถิติ พบว่า ไอโซเลท YLCe15\_07 มีปริมาณไขมันสูงกว่า เมื่อเทียบกับสายพันธุ์

ดั้งเดิมอย่างมีนัยสำคัญ ส่วนไอโซเลท YLCe15\_14 มีปริมาณไขมันลดลง เมื่อเทียบกับสายพันธุ์ดั้งเดิมอย่างมีนัยสำคัญทางสถิติ ในขณะที่อีก 3 ไอโซเลท ได้แก่ YLCe15\_03 YLCe15\_05 และ YLCe15\_09 มีปริมาณไขมันไม่แตกต่างจากสายพันธุ์ดั้งเดิมอย่างมีนัยสำคัญ ดังภาพ 4.8



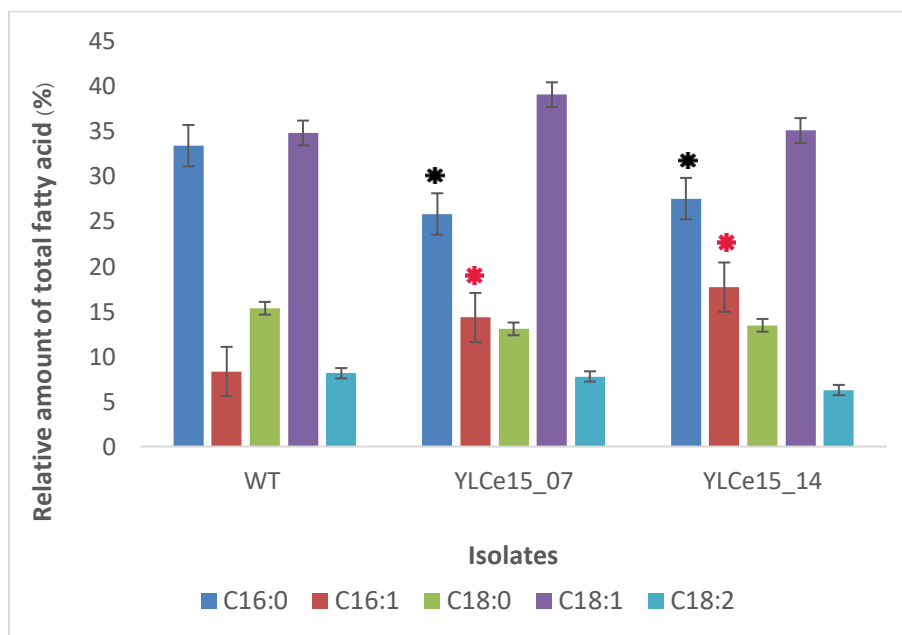
ภาพที่ 4.8 กราฟค่าเฉลี่ยปริมาณไขมัน (Lipid Content) ของยีสต์ *Y. lipolytica* ไอโซเลท YLCe15\_03 YLCe15\_05 YLCe15\_07 YLCe15\_09 และ YLCe15\_14 เปรียบเทียบกับสายพันธุ์ดั้งเดิม (WT)

\* แสดงผลการทดลองที่มีความแตกต่างกันอย่างมีนัยสำคัญทางสถิติเมื่อเทียบกับสายพันธุ์ดั้งเดิม (WT) ที่ระดับความเชื่อมั่น 95% ( $P \leq 0.05$ )

#### 4.4.4 วัตถุประสงค์ส่วนของกรดไขมัน

จากผลการวัดปริมาณไขมัน (Lipid Content) ดังภาพที่ 4.8 จะเห็นว่า มีเพียง 2 ไอโซเลท คือ YLCe15\_07 และ YLCe15\_14 ที่มีปริมาณไขมันแตกต่างจากสายพันธุ์ดั้งเดิมอย่างมีนัยสำคัญ จึงคัดเลือกทั้ง 2 ไอโซเลทมาวิเคราะห์องค์ประกอบของกรดไขมัน (Fatty Acid Composition) ที่ผลิตโดยยีสต์สายพันธุ์กลาย ไอโซเลท YLCe15\_07 และ YLCe15\_14 เปรียบเทียบกับสายพันธุ์ดั้งเดิมพบว่าทั้ง 3 ไอโซเลทประกอบด้วยชนิดกรดไขมันที่เหมือนกัน ได้แก่ กรดกรดปาล์มิติก (C16:0) กรดปาล์มิโตเลอิก (C16:1) กรดสเตียริก (C18:0) กรดโอเลอิก (C18:1) และกรดไลโนเลอิก (C18:2) แต่มีสัดส่วนของกรดไขมันที่แตกต่างกัน คือ ไอโซเลท YLCe15\_07 มีสัดส่วนของกรดไขมันปาล์มิติก (C16:0) 25.81 เปอร์เซ็นต์ กรดปาล์มิโตเลอิก (C16:1) 14.31 เปอร์เซ็นต์ กรดสเตียริก (C18:0)

13.06 เปอร์เซ็นต์ กรดโอเลอิก (C18:1) 39.04 เปอร์เซ็นต์ และกรดไลโนเลอิก (C18:2) 7.78 เปอร์เซ็นต์ ส่วนไอโซเลท YLCe15\_14 มีสัดส่วนของกรดไขมันพาล์มิติก (C16:0) 27.52 เปอร์เซ็นต์ กรดพาล์มิโตเลอิก (C16:1) 17.69 เปอร์เซ็นต์ กรดสเตียริก (C18:0) 13.45 เปอร์เซ็นต์ กรดโอเลอิก (C18:1) 35.07 เปอร์เซ็นต์ และกรดไลโนเลอิก (C18:2) 6.27 เปอร์เซ็นต์ ในขณะที่สายพันธุ์ดั้งเดิมมีสัดส่วนของกรดไขมันพาล์มิติก (C16:0) 33.39 เปอร์เซ็นต์ กรดพาล์มิโตเลอิก (C16:1) 8.33 เปอร์เซ็นต์ กรดสเตียริก (C18:0) 15.35 เปอร์เซ็นต์ กรดโอเลอิก (C18:1) 34.80 เปอร์เซ็นต์ และกรดไลโนเลอิก (C18:2) 8.14 เปอร์เซ็นต์ ซึ่งจะเห็นว่า แนวโน้มสัดส่วนของกรดไขมันของสายพันธุ์กลายทั้งสองไอโซเลทเป็นไปในทิศทางเดียวกัน แต่เมื่อเปรียบเทียบระหว่างสายพันธุ์กลายทั้งสองไอโซเลทและสายพันธุ์ดั้งเดิม พบว่า สายพันธุ์กลายทั้งสองไอโซเลทมีสัดส่วนของกรดพาล์มิติก (C16:0) ลดลงจากสายพันธุ์ดั้งเดิม และมีสัดส่วนของกรดพาล์มิโตเลอิก (C16:1) เพิ่มขึ้นจากสายพันธุ์ดั้งเดิม ส่วนกรดสเตียริก (C18:0) กรดโอเลอิก (C18:1) และกรดไลโนเลอิก (C18:2) มีสัดส่วนที่ไม่แตกต่างจากสายพันธุ์ดั้งเดิม ดังภาพ 4.9



ภาพที่ 4.9 กราฟชนิดและสัดส่วนของกรดไขมัน (Fatty Acid Profile) ของยีสต์ *Y. lipolytica* ไอโซเลท YLCe15\_07 และ YLCe15\_14 เปรียบเทียบกับสายพันธุ์ดั้งเดิม (WT)

\* \*\* แสดงผลการทดลองที่มีความแตกต่างกันอย่างมีนัยสำคัญทางสถิติเมื่อเทียบกับสายพันธุ์ดั้งเดิม (WT) ที่ระดับความเชื่อมั่น 95% ( $P \leq 0.05$ )

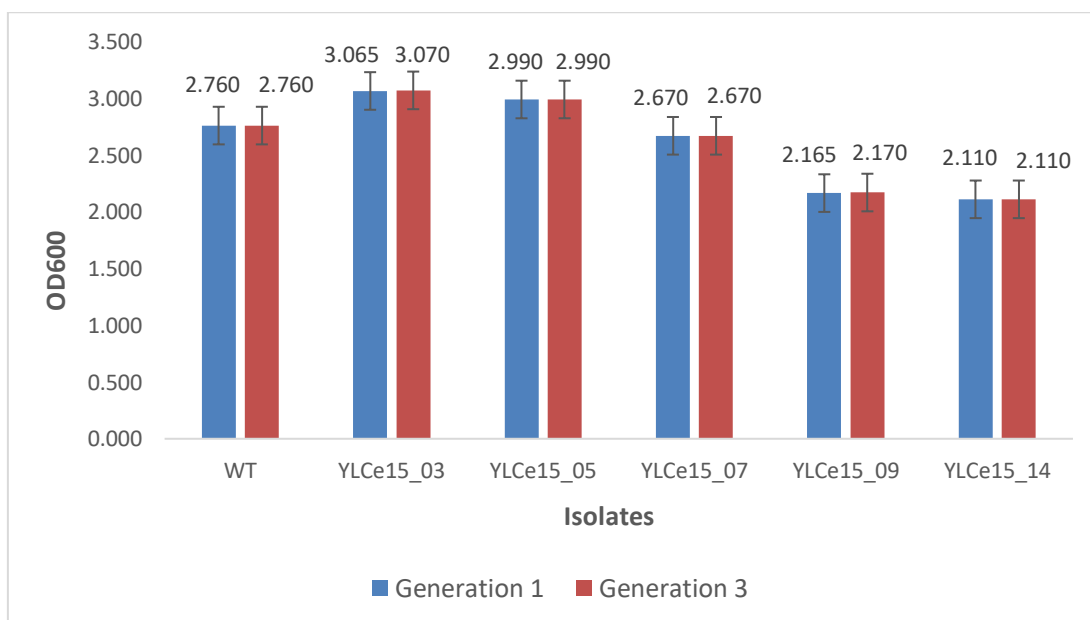
4.5 การทดสอบความเสถียรในการผลิตไขมันของไอโซเลทที่คัดเลือกเป็นเวลา 3 รุ่น และทดสอบลักษณะพื้นฐานวิทยาเปรียบเทียบกับสายพันธุ์ดั้งเดิม

#### 4.5.1 ทดสอบความเสถียรในการผลิตไขมันของไอโซเลทที่คัดเลือกเป็นเวลา 3 รุ่นเปรียบเทียบระหว่างการผลิตไขมันของไอโซเลทที่คัดเลือกในรุ่นที่ 1 และไอโซเลทที่คัดเลือกในรุ่นที่ 3

ผลจากการนำยีสต์ *Y. lipolytica* สายพันธุ์กลายทั้ง 5 ไอโซเลท ได้แก่ YLCe15\_03 YLCe15\_05 YLCe15\_07 YLCe15\_09 และ YLCe15\_14 มาทดสอบความเสถียรในการผลิตไขมัน โดยเลี้ยงเชื้อจนได้รุ่นที่ 3 จากนั้น วัดการเจริญเติบโต วัดชีวมวล สกัดและวัดปริมาณไขมัน และวัดสัดส่วนของกรดไขมัน เปรียบเทียบกับเชื้อสายพันธุ์เดียวกันในรุ่นที่ 1

##### 4.5.1.1 วัดการเจริญเติบโต

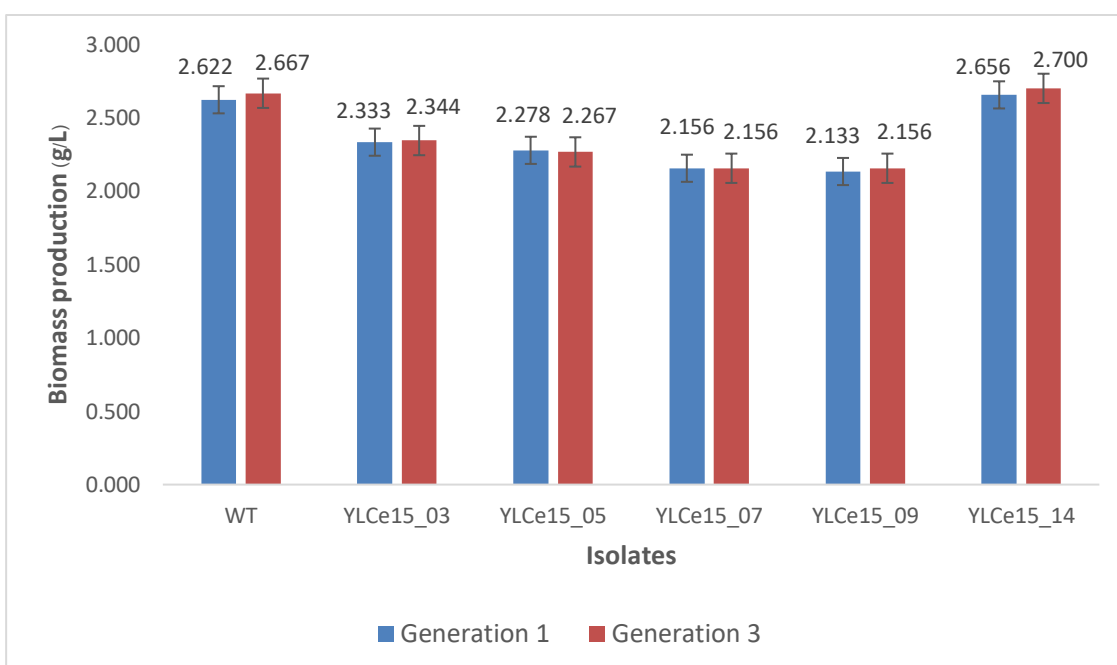
ผลการเปรียบเทียบการเจริญเติบโตของเชื้อสายพันธุ์กลายทั้ง 5 ไอโซเลท ได้แก่ YLCe15\_03 YLCe15\_05 YLCe15\_07 YLCe15\_09 และ YLCe15\_14 ในเชื้อรุ่นที่ 1 เปรียบเทียบกับรุ่นที่ 3 พบว่า ค่า OD<sub>600</sub> ของยีสต์ *Y. lipolytica* สายพันธุ์กลายทั้ง 5 ไอโซเลท ในรุ่นที่ 3 มีค่าเฉลี่ยเท่ากับ 3.070 2.990 2.670 2.170 และ 2.110 ตามลำดับ ส่วนสายพันธุ์ดั้งเดิมมีค่าเท่ากับ 2.760 ซึ่งเมื่อเปรียบเทียบกับค่า OD<sub>600</sub> ของเซลล์ยีสต์ไอโซเลทเดียวกันในรุ่นที่ 1 พบว่า เชื้อสายพันธุ์กลายทั้ง 5 ไอโซเลท มีการเจริญเติบโตเฉลี่ยไม่แตกต่างกันระหว่างรุ่นอย่างมีนัยสำคัญทางสถิติ แสดงให้เห็นว่า ยีสต์ *Y. lipolytica* สายพันธุ์กลายทั้ง 5 ไอโซเลทมีความเสถียรในการเจริญเติบโต ดังภาพ 4.10



ภาพที่ 4.10 กราฟค่า OD<sub>600</sub> เฉลี่ยของยีสต์ *Y. lipolytica* สายพันธุ์ดั้งเดิม (WT) ไอโซเลท YLCe15\_03 YLCe15\_05 YLCe15\_07 YLCe15\_09 และ YLCe15\_14 เปรียบเทียบระหว่างเชื้อรุ่นที่ 1 และรุ่นที่ 3

#### 4.5.1.2 วัดชีวมวล

ผลการเปรียบเทียบชีวมวลของเชื้อสายพันธุ์กลายทั้ง 5 ไอโซเลท ได้แก่ YLCe15\_03 YLCe15\_05 YLCe15\_07 YLCe15\_09 และ YLCe15\_14 ในเชื้อรุ่นที่ 1 เปรียบเทียบกับรุ่นที่ 3 พบว่า น้ำหนักชีวมวลของยีสต์ *Y. lipolytica* สายพันธุ์กลายทั้ง 5 ไอโซเลท ในรุ่นที่ 3 มีค่าเฉลี่ยเท่ากับ 2.344 2.267 2.156 2.156 และ 2.700 กรัมต่อลิตร ตามลำดับ ส่วนสายพันธุ์ดั้งเดิมมีค่าเท่ากับ 2.667 กรัมต่อลิตร ซึ่งเมื่อเปรียบเทียบกับน้ำหนักชีวมวลของเซลล์ยีสต์ไอโซเลทเดียวกันในรุ่นที่ 1 พบว่า เชื้อสายพันธุ์กลายทั้ง 5 ไอโซเลท มีน้ำหนักชีวมวลเฉลี่ยไม่แตกต่างกันระหว่างรุ่นอย่างมีนัยสำคัญทางสถิติ แสดงให้เห็นว่า ยีสต์ *Y. lipolytica* สายพันธุ์กลายทั้ง 5 ไอโซเลทมีความเสถียรในการผลิตชีวมวล ดังภาพ 4.11



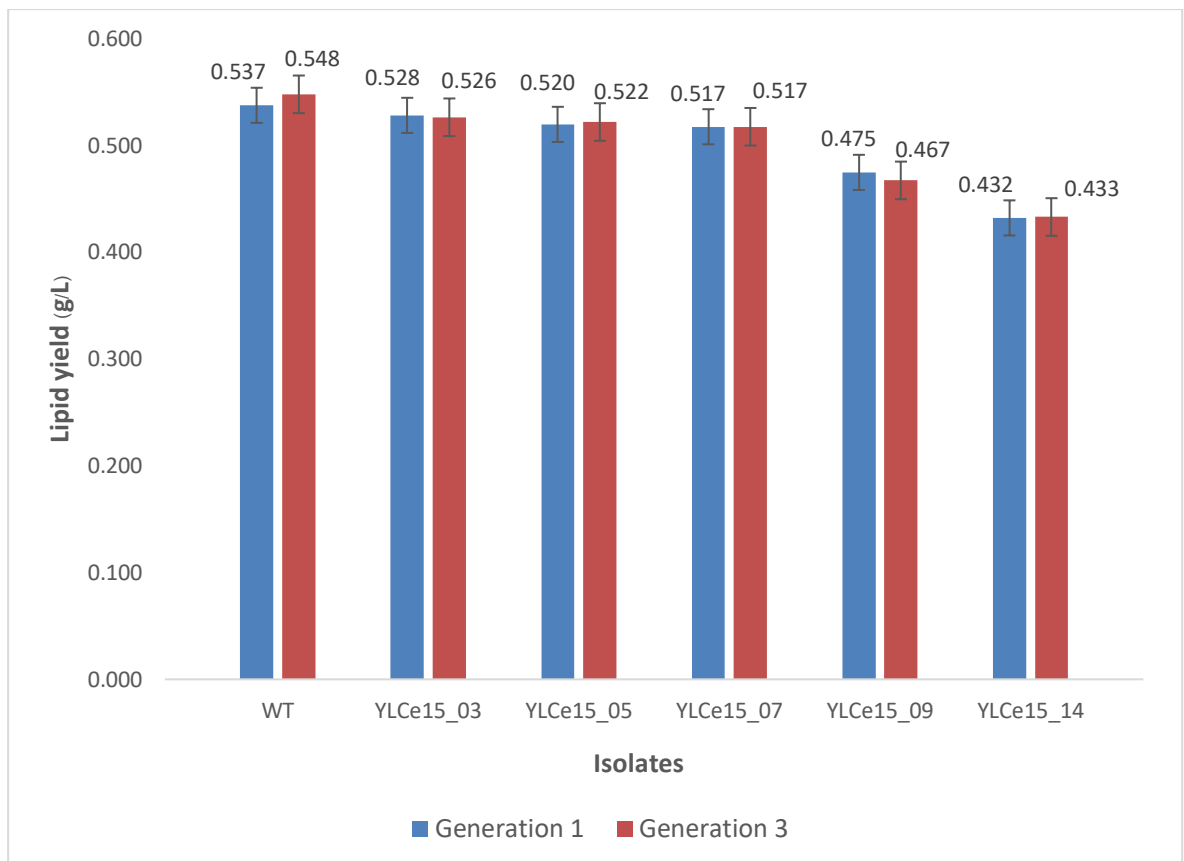
ภาพที่ 4.11 กราฟค่าเฉลี่ยน้ำหนักชีวมวล (Biomass Production) ของยีสต์ *Y. lipolytica* สายพันธุ์ดั้งเดิม (WT) ไอโซเลท YLCe15\_03 YLCe15\_05 YLCe15\_07 YLCe15\_09 และ YLCe15\_14 เปรียบเทียบระหว่างเชื้อรุ่นที่ 1 และรุ่นที่ 3

#### 4.5.1.3 สกัดและวัดปริมาณไขมัน

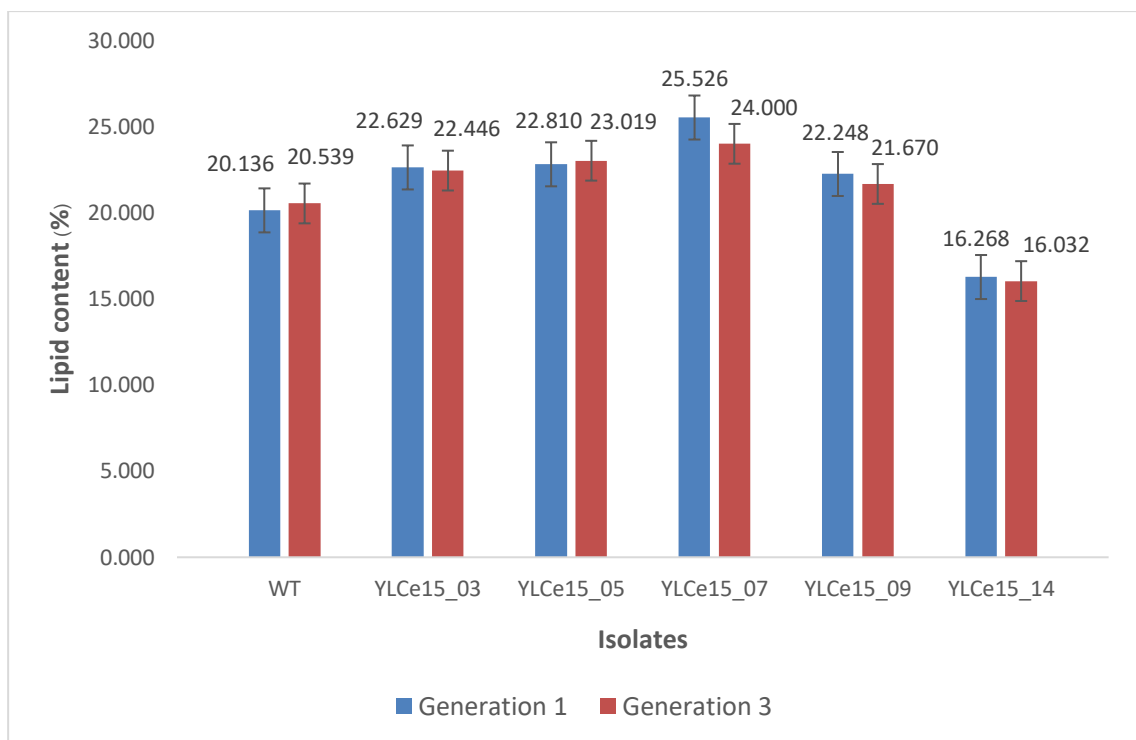
ผลการเปรียบเทียบผลผลิตไขมันของเชื้อสายพันธุ์กลายทั้ง 5 ไอโซเลท ได้แก่ YLCe15\_03 YLCe15\_05 YLCe15\_07 YLCe15\_09 และ YLCe15\_14 ในเชื้อรุ่นที่ 1 เปรียบเทียบกับรุ่นที่ 3 พบว่า ผลผลิตไขมัน (Lipid Yield) ของยีสต์ *Y. lipolytica* สายพันธุ์กลายทั้ง 5 ไอโซเลท ในรุ่นที่ 3 มีค่าเฉลี่ยเท่ากับ 0.526 0.522 0.512 0.467 และ 0.432 กรัมต่อลิตร ตามลำดับ ส่วนสายพันธุ์ดั้งเดิมมีค่าเท่ากับ 0.548 กรัมต่อลิตร ซึ่งเมื่อเปรียบเทียบกับน้ำหนักชีวมวลของเซลล์ยีสต์ไอโซเลทเดียวกันในรุ่นที่ 1 พบว่า เชื้อสายพันธุ์กลายทั้ง 5 ไอโซเลท มีค่าเฉลี่ยผลผลิตไขมันไม่แตกต่างกัน



ระหว่างรุ่นอย่างมีนัยสำคัญทางสถิติ แสดงให้เห็นว่า ยีสต์ *Y. lipolytica* สายพันธุ์กลายทั้ง 5 ไอโซเลทมีความเสถียรของผลผลิตไขมัน ดังภาพ 4.12 ซึ่งเมื่อนำน้ำหมักชีวมวลและผลผลิตไขมันมาวิเคราะห์เพื่อดูปริมาณไขมัน พบว่า ยีสต์ *Y. lipolytica* สายพันธุ์กลายทั้ง 5 ไอโซเลท มีค่าเฉลี่ยปริมาณไขมันที่ไม่แตกต่างกันระหว่างรุ่นอย่างมีนัยสำคัญทางสถิติ กล่าวคือ เชื้อสายพันธุ์กลายทั้ง 5 ไอโซเลทมีความเสถียรในการผลิตไขมัน ดังภาพ 4.13



ภาพที่ 4.12 กราฟค่าเฉลี่ยผลผลิตไขมัน (Lipid Yield) ของยีสต์ *Y. lipolytica* สายพันธุ์ดั้งเดิม (WT) ไอโซเลท YLCe15\_03 YLCe15\_05 YLCe15\_07 YLCe15\_09 และ YLCe15\_14 เปรียบเทียบระหว่างเชื้อรุ่นที่ 1 และรุ่นที่ 3



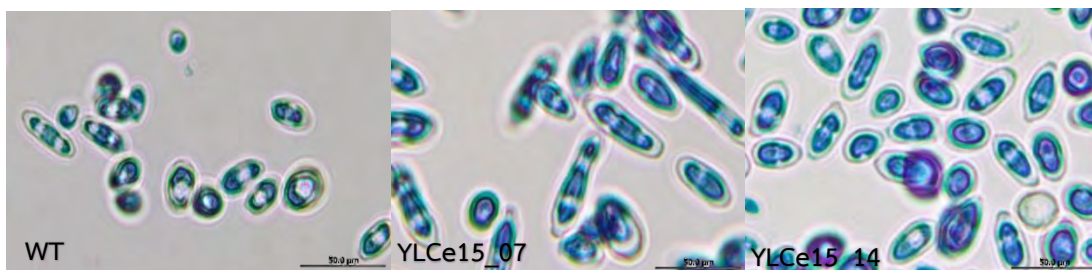
ภาพที่ 4.13 กราฟค่าเฉลี่ยปริมาณไขมัน (Lipid Content) ของยีสต์ *Y. lipolytica* สายพันธุ์ดั้งเดิม (WT) ไอโซเลท YLCe15\_03 YLCe15\_05 YLCe15\_07 YLCe15\_09 และ YLCe15\_14 เปรียบเทียบระหว่างเชื้อรุ่นที่ 1 และรุ่นที่ 3

#### 4.5.1.4 วัดสัดส่วนของกรดไขมัน

ผลการเปรียบเทียบชนิดและสัดส่วนของกรดไขมันของเชื้อสายพันธุ์กลายทั้ง 2 ไอโซเลท ได้แก่ YLCe15\_07 และ YLCe15\_14 ในเชื้อรุ่นที่ 1 เปรียบเทียบกับรุ่นที่ 3 พบว่า ชนิดกรดไขมันของยีสต์ *Y. lipolytica* สายพันธุ์กลายทั้ง 2 ไอโซเลทและสายพันธุ์ดั้งเดิมต่างประกอบด้วยกรดปาล์มิติก (C16:0) กรดปาล์มิโตเลอิก (C16:1) กรดสเตียริก (C18:0) กรดโอเลอิก (C18:1) และกรดไลโนเลอิก (C18:2) ซึ่งเมื่อเปรียบเทียบกับชนิดกรดไขมันของเซลล์ยีสต์ไอโซเลทเดียวกันในรุ่นที่ 1 พบว่า เชื้อสายพันธุ์กลายทั้ง 2 ไอโซเลท มีชนิดกรดไขมันไม่แตกต่างกันระหว่างรุ่น แสดงให้เห็นว่า ยีสต์ *Y. lipolytica* สายพันธุ์กลายทั้ง 2 ไอโซเลทมีความเสถียรในการผลิตกรดไขมันแต่ละชนิด

#### 4.5.2 ทดสอบลักษณะสัณฐานวิทยาของไอโซเลทที่คัดเลือกเป็นเวลา 3 รุ่น เปรียบเทียบกับสายพันธุ์ดั้งเดิม

ผลการเปรียบเทียบลักษณะสัณฐานวิทยาของเชื้อสายพันธุ์กลายทั้ง 2 ไอโซเลท ได้แก่ YLCe15\_07 และ YLCe15\_14 รุ่นที่ 3 เปรียบเทียบกับสายพันธุ์ดั้งเดิม พบว่า ยีสต์ *Y. lipolytica* สายพันธุ์กลายทั้ง 2 ไอโซเลทและสายพันธุ์ดั้งเดิม มีลักษณะคล้ายคลึงกันคือ เป็นเซลล์เดี่ยว ลักษณะเซลล์รูปร่างกลมรี ปลายทั้งสองด้านของเซลล์เรียวแหลม ดังตาราง 4.14



ภาพที่ 4.14 ลักษณะสัณฐานวิทยาของไอโซเลท YLCe15\_07 และ YLCe15\_14 รุ่นที่ 3 เปรียบเทียบกับสายพันธุ์ดั้งเดิม (WT)

#### 4.6 เปรียบเทียบลำดับเบสของยีน *ACC1* ระหว่าง *Y. lipolytica* สายพันธุ์ YLNatXynA สายพันธุ์ดั้งเดิม และสายพันธุ์ที่ได้รับการฉายรังสีแล้วถูกคัดเลือก

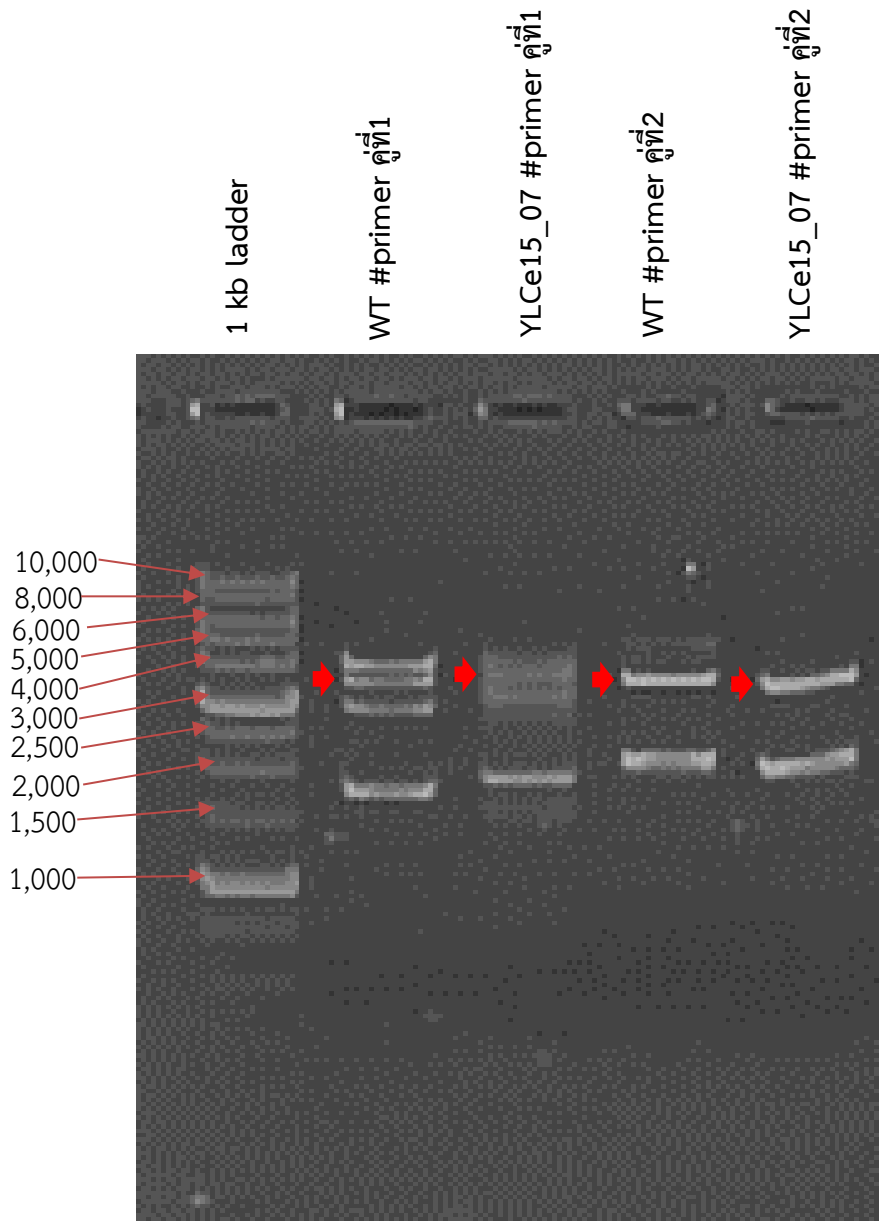
จากผลการวัดปริมาณไขมัน (Lipid Content) ดังภาพที่ 4.8 จะเห็นว่าไอโซเลท YLCe15\_07 มีปริมาณไขมันมากกว่าสายพันธุ์ดั้งเดิมอย่างมีนัยสำคัญ ส่วนไอโซเลท YLCe15\_14 มีปริมาณไขมันน้อยกว่าสายพันธุ์ดั้งเดิมอย่างมีนัยสำคัญ ดังนั้นจึงเลือกไอโซเลท YLCe15\_07 มาทำการศึกษา เพื่อเปรียบเทียบลำดับเบสของยีน *ACC1* กับสายพันธุ์ดั้งเดิม

##### 4.6.1 สกัดดีเอ็นเอจากเซลล์ยีสต์ จากนั้นเพิ่มจำนวนดีเอ็นเอด้วยเทคนิค polymerase chain reaction (PCR) และตรวจสอบการเพิ่มจำนวนดีเอ็นเอ ด้วยเทคนิค Gel electrophoresis แล้ววิเคราะห์ลำดับเบส

จากการสกัดดีเอ็นเอจากเซลล์ยีสต์สายพันธุ์กลายไอโซเลท YLCe15\_07 และสายพันธุ์ดั้งเดิม พบว่า สายพันธุ์กลายมีค่า  $OD_{260/280}$  และความเข้มข้นของดีเอ็นเอเท่ากับ 1.867 และ 287.463 นาโนกรัมต่อไมโครลิตร ตามลำดับ ในขณะที่สายพันธุ์ดั้งเดิมมีค่าเท่ากับ 1.929 และ 100.105 นาโนกรัมต่อไมโครลิตร ตามลำดับ

จากการเพิ่มจำนวนดีเอ็นเอด้วยเทคนิค PCR โดยใช้ไพรเมอร์ทั้งหมด 2 คู่ แล้วตรวจสอบการเพิ่มจำนวนดีเอ็นเอด้วยเทคนิค Gel electrophoresis พบว่า ชิ้นส่วนดีเอ็นเอที่ถูกเพิ่มจำนวนด้วยไพรเมอร์คู่แรกมีขนาดประมาณ 3,356 bp และชิ้นส่วนที่ถูกเพิ่มจำนวนด้วยไพรเมอร์คู่ที่สองมีขนาดประมาณ 3,514 bp จะเห็นได้ว่าไพรเมอร์ทั้งสองคู่ไม่มีความจำเพาะต่อยีน *ACC1* เนื่องจากผลิตภัณฑ์พีซีอาร์ที่ได้มีแถบดีเอ็นเอปรากฏมากกว่า 1 แถบในแต่ละช่องเจล ดังภาพ 4.15

ผลการส่งตัวอย่างดีเอ็นเอทั้งสายพันธุ์กลายและสายพันธุ์ดั้งเดิมเพื่อวิเคราะห์ลำดับเบส พบว่า ดีเอ็นเอทั้งสองสายพันธุ์ คือสายพันธุ์กลายและสายพันธุ์ดั้งเดิมนั้นไม่สามารถวิเคราะห์ลำดับเบสของยีน *ACC1* ออกมาได้



ภาพที่ 4.15 ผลการตรวจสอบการเพิ่มจำนวนดีเอ็นเอด้วยเทคนิค Gel electrophoresis ของยีสต์ *Y. lipolytica* สายพันธุ์ดั้งเดิม (WT) และไอโซเลท YLCe15\_07 จากการใช้ไพรเมอร์ทั้งสองคู่

#### 4.6.2 เปรียบเทียบลำดับเบสของยีน *ACC1* สายพันธุ์ดั้งเดิมและสายพันธุ์ที่ได้รับการฉายรังสีแล้วถูกคัดเลือกด้วย ClustalW algorithm

ไม่สามารถเปรียบเทียบลำดับเบสของยีน *ACC1* ระหว่างสายพันธุ์ดั้งเดิมและสายพันธุ์กลาย  
ได้

## บทที่ 5

### อภิปรายผลการศึกษา

การศึกษากราฟการเติบโต (Growth Curve) ของยีสต์ *Y. lipolytica* สายพันธุ์ YLNatXynA เพื่อหาช่วงที่เซลล์ยีสต์มีการเติบโตแบบ exponential เนื่องจากเคยมีการศึกษาก่อนหน้านี้ในยีสต์ *Saccharomyces cerevisiae* พบว่าในช่วงที่เซลล์ยีสต์เข้าสู่ช่วง exponential เซลล์จะมีสภาวะว่องไวต่อรังสีอัลตราไวโอเล็ตมากกว่าช่วงอื่น ๆ โดยจะมีบทบาทในการลดการทำงานของเอนไซม์ในกระบวนการโฟโตรีแอคทีเวชัน ซึ่งเป็นกระบวนการซ่อมแซมสายดีเอ็นเอของเซลล์ยีสต์ ส่งผลทำให้เซลล์ยีสต์มีอัตราการอยู่รอดน้อยลง (Resnick and Setlow, 1972)

จากการเหนี่ยวนำให้ยีสต์เกิดการกลายด้วยการฉายรังสีอัลตราไวโอเล็ตที่ระยะเวลา 30 60 90 120 150 และ 180 นาที ให้อัตราการอยู่รอดของเชื้อต่ำกว่าช่วง 5 ถึง 10 เปอร์เซ็นต์ ซึ่งไม่สอดคล้องกับผลการศึกษาในยีสต์ *Aureobasidium pullulans* ที่ให้อัตราการอยู่รอดของเชื้ออยู่ในช่วง 5 ถึง 10 เปอร์เซ็นต์ (ภณทิรา เครือใหญ่, 2555) ทำให้ต้องมีการเปลี่ยนแปลงระยะเวลาที่ใช้ในการฉายรังสีอัลตราไวโอเล็ต เนื่องจากมีการศึกษาพบว่า ในการเหนี่ยวนำให้เกิดการกลายในเชื้อจุลินทรีย์ส่วนใหญ่ มักใช้สารก่อการกลายเหนี่ยวนำให้เกิดการกลายและมีอัตราการอยู่รอดในช่วง 5 ถึง 10 เปอร์เซ็นต์ ซึ่งจะให้เชื้อจุลินทรีย์ที่แตกต่างไปจากสายพันธุ์ดั้งเดิมและมีเสถียรภาพสูงในการถ่ายทอดลักษณะสู่รุ่นต่อไปได้ (วรภรณ์ มลิลาศ, 2549) แต่จากผลการทดลองจะเห็นว่า การฉายรังสีนาน 30 นาที เชื้อมีอัตราการอยู่รอด เท่ากับ 0.012 เปอร์เซ็นต์ ดังนั้น อัตราการอยู่รอดช่วง 5 ถึง 10 เปอร์เซ็นต์ จึงควรอยู่ในช่วง 0 ถึง 30 นาที จึงปรับเป็นฉายรังสีอัลตราไวโอเล็ตที่ระยะเวลา 5 10 15 20 25 และ 30 นาที

จากการคัดเลือกโดยใช้ cerulenin screening พบว่าเชื้อทุกไอโซเลท รวมทั้งสายพันธุ์ดั้งเดิม (Negative Control) สามารถเจริญได้บนอาหารแข็ง YPD ที่มี cerulenin ผสมอยู่ อาจเกิดจากอาหารแข็ง YPD ที่มี cerulenin 2 µg/ml (Tipia et al., 2012) นั้นมีปริมาณ cerulenin ไม่ถึง minimum inhibitory concentration (MIC) ซึ่งเป็นความเข้มข้นน้อยที่สุดที่สารจะสามารถยับยั้งการเจริญของเชื้อได้ โดยปริมาณ MIC ของ cerulenin จะแตกต่างกันออกไปขึ้นกับชนิดของเชื้อ (Omura, 1976) แต่จากข้อมูลที่มีอยู่ ยังไม่พบปริมาณ MIC ของ cerulenin ที่ใช้กับยีสต์ *Y. lipolytica* และปริมาณสาร cerulenin ที่มีอยู่นั้น ไม่เพียงพอที่จะหาค่า MIC

จากการเพิ่มประสิทธิภาพในการสะสมไขมันของยีสต์ *Y. lipolytica* สายพันธุ์ YLNatXynA ด้วยการสร้างสายพันธุ์กลายโดยใช้รังสีอัลตราไวโอเล็ต พบว่า สายพันธุ์กลาย ไอโซเลท YLCe15\_07 มีปริมาณไขมันสะสมภายในเซลล์เท่ากับ  $25.53 \pm 2.72$  เปอร์เซ็นต์ของน้ำหนักเซลล์แห้ง ในขณะที่สายพันธุ์ดั้งเดิมมีปริมาณไขมันสะสมภายในเซลล์  $20.14 \pm 1.95$  เปอร์เซ็นต์ของน้ำหนักเซลล์แห้ง ซึ่ง

จากรายงานก่อนหน้านี พบว่า ยีสต์ *Y. lipolytica* สายพันธุ์ ACA-DC 50109 มีความสามารถในการสะสมไขมันโดยการเลี้ยงเชื้อภายใต้สภาวะและปัจจัยแวดล้อมที่เหมาะสมที่สุดในกระบวนการหมักที่ส่งผลต่อการสะสมไขมัน ส่งผลให้ยีสต์ *Y. lipolytica* มีปริมาณไขมัน (Lipid Content) สะสมภายในเซลล์สูงถึง  $47.50 \pm 1.20$  เปอร์เซ็นต์ของน้ำหนักเซลล์แห้ง (Bellou et al., 2016) ซึ่งอาจเป็นเพราะยีสต์ *Y. lipolytica* ที่ใช้ในงานวิจัยนี้ ผ่านกระบวนการปรับแต่งพันธุกรรมเพื่อให้สามารถผลิตเอนไซม์ไลลาเนสได้ ซึ่งโดยทั่วไป *Y. lipolytica* ไม่สามารถผลิตเอนไซม์ชนิดนี้ได้ ซึ่งในกระบวนการปรับแต่งพันธุกรรมนี้ อาจส่งผลกระทบต่อความสามารถในการสะสมไขมันภายในเซลล์ยีสต์ *Y. lipolytica* สายพันธุ์ YLNatXynA ซึ่งต้องอาศัยการศึกษาต่อไปเพื่อหาสภาวะที่เหมาะสม เพื่อให้ยีสต์ *Y. lipolytica* สายพันธุ์นี้สามารถสะสมไขมันภายในเซลล์ในปริมาณที่สูงขึ้น

จากการวัดสัดส่วนของกรดไขมันในยีสต์ *Y. lipolytica* สายพันธุ์กลายไอโซเลท YLCe15\_07 และ YLCe15\_14 ด้วย Gas Chromatography พบว่า สายพันธุ์กลายทั้งสองไอโซเลทมีการสะสมกรดไขมันชนิด กรดกรดปาล์มิติก (C16:0) และกรดโอเลอิก (C18:1) ในสัดส่วนที่มากที่สุดสองอันดับแรก ซึ่งสอดคล้องกับผลการศึกษาก่อนหน้านี้ ที่มีการศึกษาสัดส่วนของกรดไขมันในยีสต์ที่นิยมใช้ในการผลิตเชื้อเพลิงชีวภาพ คือมีสัดส่วนของกรดปาล์มิติก (C16:0) และกรดโอเลอิก (C18:1) ในปริมาณสูง และยังเป็นคุณสมบัติที่ใกล้เคียงกับน้ำมันปาล์มที่มีการใช้อยู่ในอุตสาหกรรมในปัจจุบัน (Alexandre, 2017)

จากการออกแบบไพรเมอร์ในขั้นตอนการเพิ่มจำนวนดีเอ็นเอด้วยเทคนิค PCR จากนั้นตรวจสอบการเพิ่มจำนวนดีเอ็นเอด้วยเทคนิค Gel electrophoresis จะเห็นว่าไพรเมอร์ที่ใช้ในการทดลอง ไม่มีความจำเพาะต่อยีน *ACC1* สังเกตได้จากผลการตรวจสอบผลิตภัณฑ์พีซีอาร์ด้วยเทคนิค Gel electrophoresis พบว่า ชิ้นส่วนดีเอ็นเอมีหลายขนาด เนื่องจากไพรเมอร์ที่ใช้ในการทดลองสามารถจับได้หลายตำแหน่งในดีเอ็นเอต้นแบบ ส่งผลให้ไม่สามารถวิเคราะห์ลำดับเบสของยีน *ACC1* ได้ อีกทั้งจากการหาข้อมูลพบว่า ยังไม่เคยมีการศึกษายีน *ACC1* ในยีสต์ *Y. lipolytica* มาก่อน อย่างไรก็ตาม สามารถแก้ไขได้ด้วยการออกแบบไพรเมอร์ใหม่ โดยการเพิ่มจำนวนเบสของไพรเมอร์เพื่อให้มีความจำเพาะต่อยีน *ACC1* มากขึ้น แต่เนื่องด้วยการระบาดของเชื้อไวรัส covid-19 และข้อจำกัดของเวลา ทำให้ไม่สามารถทำการทดลองในขั้นตอนนี้ต่อไป

จากการศึกษาในงานวิจัยนี้ แม้ว่าไม่สามารถเปรียบเทียบลำดับเบสของยีน *ACC1* ในยีสต์ *Y. lipolytica* ระหว่างยีสต์สายพันธุ์ดั้งเดิมและสายพันธุ์กลายที่เกิดจากการฉายด้วยรังสีอัลตราไวโอเล็ต อย่างไรก็ตาม จากการศึกษาพบว่า สายพันธุ์กลายที่ได้ คือ ไอโซเลท YLCe15\_07 มีปริมาณไขมันสะสมภายในเซลล์มากขึ้น เมื่อเทียบกับสายพันธุ์ดั้งเดิม อีกทั้งสัดส่วนของกรดไขมันในยีสต์สายพันธุ์กลายมีปริมาณของกรดปาล์มิติก (C16:0) และกรดโอเลอิก (C18:1) ในสัดส่วนที่สูงซึ่งสอดคล้องกับยีสต์ที่ถูกใช้ในอุตสาหกรรมการผลิตเชื้อเพลิงชีวภาพ ทำให้ยีสต์สายพันธุ์กลายนี้ มีแนว

โนวโน้มนำไปใช้ในการผลิตพลังงานชีวภาพ ทั้งในระยะสั้นและระยะยาว

## บทที่ 6

### สรุปผลการศึกษา

การเหนี่ยวนำให้ *Y. lipolytica* สายพันธุ์ *YLNatXynA* เกิดสายพันธุ์กลายที่สามารถผลิตไขมันได้มากขึ้นเมื่อเปรียบเทียบกับสายพันธุ์ดั้งเดิม ด้วยวิธีฉายรังสีอัลตราไวโอเล็ต พบว่า ยีสต์สายพันธุ์กลายที่ถูกฉายรังสีอัลตราไวโอเล็ตเป็นเวลา 15 นาที มีอัตราการอยู่รอดในช่วง 5 ถึง 10 เปอร์เซ็นต์ จากนั้นคัดเลือกด้วยการย้อมสี Sudan black B เพื่อดูการสะสม oil droplets ภายในเซลล์ พบว่าสายพันธุ์กลาย 5 ไอโซเลต ที่มีการสะสม oil droplets มากที่สุด ได้แก่ ไอโซเลต YLCe15\_03 YLCe15\_05 YLCe15\_07 YLCe15\_09 และ YLCe15\_14 โดยเมื่อนำทั้ง 5 ไอโซเลตมาทดสอบความเสถียรในการผลิตไขมัน 3 ชั่วโมง พบว่าความสามารถในการผลิตไขมันในสายพันธุ์กลายทั้ง 5 ไอโซเลตสามารถส่งต่อไปยังรุ่นต่อไปได้ รวมทั้งลักษณะทางสัณฐานวิทยาของสายพันธุ์กลายมีลักษณะไม่แตกต่างไปจากสายพันธุ์ดั้งเดิมคือ เป็นเซลล์เดี่ยว ลักษณะเซลล์รูปร่างกลมรี ปลายทั้งสองด้านของเซลล์เรียวแหลม และเมื่อทำการวัดปริมาณไขมัน (Lipid Content) พบว่า ไอโซเลต YLCe15\_07 มีปริมาณไขมันสะสมภายในเซลล์สูงกว่าสายพันธุ์ดั้งเดิม คือ  $25.53 \pm 2.72$  เปอร์เซ็นต์ของน้ำหนักเซลล์แห้ง ส่วนสายพันธุ์ดั้งเดิมมีปริมาณไขมันสะสมภายในเซลล์ เท่ากับ  $20.14 \pm 1.95$  เปอร์เซ็นต์ของน้ำหนักเซลล์แห้ง ซึ่งเมื่อนำสายพันธุ์กลายไปวิเคราะห์ลำดับเบสของยีน *ACC1* เปรียบเทียบกับสายพันธุ์ดั้งเดิม พบว่า ไม่สามารถวิเคราะห์ลำดับเบสของยีน *ACC1* ได้ จึงไม่สามารถเปรียบเทียบลำดับเบสของยีน *ACC1* ระหว่างสายพันธุ์กลายและสายพันธุ์ดั้งเดิมได้ อย่างไรก็ตาม ยีสต์มีแนวโน้มถูกใช้ในการผลิตพลังงานชีวภาพ ทั้งในระยะสั้นและระยะยาว



## เอกสารอ้างอิง

- ภรณ์ทิรา เครือใหญ่. 2555. การกลายพันธุ์ที่ชักนำโดยการฉายรังสีอัลตราไวโอเล็ตใน *Aureobasidium pullulans* เพื่อเพิ่มการผลิตไลเปส. วิทยานิพนธ์ปริญญาบัณฑิต. สาขาวิชาพันธุศาสตร์ คณะวิทยาศาสตร์ จุฬาลงกรณ์มหาวิทยาลัย.
- วรภรณ์ มลิลาศ. 2549. การคัดเลือกและชักนำให้เกิดมิวแทนของราที่ย่อยลิปิด เพื่อเพิ่มไฮโดรไลติกแอกทิวิตี. วิทยานิพนธ์ปริญญาโทบัณฑิต. สาขาวิชาพันธุศาสตร์ คณะวิทยาศาสตร์ จุฬาลงกรณ์มหาวิทยาลัย.
- Alexandre, A.A. et al. 2017. Effects of palm oil consumption on lipid profile among rural Ivorian youth. **Journal of Food Research** 6: 140-149.
- Alvarez, H.M. and Steinbuchel, A. 2002. Triacylglycerols in prokaryotic microorganisms. **Application Microbiol Biotechnol** 60: 367-376.
- Anderson, R.A. 1992. Diversity of eukaryotic algae. **BiodiversConserv** 1: 267-292.
- Athenstaedt, K. 2011. YALI0E32769g (*DGA1*) and YALI0E16797g (*LRO1*) encode major triacylglycerol synthases of the yeast *Yarrowia lipolytica*. **Acta Molecular Cell Biology** : 587–596.
- Baltz, R. 1986. Strain improvement. In Demain, A.L., and Solomon, N.A. (eds.), **Manual of Industrial Microbiology and Biotechnology** New York: The United States of America Press. :154-169.
- Bellou, S. et al. 2016. High lipid accumulation in *Yarrowia lipolytica* cultivated under double limitation of nitrogen and magnesium. **Journal of Biotechnology** 234: 116-126.
- Beopoulos, A. et al. 2016. *Yarrowia lipolytica* as a model for bio-oil production. **Progress in Lipid Research** 48: 375-387.
- Bligh, E.G. and Dyer, W.J. 1959. A rapid method of total lipid extraction and purification. **Canadian Journal of Biochemistry and Physiology** 37: 911-917.
- Brock, T.D. 1974. Mechanism of mutagenesis. **Biology of Microorganisms** pp. 383-384

- Demirkan, E. et al. 2018. Strain improvement by UV mutagenesis for protease overproduction from *Bacillus subtilis* E6-5 and nutritional optimization. **Original Research Article 12**: 69-77.
- Elkenawy, N.M. et al. 2017. Optimization of prodigiosin production by *Serratia marcescens* using crude glycerol and enhancing production using gamma radiation. **Biotechnology Reports 14**: 47-53.
- Evans, C.T. and Ratledge, C. 1984. Effect of nitrogen source on lipid accumulation in oleaginous yeasts. **Journal of General Microbiology 130**: 1693-1704.
- Fantini, A.A. 1975. Strain development. **Methods in Enzymology 43**: 24-41.
- Friedberg, E.C., and Wood, R.D. 1996. DNA Excision repair pathways. **Cold Spring Harbor Monograph Series** pp. 249-269
- Gonçalves, F. A. G. et al. 2014. *Yarrowia lipolytica* and its multiple applications in the biotechnological industry. **The Scientific World Journal 10**: 14.
- Hasslacher, M., Ivessa, A.S., Paltauf, F. and Kohlwein, S.D. 1993. *Acetyl CoA carboxylase* from yeast is an essential enzyme and is regulated by factors that control phospholipid metabolism. **Journal Biology Chemistry 268**: 10946–10952.
- Heath, R.J., White, S.W. and Rock, C.O. 2001. Lipid biosynthesis as a target for antibacterial agents. **Progress in Lipid Research 40**: 439-564.
- Lamers, D. et al. 2016. Selection of oleaginous yeasts for fatty acid production. **BioMed Central Biotechnology 16**: 45.
- Meng, X. et al. 2009. Biodiesel production from oleaginous microorganisms. **Renewable Energy 34**: 1-5.
- Morita, N., Nishida, T., Tanaka, M., Yano, Y. and Okuyama, H. 2005. Enhancement of polyunsaturated fatty acid production by cerulenin treatment in polyunsaturated fatty acid-producing bacteria. **Biotechnology Letters 27**: 389–393.

- Omura, S. 1976. The antibiotic cerulenin, a novel tool for biochemistry as an inhibitor of fatty acid synthesis. **American Society for Microbiology** 40: 681-697.
- Ouephanit, C. et al. 2019. Efficient expression and secretion of endo-1,4- $\beta$ -xylanase from *Penicillium citrinum* in non-conventional yeast *Yarrowia lipolytica* directed by the native and the preproLIP2 signal peptides. **Protein Expression and Purification** 160: 1-6.
- Rakicka, M. et al. 2015. Lipid production by the oleaginous yeast *Yarrowia lipolytica* using industrial by-products under different culture conditions. **Biotechnology for Biofuels** 8: 104.
- Ratlidge, C. 1982. Microbial oil and fats: an assessment of their commercial potential. **Professional Industry Microbial** 16: 119-206.
- Ratlidge, C. 2004. Fatty acid biosynthesis in microorganisms being used for single cell oil production. **Biochimie** pp. 1-9.
- Resnick, M.A., and Setlow, J.K. 1972. Repair of pyrimidine dimer damage induced in yeast by ultraviolet light. **Journal of Bacteriology** 109: 979-986.
- Satoshi, O. 1976. The antibiotic cerulenin, a novel tool for biochemistry as an inhibitor of fatty acid synthesis. **Bacteriological Reviews** 40: 681-697.
- Subramaniam, R. et al. 2010. Microbial lipids from renewable resources: production and characterization. **Journal of Industrial Microbiology** 37:1271–1287.
- Tang, X., Lee, J. and Chen, W.N. 2015. Engineering the fatty acid metabolic pathway in *Saccharomyces cerevisiae* for advanced biofuel production. **Metabolic Engineering Communication** 2: 58-66.
- Tehlivets, O., Scheuringer, K. and Kohlwein, S. D. 2007. Fatty acid synthesis and elongation in yeast. **Biochim Biophys Acta Molecular Cell Biology** 1771: 255–270.
- Thevenieau, F. and Nicaud, J. 2013. Microorganisms as sources of oils. **Edition Diffusion Presse Sciences** 6: 11-13.

- Tipia, E.V. et al. 2012. Optimization of lipid production by the oleaginous yeast *Lipomyces starkeyi* by random mutagenesis coupled to cerulenin screening. **Annals Microbiology Express** 2: 64.
- Wang, J. et al. 2016. Overexpression of ACC gene from oleaginous yeast *Lipomyces starkeyi* enhanced the lipid accumulation in *Saccharomyces cerevisiae* with increased levels of glycerol 3-phosphate substrates. **Bioscience, Biotechnology, and Biochemistry** 80: 1214–1222.
- Zhao, C. et al. 2010. Expression of inulinase gene in the oleaginous yeast *Yarrowia lipolytica* and single cell oil production from inulin-containing materials. **Metabolic Engineering** 12: 510-517.
- Zhao, X., and Mu, D. 1998. Photolyase: Light-dependent repair of DNA damage. **Histology and Histopathology** 13: 1179-1182.
- Zhu, L.D. et al. 2016. Strategies for lipid production improvement in microalgae as a biodiesel feedstock. **BioMed Research International** 10: 1155.

# ภาคผนวก

ภาคผนวก ก

สูตรอาหาร

## ภาคผนวก ก

### สูตรอาหารเลี้ยงเชื้อ

#### อาหารแข็ง YPD (YPD agar) ประกอบด้วย

สารสกัดจากยีสต์ (yeast extract)	1% โดยน้ำหนักต่อปริมาตร
เพปไทน์ (peptone)	1% โดยน้ำหนักต่อปริมาตร
เดกโตรส (dextrose)	1% โดยน้ำหนักต่อปริมาตร
วุ้นผง (agar)	1.8% โดยน้ำหนักต่อปริมาตร

#### อาหารเหลว YPD (YPD broth)

สารสกัดจากยีสต์ (yeast extract)	1% โดยน้ำหนักต่อปริมาตร
เพปไทน์ (peptone)	1% โดยน้ำหนักต่อปริมาตร
เดกโตรส (dextrose)	1% โดยน้ำหนักต่อปริมาตร

#### อาหารแข็งคัดเลือกสายพันธุ์กลาย YPD ผสม cerulenin (YPD agar supplement with cerulenin)

สารสกัดจากยีสต์ (yeast extract)	1% โดยน้ำหนักต่อปริมาตร
เพปไทน์ (peptone)	1% โดยน้ำหนักต่อปริมาตร
เดกโตรส (dextrose)	1% โดยน้ำหนักต่อปริมาตร
วุ้นผง (agar)	1.8% โดยน้ำหนักต่อปริมาตร
เซอร์ูเลนิน (cerulenin)	2 ไมโครกรัมต่อมิลลิลิตร

#### อาหารเหลว lipid production medium

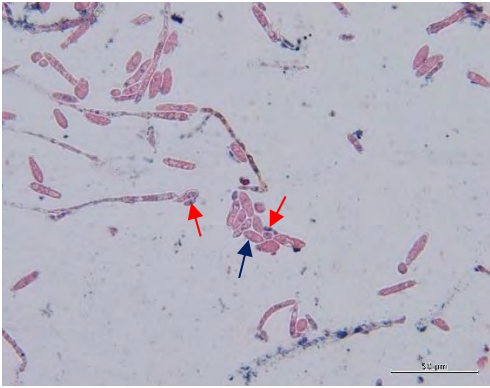
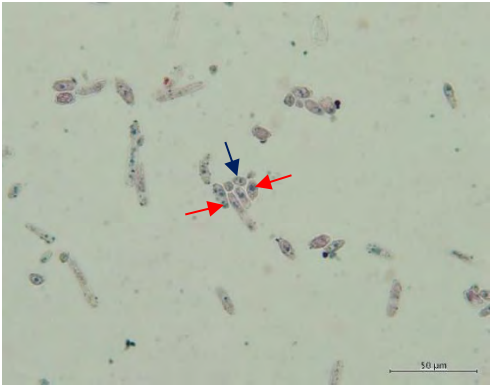

สารสกัดจากยีสต์ (yeast extract)	0.5% โดยน้ำหนักต่อปริมาตร
เพปไทน์ (peptone)	0.5% โดยน้ำหนักต่อปริมาตร
เดกโตรส (dextrose)	7% โดยน้ำหนักต่อปริมาตร

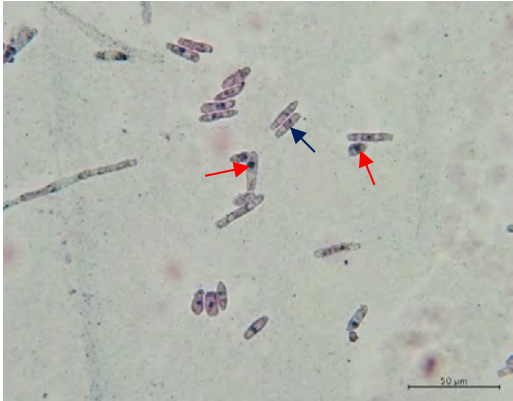
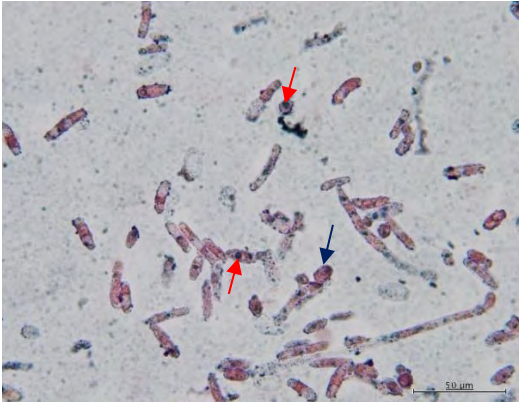
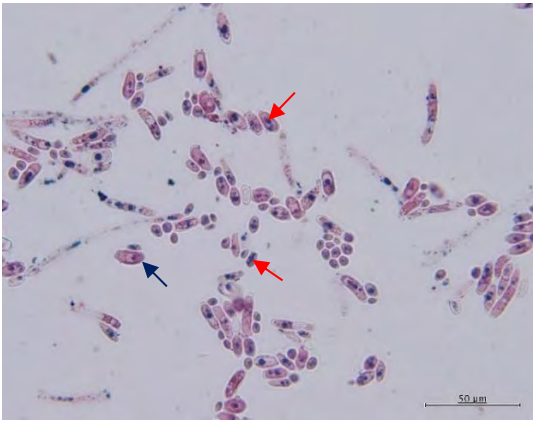
ภาคผนวก ข  
การคัดเลือกสายพันธุ์  
กลายโดย oil droplet  
screening

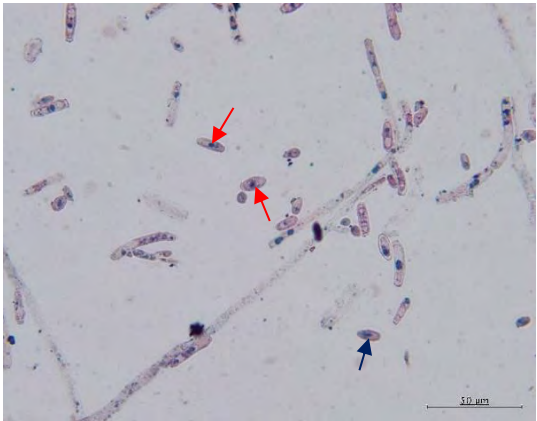
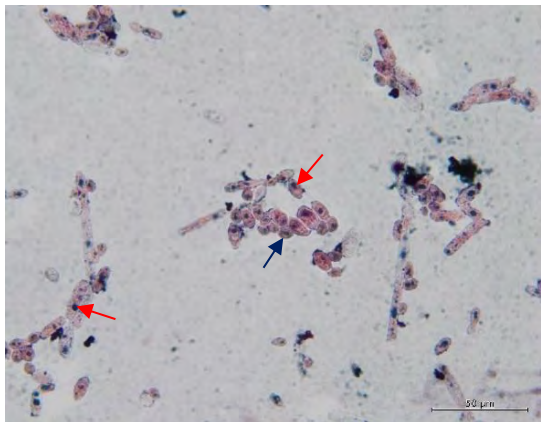



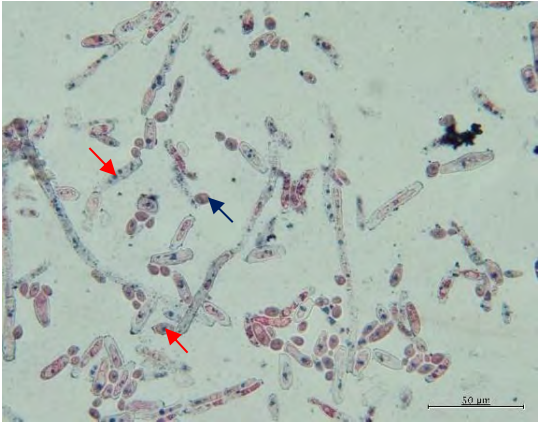


## ภาคผนวก ข

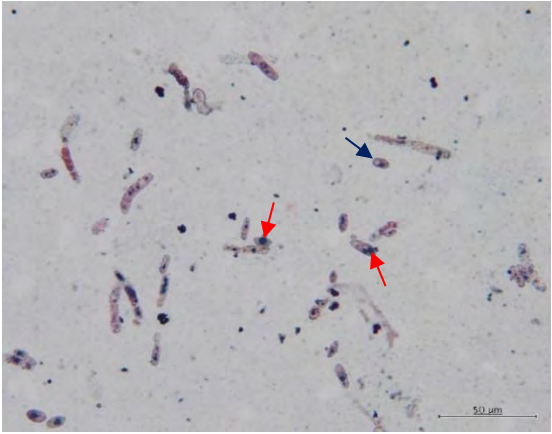
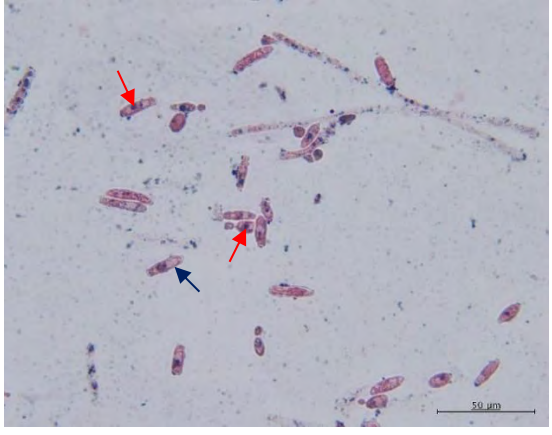
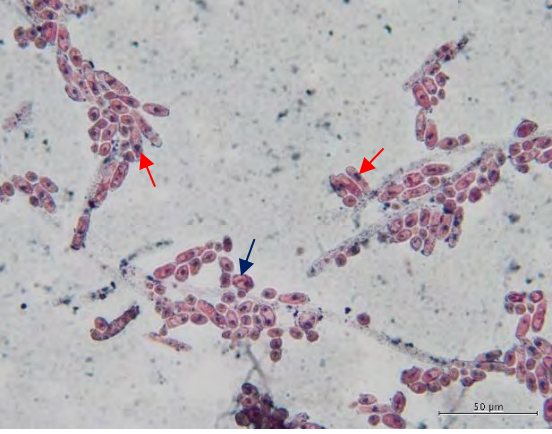
ตารางที่ ข.1 การคัดเลือกสายพันธุ์กลายโดย oil droplet screening

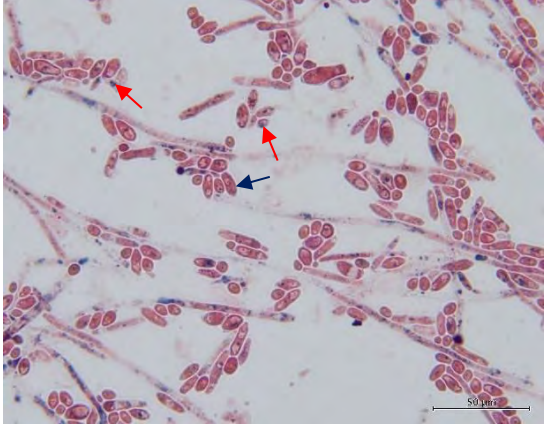
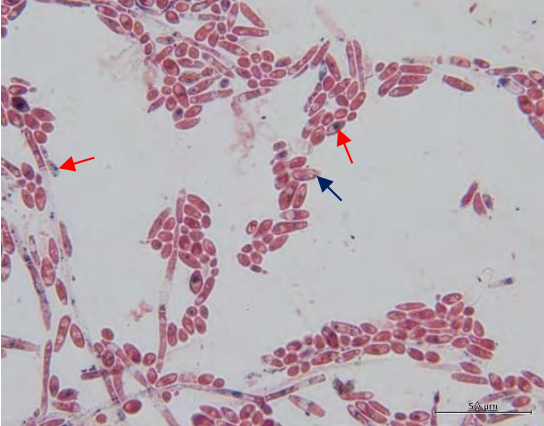
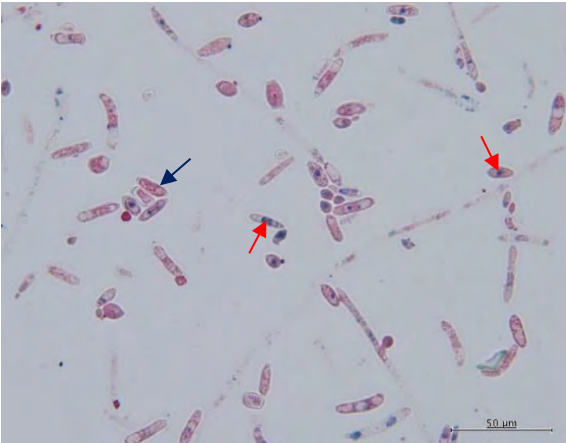
สายพันธุ์	รูปภาพ	ปริมาณไขมันในเซลล์	หมายเหตุ
WT		0	*
YLCe15_01		++	*
YLCe15_02		+	*



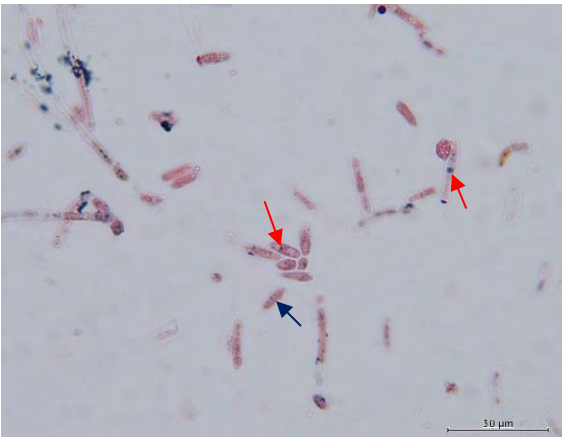
สายพันธุ์	รูปภาพ	ปริมาณ ไขมันใน เซลล์	หมายเหตุ
YLCe15_03		+++	*
YLCe15_04		+	*
YLCe15_05		+++	*

สายพันธุ์	รูปภาพ	ปริมาณ ไขมันใน เซลล์	หมายเหตุ
YLCe15_06		++	*
YLCe15_07		+++	*
YLCe15_08		+	*

สายพันธุ์	รูปภาพ	ปริมาณ ไขมันใน เซลล์	หมายเหตุ
YLCe15_09		+++	*
YLCe15_10		++	*
YLCe15_11		+	*

สายพันธุ์	รูปภาพ	ปริมาณไขมันในเซลล์	หมายเหตุ
YLCe15_12		+	*
YLCe15_13		++	*
YLCe15_14		+++	*

สายพันธุ์	รูปภาพ	ปริมาณไขมันในเซลล์	หมายเหตุ
YLCe15_15		+	*
YLCe15_16		0	*
YLCe15_17		++	*

สายพันธุ์	รูปภาพ	ปริมาณไขมันในเซลล์	หมายเหตุ
YLCe15_18		++	*
YLCe15_19		+	*
YLCe15_20		0	*

\*กำหนดให้ เครื่องหมาย + แทนปริมาณของ oil droplet ที่สะสมภายในเซลล์ยีสต์

โดย 0 คือ ปริมาณ oil droplet ที่สะสมในยีสต์เท่ากับสายพันธุ์ดั้งเดิม (WT)

+ คือ ปริมาณ oil droplet มากกว่า WT 1 - 25 เปอร์เซ็นต์

++ คือ ปริมาณ oil droplet มากกว่า WT 26 - 50 เปอร์เซ็นต์

+++ คือ ปริมาณ oil droplet มากกว่า WT 51 - 75 เปอร์เซ็นต์

++++ คือ ปริมาณ oil droplet มากกว่า WT 76 - 100 เปอร์เซ็นต์

และกำหนดให้สัญลักษณ์ ดังนี้

→ แทน oil droplet

→ แทน เซลล์ยีสต์



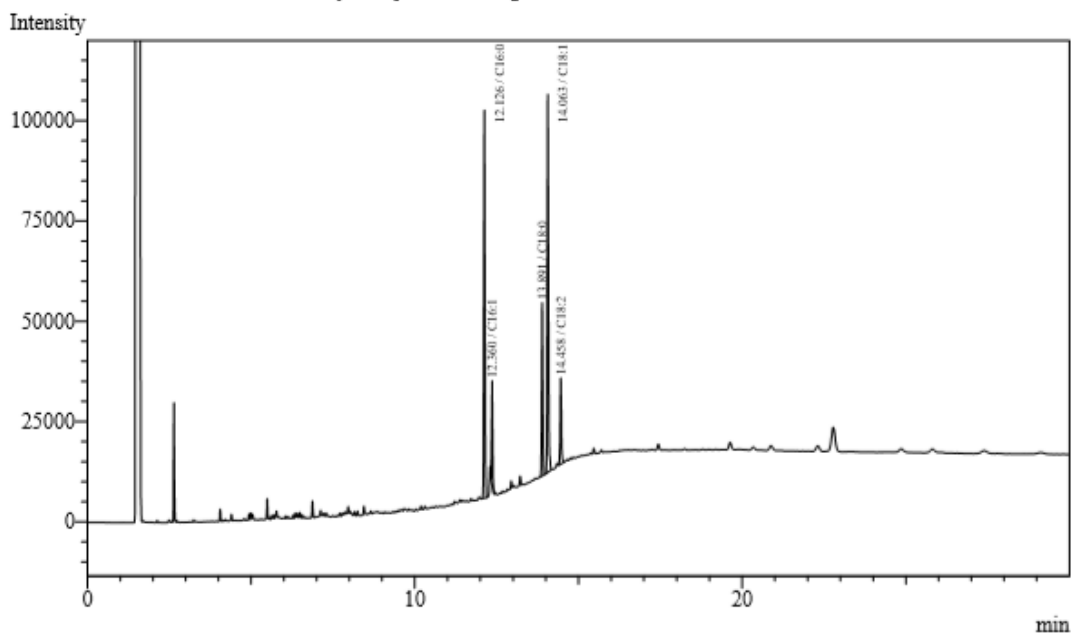
ภาคผนวก ค

ผล Gas

Chromatography

Analysis Date & Time : 6/1/2548 0:54:18  
 User Name : Admin  
 Vial# : 9  
 Sample Name : WT1  
 Sample ID :  
 Sample Type : Unknown  
 Injection Volume : 1.00  
 ISTD Amount :

Data Name : D:\NamPim\ÅÇA 10.03.2020\WT1 edit.gcd  
 Method Name : D:\mink\Fatty acid profiles used.gcm

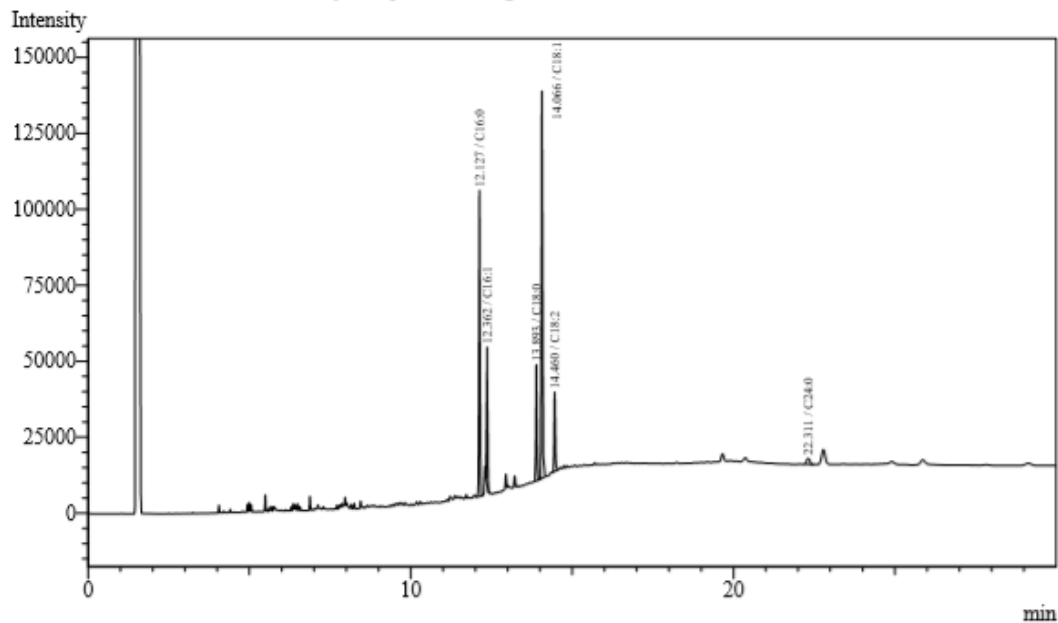


Peak#	Ret.Time	Area	Height	Conc.	Unit	Mark	ID#	Cmpd Name
1	12.126	220452	95856	33.388	%		3	C16:0
2	12.360	54967	25798	8.325	%		4	C16:1
3	13.891	101346	42958	15.349	%		5	C18:0
4	14.063	229760	93812	34.798	%		6	C18:1
5	14.458	53742	21170	8.139	%		7	C18:2
<b>Total</b>		<b>660267</b>	<b>279594</b>					

ภาพที่ ค.1 ผล Gas Chromatography จากไขมันที่สกัดได้จากยีสต์ *Y. lipolytica* สายพันธุ์ดั้งเดิม (WT) รุ่นที่ 1

Analysis Date & Time : 6/1/2548 2:47:09  
 User Name : Admin  
 Vial# : 12  
 Sample Name : WT3  
 Sample ID :  
 Sample Type : Unknown  
 Injection Volume : 1.00  
 ISTD Amount :

Data Name : D:\NamPim\ÃÇÀ 10.03.2020\WT3 edit.gcd  
 Method Name : D:\mink\Fatty acid profiles used.gcm

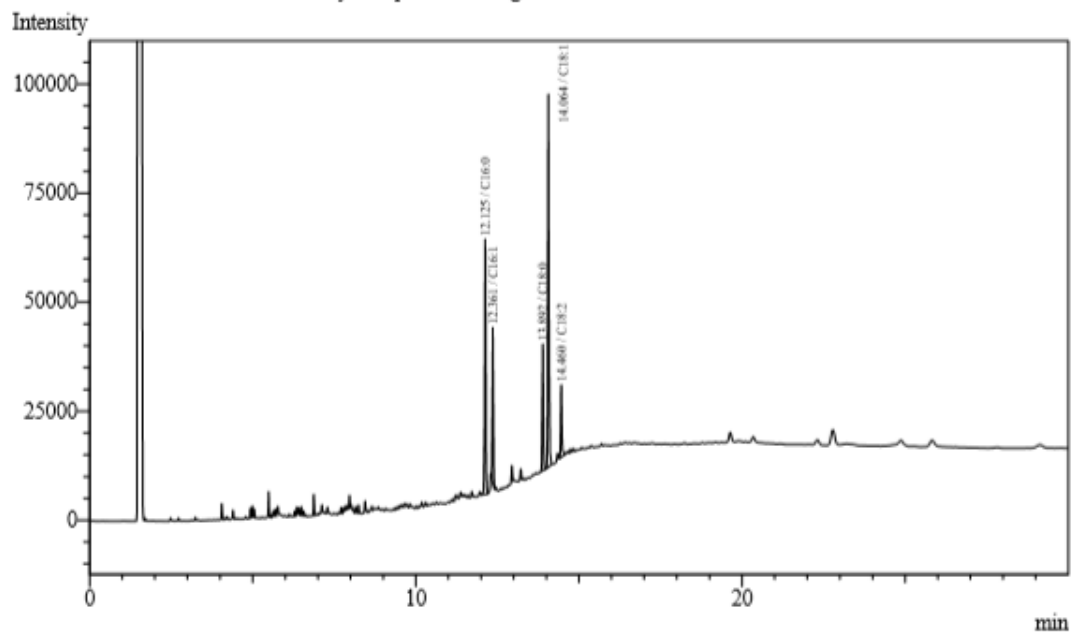


Peak#	Ret.Time	Area	Height	Conc.	Unit	Mark	ID#	Cmpd Name
1	12.127	233390	100299	28.790 %			3	C16:0
2	12.362	94950	44389	11.713 %			4	C16:1
3	13.893	89308	37797	11.017 %			5	C18:0
4	14.066	313950	125821	38.728 %			6	C18:1
5	14.460	64937	25999	8.010 %			7	C18:2
6	22.311	14129	1938	1.743 %			12	C24:0
<b>Total</b>		<b>810664</b>	<b>336243</b>					

ภาพที่ ค.2 ผล Gas Chromatography จากไขมันที่สกัดได้จากยีสต์ *Y. lipolytica* สายพันธุ์ดั้งเดิม (WT) รุ่นที่ 3

Analysis Date & Time : 6/1/2548 1:31:52  
 User Name : Admin  
 Vial# : 10  
 Sample Name : G1  
 Sample ID :  
 Sample Type : Unknown  
 Injection Volume : 1.00  
 ISTD Amount :

Data Name : D:\NamPim\ÅÇÀ 10.03.2020\G1 edit.gcd  
 Method Name : D:\mink\Fatty acid profiles used.gcm

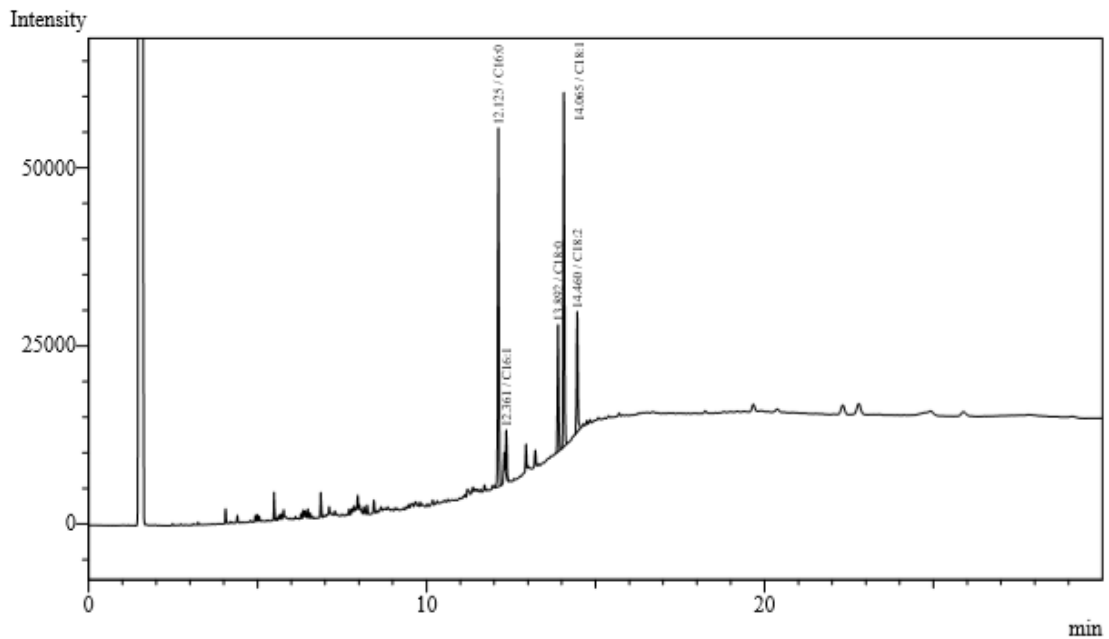


Peak#	Ret. Time	Area	Height	Conc.	Unit	Mark	ID#	Cmpd Name
1	12.125	137139	57974	25.807	%		3	C16:0
2	12.361	76067	35473	14.315	%		4	C16:1
3	13.892	69392	28874	13.058	%		5	C18:0
4	14.064	207476	85199	39.044	%		6	C18:1
5	14.460	41322	16468	7.776	%		7	C18:2
<b>Total</b>		<b>531396</b>	<b>223988</b>					

ภาพที่ ค.3 ผล Gas Chromatography จากไขมันที่สกัดได้จากยีสต์ *Y. lipolytica* สายพันธุ์กลายไอโซเลต YLCe15\_07 รุ่นที่ 1

Analysis Date & Time : 6/1/2548 3:24:41  
 User Name : Admin  
 Vial# : 13  
 Sample Name : G3  
 Sample ID :  
 Sample Type : Unknown  
 Injection Volume : 1.00  
 ISTD Amount :

Data Name : D:\NamPim\ACA 10.03.2020\G3 edit.gcd  
 Method Name : D:\mink\Fatty acid profiles used.gcm

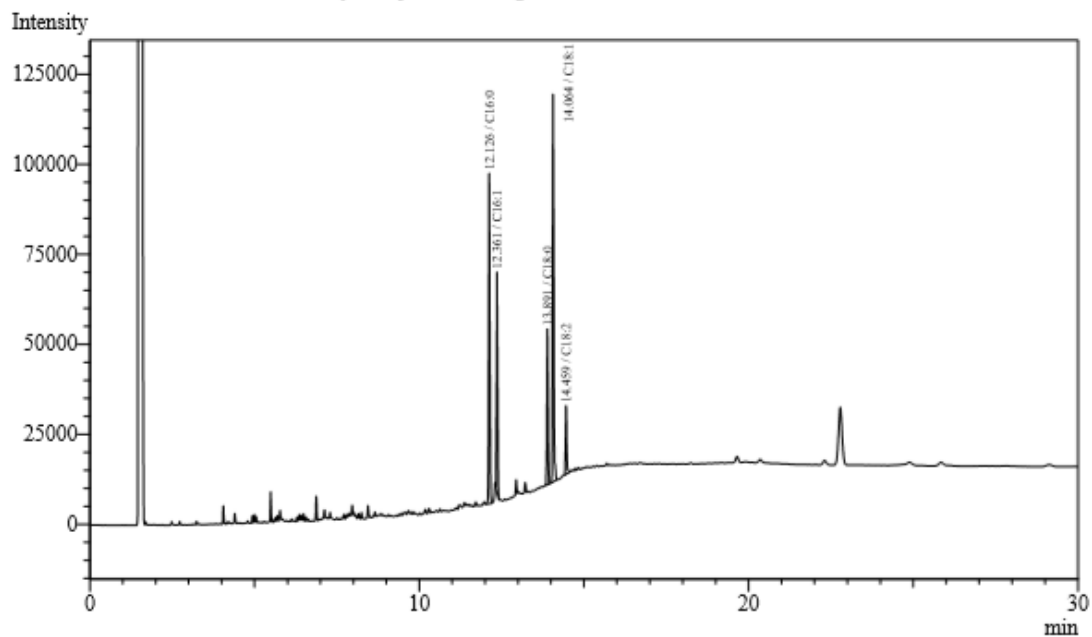


Peak#	Ret. Time	Area	Height	Conc.	Unit	Mark	ID#	Cmpd Name
1	12.125	117369	49681	35.031	%		3	C16:0
2	12.361	12394	6124	3.699	%		4	C16:1
3	13.892	42562	17728	12.703	%		5	C18:0
4	14.065	120172	49440	35.867	%		6	C18:1
5	14.460	42547	16793	12.699	%		7	C18:2
<b>Total</b>		335044	139766					

ภาพที่ ค.4 ผล Gas Chromatography จากไขมันที่สกัดได้จากยีสต์ *Y. lipolytica* สายพันธุ์กลายไอโซเลต YLCe15\_07 รุ่นที่ 3

Analysis Date & Time : 6/1/2548 2:09:31  
 User Name : Admin  
 Vial# : 11  
 Sample Name : N1  
 Sample ID :  
 Sample Type : Unknown  
 Injection Volume : 1.00  
 ISTD Amount :

Data Name : D:\NamPim\ÅÇÀ 10.03.2020\N1 edit.gcd  
 Method Name : D:\mink\Fatty acid profiles used.gcm

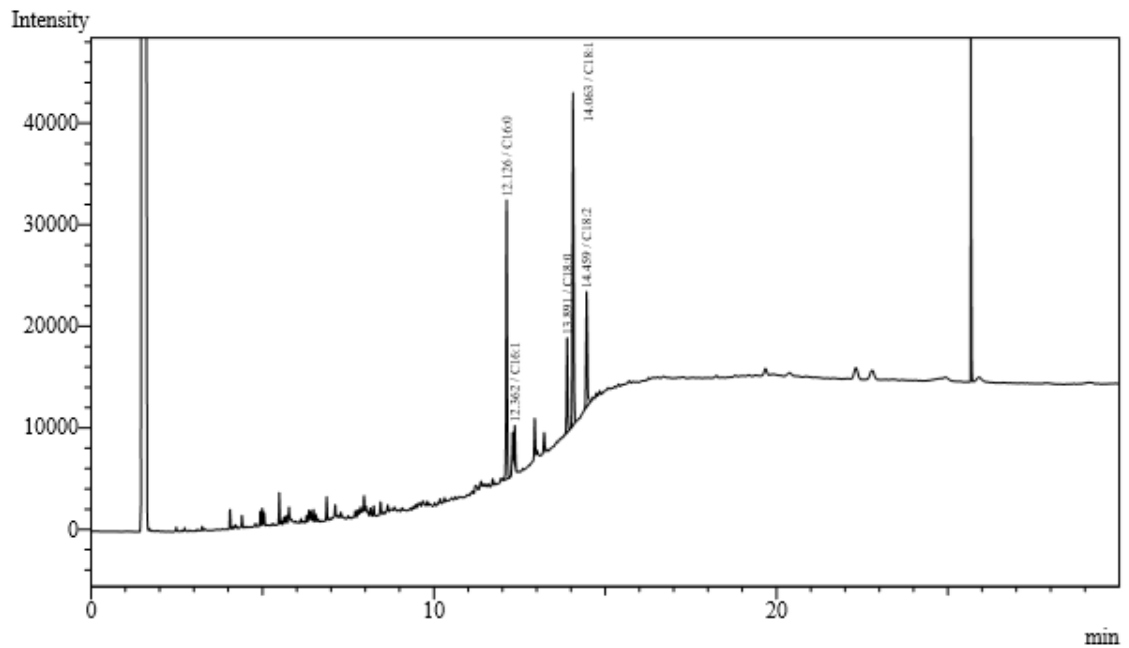


Peak#	Ret. Time	Area	Height	Conc.	Unit	Mark	ID#	Cmpd Name
1	12.126	208652	90854	27.515	%		3	C16:0
2	12.361	134117	60866	17.686	%		4	C16:1
3	13.891	102022	43076	13.454	%		5	C18:0
4	14.064	265947	107286	35.071	%		6	C18:1
5	14.459	47574	18790	6.274	%		7	C18:2
Total		758312	320872					

ภาพที่ ค.5 ผล Gas Chromatography จากไขมันที่สกัดได้จากยีสต์ *Y. lipolytica* สายพันธุ์กลายไอโซเลต YLCe15\_14 รุ่นที่ 1

Analysis Date & Time : 6/1/2548 4:02:12  
 User Name : Admin  
 Vial# : 14  
 Sample Name : N3  
 Sample ID :  
 Sample Type : Unknown  
 Injection Volume : 1.00  
 ISTD Amount :

Data Name : D:\NamPim\ÅÇÀ 10.03.2020\N3 edit.gcd  
 Method Name : D:\mink\Fatty acid profiles used.gcm



Peak#	Ret. Time	Area	Height	Conc.	Unit	Mark	ID#	Cmpd Name
1	12.126	63827	27221	31.830	%		3	C16:0
2	12.362	7263	3709	3.622	%		4	C16:1
3	13.891	22467	9279	11.204	%		5	C18:0
4	14.063	78344	32549	39.070	%		6	C18:1
5	14.459	28623	11260	14.274	%		7	C18:2
<b>Total</b>		200524	84018					

ภาพที่ ค.6 ผล Gas Chromatography จากไขมันที่สกัดได้จากยีสต์ *Y. lipolytica* สายพันธุ์กลายไอโซเลต YLcE15\_14 รุ่นที่ 3